

# อภินันทนาการ



ศึกษาผลกระทบของการใช้หลอดปล่อยประจุความเข้มสูง

The Study Effect of Using High Intensity Discharge Lamps



17194973

นายเอกลีพัช ทองสุข รหัส 45380185

บ  
0885 ๙  
๑๖๕๑

สำนักหอสมุด มหาวิทยาลัยนเรศวร
วันลงทะเบียน ๑๐ ก.พ. ๒๕๖๐
เลขทะเบียน.....
ระยะเวลาคงเหลือ.....

ปริญญาในพันธ์นี้เป็นส่วนหนึ่งของการศึกษาหลักสูตรปริญญาวิศวกรรมศาสตรบัณฑิต  
สาขาวิชาวิศวกรรมไฟฟ้า ภาควิชาวิศวกรรมไฟฟ้าและคอมพิวเตอร์  
คณะวิศวกรรมศาสตร์ มหาวิทยาลัยนเรศวร  
ปีการศึกษา 2552



## ใบรับรองโครงงานวิศวกรรม

หัวข้อโครงงาน	ศึกษาผลกระบวนการใช้หลอดปล่อยประจุความเข้มสูง		
ผู้ดำเนินโครงการ	นายเอกสิทธิ์ ทองสุข	รหัส	45380185
อาจารย์ที่ปรึกษา	ดร.สมพร เรืองสินชัยวนิช		
สาขาวิชา	วิศวกรรมไฟฟ้า		
ภาควิชา	วิศวกรรมไฟฟ้าและคอมพิวเตอร์		
ปีการศึกษา	2552		

คณะกรรมการค่าสคร. มหาวิทยาลัยเรศวร อนุมัติให้โครงงานบันทึกเป็นส่วนหนึ่งของการศึกษาตามหลักสูตรวิศวกรรมศาสตรบัณฑิต สาขาวิศวกรรมไฟฟ้า  
คณะกรรมการสอบโครงงานวิศวกรรม

.....  
(ดร.สมพร เรืองสินชัยวนิช)

ประธานกรรมการ

.....  
(อาจารย์แสงชัย มังกรทอง)

.....  
(ดร.อัครพันธ์ วงศ์กังແຂ)

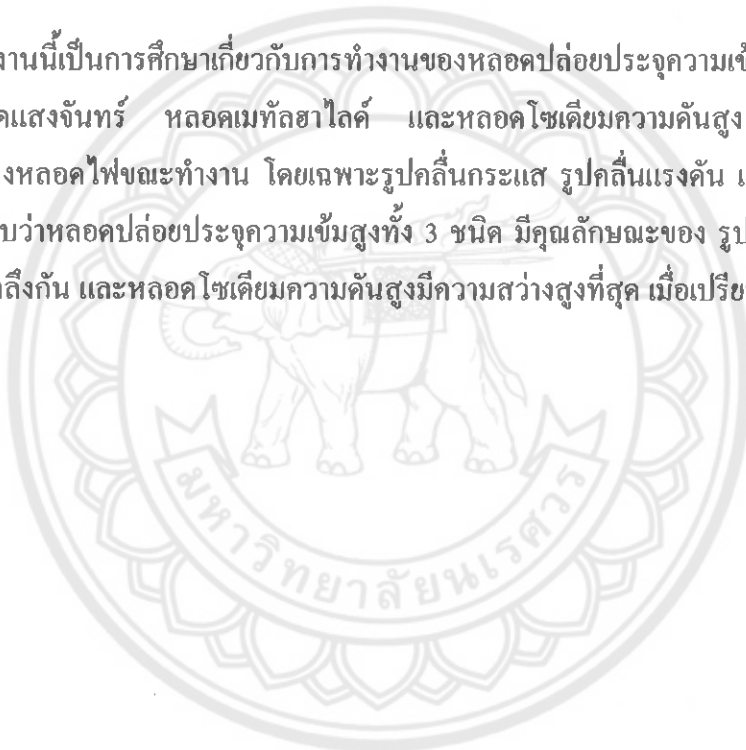
กรรมการ

หัวข้อโครงการ	ศึกษาผลกระทบของการใช้หลอดปล่อยประจุความเข้มสูง		
ผู้ดำเนินโครงการ	นายเอกสิทธิ์ ทองสุข	รหัส	45380185
อาจารย์ที่ปรึกษา	ดร.สมพร เรืองสินชัยวนิช		
สาขาวิชา	วิศวกรรมไฟฟ้า		
ภาควิชา	วิศวกรรมไฟฟ้าและคอมพิวเตอร์		
ปีการศึกษา	2552		

---

### บทคัดย่อ

โครงการนี้เป็นการศึกษาเกี่ยวกับการทำงานของหลอดปล่อยประจุความเข้มสูง ทั้ง 3 ชนิด ได้แก่ หลอดแสงจันทร์ หลอดเคมแทลยาไอล์ด และหลอดโซเดียมกัมความดันสูง การศึกษานี้เน้นที่ คุณลักษณะของหลอดไฟที่จะทำงาน โดยเฉพาะรูปคลื่นกระแส รูปคลื่นแรงดัน และค่าความส่องสว่าง ผลการศึกษาพบว่าหลอดปล่อยประจุความเข้มสูงทั้ง 3 ชนิด มีคุณลักษณะของ รูปคลื่นกระแส รูปคลื่น แรงดัน คล้ายคลึงกัน และหลอดโซเดียมกัมความดันสูงมีความสว่างสูงที่สุด เมื่อเปรียบเทียบกับหลอดชนิดอื่น



<b>Project Title</b>	The Study Effect of Using High Intensity Discharge Lamps		
<b>Name</b>	Mr.Aekkasit	Thongsook	ID. 45380185
<b>Project Advisor</b>	Mr.Somporn Ruangsinchaiwanich (Ph.D.)		
<b>Major</b>	Electrical Engineering		
<b>Department</b>	Electrical and Computer Engineering		
<b>Academic Year</b>	2009		

---

## **ABSTRACT**

This project is to study the principle of the high intensity discharge lamps (HID lamps) for example the High pressure mercury lamp, Metal halide lamp and High pressure sodium lamps. Particularly, main object is focused in starting conditions of the HID lamps, current waveform, voltage waveform, and luminaries volumes. Consequently, the results have shown that the HID lamps have similar current and voltage waveform characteristics, also the luminaries of the High pressure sodium lamp is the highest comparing with other lamps.

## กิตติกรรมประกาศ

โครงการนี้สำเร็จลุล่วงไปได้ด้วยดี ทางผู้จัดทำได้ขอแสดงความขอบพระคุณเป็นอย่างสูงต่อ อาจารย์ที่ปรึกษาโครงการ ดร.สมพร เรืองสินชัยวนิช ที่ได้กรุณาให้โอกาส ท่านแสดงให้ข้าพเจ้าเห็นว่า คนทุกคนย่อมสมควรได้รับโอกาสให้กลับตัว แล้วท่านยังให้แนวความคิด ช่วยแนะนำแนวทางในการทำ โครงการ ตลอดจนกรุณาเอื้อเพื่อเวลา สถานที่ เอกสารและอุปกรณ์ต่างๆ ที่เกี่ยวข้องกับการทำโครงการ อีกทั้งช่วยแนะนำแหล่งข้อมูลในการค้นคว้าเพิ่มเติม ซึ่งเป็นประโยชน์อย่างมากต่อผู้จัดทำโครงการ

ขอบคุณคณะกรรมการทั้งสองท่าน ได้แก่ อาจารย์แสงชัย มังกรทอง และ ดร.อัครพันธ์ วงศ์ กังແหม ที่ได้สละเวลา มาเป็นกรรมการ พร้อมทั้งให้คำแนะนำ จนโครงการนี้สำเร็จ

ขอบคุณบิคาระและมารดาของข้าพเจ้าที่เดียงดู สร้างเติบโตเล่าเรียน ให้กำเนิด สั่งสอน ให้อภัย ฯลฯ

ขอบคุณ ดร.ชัยรัตน์ พินทอง ที่เคยเป็นกำลังใจให้ผมเสมอมา

ขอบใจเพื่อนๆ ทุกๆ คน ที่เคยให้กำลังใจ ให้กำปรึกษาเวลาข้าพเจ้ารู้สึกโศกเศร้าไม่มีใคร หาทางออกไม่ได้ หรือสับสนกับปัญหาชีวิต

ขอบใจน้องหอบ น้องเอก ที่ช่วยเหลือเรื่องการทดลองในโครงการนี้

ข้าพเจ้าจะไม่มีวันลืมนญุคในครั้งนี้ ขอบคุณครับ

ผู้จัดทำโครงการ  
นายเอกสิทธิ์ ทองสุข

# สารบัญ

	หน้า
บทคัดย่อภาษาไทย	ก
บทคัดย่อภาษาอังกฤษ	ข
กิตติกรรมประกาศ	ค
สารบัญ	ง
สารบัญตาราง	ช
สารบัญรูป	ณ
<b>บทที่ 1 บทนำ</b>	
1.1 ที่มาและความสำคัญของโครงการ	1
1.2 วัตถุประสงค์ของโครงการ	1
1.3 ขอบข่ายของโครงการ	1
1.4 ขั้นตอนการดำเนินงาน	1
1.5 ผลที่คาดว่าจะได้รับ	2
1.6 งบประมาณที่ใช้	2
<b>บทที่ 2 หลักการและทฤษฎี</b>	
2.1 หลอดแสงจันทร์ (High Pressure Mercury lamp)	3
2.1.1 ลักษณะการทำงานของหลอดแสงจันทร์	4
2.1.2 บัลลาสต์ที่ใช้กับหลอดแสงจันทร์	4
- บัลลาสต์แบบบคลาด (Reactor Ballast)	5
- บัลลาสต์แบบล้าหลัง (Lag Ballast)	5
- บัลลาสต์รักษาระดับแรงดันไฟฟ้า (Regulator Ballast)	6
- บัลลาสต์รักษาระดับแรงดันไฟฟ้าแบบใช้หน้อเปล่งบดเดียว	7
2.1.3 หลอดแสงจันทร์ชนิดไม่ใช้บัลลาสต์ (Blended Light Lamp)	10
2.2 หลอดเมทัลไฮಡริด (Metal Halide Lamp)	11
2.2.1 ลักษณะการทำงานของหลอด	12
2.2.2 บัลลาสต์ที่ใช้กับหลอดเมทัลไฮಡริด	12
บัลลาสต์แบบรักษาระดับแรงดัน (Regulator Ballast)	13
บัลลาสต์แบบล้าหลัง (Lag Ballast)	13
บัลลาสต์แบบนำค่าสูงโดยใช้หน้อเปล่งบดเดียว	14

	หน้า
บัลลาสต์แบบขดลวด (Reactor Ballast)	14
2.2.3 ตัวจุด火 (Igniter)	15
2.3 หลอดโซเดียมความดันสูง (High Pressure Sodium Lamp)	17
2.3.1 ลักษณะการทำงานของหลอดโซเดียมความดันสูง	17
2.3.2 บัลลาสต์ที่ใช้กับหลอดโซเดียมความดันสูง	18
บัลลาสต์แบบขดลวด (Reactor Ballast)	18
บัลลาสต์แบบรักษาแรงดันไฟฟ้า (Regulator Ballast)	19
บัลลาสต์แบบรักษาแรงดันไฟฟ้าด้วยแม่เหล็ก	19
2.3.3 ตัวจุด火 (Igniter)	20
2.4 โคมไฟที่ใช้กับหลอดปล่อยประจุความเป็นสูง	24
2.4.1 โคมไฮเบย์ (High bay)	24
2.4.2 โคมโลเบย์ (Low Bay)	24
<b>บทที่ 3 ขั้นตอนการศึกษาและการดำเนินงาน</b>	
3.1 คุณสมบัติที่ใช้	26
3.2 ขั้นตอนการทดลอง	26
<b>บทที่ 4 ผลการทดลอง</b>	
4.1 ผลการทดลองวัดแรงดันและกระแส	27
4.1.1 หลอดแสงจันทร์	27
4.1.2 หลอดเมทัลไฮดีค์	28
4.1.3 หลอดโซเดียมความดันสูง	30
4.2 ผลการทดลองวัดแรงดันและกระแสที่อุณหภูมิต่างๆ	31
4.2.1 หลอดแสงจันทร์	31
4.2.2 หลอดเมทัลไฮดีค์	38
4.2.3 หลอดโซเดียมความดันสูง	45
4.3 เปรียบเทียบแรงดันและกระแสของอุณหภูมิต่างๆ	52
4.3.1 หลอดแสงจันทร์	53
4.3.2 หลอดเมทัลไฮดีค์	55
4.3.3 หลอดโซเดียมความดันสูง	57
4.4 ผลการวัดค่าความส่องสว่าง	59

หน้า

บทที่ 5 วิเคราะห์และสรุปผลของโครงการ	
5.1 วิเคราะห์แรงดันและกระแส	60
5.2 วิเคราะห์แรงดันและกระแสที่อุณหภูมิต่างๆ	60
5.3 วิเคราะห์ค่าความส่องสว่าง	60
5.4 สรุปผลของโครงการ	60
5.5 ข้อเสนอแนะ	60
 เอกสารอ้างอิง	61
ภาคผนวก	
ประวัติผู้เขียน โครงการ	



## สารบัญตาราง

	หน้า
ตารางที่ 2.1 ข้อมูลทั่วไปของหลอดแสงจันทร์	7
ตารางที่ 2.2 แสดงคุณสมบัติต่างๆ ของหลอดแสงจันทร์ประเภทใช้บัลลاست์	8
ตารางที่ 2.3 แสดงคุณสมบัติต่างๆ ของหลอดแสงจันทร์ประเภทไม่ใช้บัลลاست์	10
ตารางที่ 2.4 ข้อมูลทั่วไปของหลอดเมทัลไฮดีค	15
ตารางที่ 2.5 แสดงคุณสมบัติต่างๆ ของหลอดเมทัลไฮดีค	16
ตารางที่ 2.6 แสดงคุณสมบัติต่างๆ ของหลอดเมทัลไฮดีแบบใช้บัลลاست์ของหลอดแสงจันทร์	16
ตารางที่ 2.7 ข้อมูลทั่วไปของหลอดโซเดียมความดันสูง	21
ตารางที่ 2.8 แสดงคุณสมบัติต่างๆ ของหลอดโซเดียมความดันสูง	22
ตารางที่ 2.9 แสดงคุณสมบัติต่างๆ ของหลอดโซเดียมความดันสูงแบบพิเศษ	
ชนิดใช้กับบัลลاست์ของหลอดแสงจันทร์	23



# สารบัญรูป

	หน้า
รูปที่ 2.1 หลอดแสงจันทร์	4
รูปที่ 2.2 วงจรการทำงานของหลอดแสงจันทร์กับบล็อกลาสต์แบบบคลวค	5
รูปที่ 2.3 วงจรการทำงานของหลอดแสงจันทร์กับบล็อกลาสต์แบบล้ำหลัง	6
รูปที่ 2.4 วงจรการทำงานของหลอดแสงจันทร์กับบล็อกลาสต์รักษาระดับแรงดันไฟฟ้า	6
รูปที่ 2.5 วงจรการทำงานของหลอดแสงจันทร์กับบล็อกลาสต์รักษาระดับแรงดันไฟฟ้า แบบใช้หน้อแปลงขนาดเดียว	7
รูปที่ 2.6 หลอดแสงจันทร์ชนิดไม่ใช้บล็อกลาสต์หรือหลอดแสงจันทร์แสงผสม	10
รูปที่ 2.7 หลอดเคมทัลชาไอล์ด	11
รูปที่ 2.8 วงจรการทำงานของหลอดเคมทัลชาไอล์ดกับบล็อกลาสต์แบบรักษาระดับแรงดัน	13
รูปที่ 2.9 วงจรการทำงานของหลอดเคมทัลชาไอล์ดกับบล็อกลาสต์แบบล้ำหลัง	13
รูปที่ 2.10 วงจรการทำงานของหลอดเคมทัลชาไอล์ดกับบล็อกลาสต์แบบนำค่าสูง โดยใช้หน้อแปลงขนาดเดียว	14
รูปที่ 2.11 วงจรการทำงานของหลอดเคมทัลชาไอล์ดกับบล็อกลาสต์แบบบคลวค	14
รูปที่ 2.12 Superimposed Igniter	15
รูปที่ 2.13 หลอด โซเดียมความดันสูง	17
รูปที่ 2.14 วงจรการทำงานของหลอด โซเดียมความดันสูงกับบล็อกลาสต์แบบบคลวค	18
รูปที่ 2.15 วงจรการทำงานของหลอด โซเดียมความดันสูงกับบล็อกลาสต์แบบ	19
รูปที่ 2.16 วงจรการทำงานของหลอด โซเดียมความดันสูงกับบล็อกลาสต์ แบบรักษาระดับแรงดันไฟฟ้าด้วยแม่เหล็ก	19
รูปที่ 2.17 ลักษณะของ Superimposed Igniter	20
รูปที่ 2.18 ลักษณะของ Pulse Igniter ห้องส่วนแยก	20
รูปที่ 2.19 โคม ไอยบี	24
รูปที่ 2.20 โคม โลเบย์	24
รูปที่ 2.21 รูปแบบแสงต่างๆ ที่ออกมากจากโคม	25
รูปที่ 4.1 วงจรหลอดแสงจันทร์ที่ใช้ในการทดลอง	27
รูปที่ 4.2 วงจรหลอดแสงจันทร์	27
รูปที่ 4.3 แผนภูมิแสดงผลการวัดแรงดันของวงจรหลอดแสงจันทร์	27
รูปที่ 4.4 แผนภูมิแสดงผลการวัดกระแสของวงจรหลอดแสงจันทร์	28
รูปที่ 4.5 วงจรหลอดเคมทัลชาไอล์ดที่ใช้ในการทดลอง	28





	หน้า
รูปที่ 4.68 แผนภูมิแสดงผลการวัดกระแสที่ไหลเข้าบลลารสต์หลอดโขเดี่ยมความดันสูงที่อุณหภูมิต่างๆ	57
รูปที่ 4.69 แผนภูมิแสดงผลการวัดกระแสที่ไหลเข้าหลอดโขเดี่ยมความดันสูงที่อุณหภูมิต่างๆ	58
รูปที่ 4.70 แผนภูมิแสดงผลการวัดความส่องสว่างของหลอดปล่องประจุความเข้มสูงทั้ง 3 ชนิด	58



## บทที่ 1

### บทนำ

#### 1.1 ที่มาและความสำคัญของโครงการ

แสงสว่างเป็นสิ่งที่จำเป็นสำหรับการใช้ชีวิตประจำวัน โดยทุกเวลาเราต้องการแสงสว่างในการทำกิจกรรมต่างๆ ไม่ว่าจะเป็นภายนอกอาคารหรือภายในอาคารเพื่อใช้ในการมองเห็น ทุกวันนี้จำนวนประชากรในประเทศไทยมีอัตราการเพิ่มขึ้น มีการก่อสร้างบ้านเรือน อาคาร และโรงงานต่างๆ เพิ่มขึ้น ดังนั้นจึงต้องการใช้แสงสว่างเพิ่มขึ้นเมื่อต้องการแสงสว่างเพิ่มขึ้นจึงใช้ไฟฟ้าในการให้แสงสว่างเพิ่มขึ้นตามไปด้วย

#### 1.2 วัตถุประสงค์ของโครงการ

- 1.2.1 เพื่อศึกษาเรื่องการทำงานของหลอดไฟปล่อยประจุความร้อนสูง
- 1.2.2 เพื่อศึกษาการทำงานของหลอดไฟที่อุณหภูมิต่างๆ
- 1.2.3 เพื่อศึกษาค่าความส่องสว่างของหลอดไฟปล่อยประจุความร้อนสูงแต่ละชนิด
- 1.2.4 สามารถวิเคราะห์แผนภูมิของกระแสและแรงดันได้

#### 1.3 ขอบเขตของโครงการ

- 1.3.1 เลือกใช้อุปกรณ์มาต่อวงจรให้เหมาะสมกับการใช้งานของหลอดไฟแต่ละชนิด
- 1.3.2 ศึกษาตรวจวัด แรงดันและกระแสของวงจรหลอดไฟแต่ละชนิดที่อุณหภูมิต่างๆ
- 1.3.3 ศึกษาและตรวจวัดความส่องสว่างของหลอดไฟแต่ละชนิด
- 1.3.4 ศึกษาและเบริ่งเทียบผลการทดลองจากแผนภูมิ

#### 1.4 ขั้นตอนการดำเนินงาน

กิจกรรม	2552			
	ก.ย.	ต.ค.	พ.ย.	ธ.ค.
รวบรวมข้อมูล		↔		
ออกแบบระบบ		↔		
แก้ไขข้อผิดพลาด		↔		
สรุปและนำเสนอรายงาน				↔

### 1.5 ผลที่คาดว่าจะได้รับ

- 1.5.1 สามารถต่อวงรหลอดปล่องประจุความเข้มสูงแต่ละชนิด ได้อย่างถูกต้อง
- 1.5.2 สามารถใช้เครื่องมือวัดชนิดต่างๆ ได้
- 1.5.3 มีความรู้เกี่ยวกับการวิเคราะห์แผนภูมิของกระแส แรงดัน และค่าความส่องสว่าง

### 1.6 งบประมาณที่ใช้

- อุปกรณ์	200	บาท
- เอกสาร	600	บาท
- อื่นๆ	200	บาท
- รวม	1,000	บาท

(หนึ่งพันบาทถ้วน)



## บทที่ 2

### หลักการและทฤษฎี

หลอดปล่อยประจุความเข้มสูง (High Intensity Discharge Lamps) คือ หลอดไฟฟ้าแบบใหม่ที่แหล่งกำเนิดแสงเล็ก แต่ฟลักซ์การส่องสว่างและประสิทธิภาพสูง มีขนาดกะทัดรัด ทำให้การอุดแบบดวงโคมทำได้ง่าย ทำงานด้วยหลักการปล่อยประจุความเข้มสูง เป็นหลอดที่มีค่าประสิทธิภาพความส่องสว่างสูงกว่าหลอดชนิดอื่น มีขนาดกะทัดรัด ติดตั้งง่าย และส่องสว่างควบคุมออกไปได้ໄกๆ จึงเป็นหลอดไฟฟ้าที่เหมาะสมกับงานในโรงงานอุตสาหกรรม สนามกีฬา หรือตลาดกลางแจ้งตามถนน หลอดไฟชนิดนี้จะต้องใช้ควบคู่ไปกับดวงโคมเสมอ

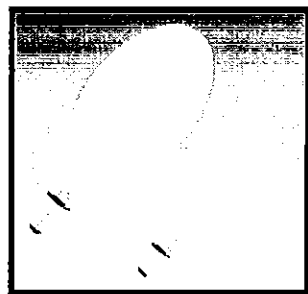
เมื่อเริ่มทำงาน หลอดปล่อบรรจุความเข้มสูงนี้ จะไม่สว่างขึ้นเด่นที่ในทันที เมื่อก๊าซที่อยู่ภายในหลอดเกิดการแตกตัวหรือทำงาน ซึ่งจะใช้เวลาประมาณ 5-10 นาที แล้วแต่ชนิดของหลอดค้าบ จึงจะให้แสงสว่างอย่างเด่นที่ และในขณะที่ใช้งานอยู่ หากเกิดไฟฟ้าดับทันทีก็ไม่ได้ทำการจุดหลอดซ้ำอีกครั้ง เพื่อให้หลอดทำงานใหม่นั้น หลอดจะไม่สามารถทำงานใหม่ได้ในตอนนั้น ต้องรอเวลาให้หลอดเย็นตัวลงเสียก่อน ซึ่งนั่นหมายความว่า จะต้องให้ก๊าซในหลอดที่แตกตัวไปกลับคืนมา รวมกันเสียก่อนเหมือนในตอนเริ่มสตาร์ทหลอด แล้วจึงเริ่มจุดหลอดใหม่ได้ อาจจะใช้เวลา 5-10 นาที ขึ้นอยู่กับชนิดของหลอดปล่อบรรจุความเข้มสูงแต่ละหลอดค้าบ

หลอดคุณลักษณะที่มีความเข้มแข็ง สามารถแบ่งออกเป็นชนิดต่างๆ ได้ดังนี้

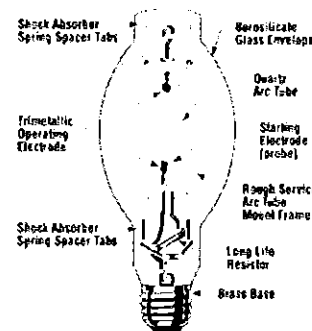
- หลอดแสงจันทร์ (High Pressure Mercury Lamp)
  - หลอดเมทัลไฮดีด (Metal Halide Lamp)
  - หลอดโซเดียมดันแรงดันสูง (High Pressure Sodium Lamp)

## 2.1 หลอดแสงจันทร์ (High Pressure Mercury lamp)

หลอดดแสงจันทร์เป็นหลอดปล่อยประจุความร้อนสูงชนิดแรกที่ถูกประดิษฐ์ขึ้น หลอดชนิดนี้จะให้แสงสว่างนวลดี มีประสิทธิภาพความส่องสว่างไม่สูงมากนัก คือประมาณ 35-60 ลูเมนต่อวัตต์ จึงนิยมใช้ส่องสว่างเป็นไฟในโรงงาน ไฟถนนในซอย ห้างสรรพสินค้า อาคารที่มีเพดานสูง เป็นต้น มีอายุการใช้งานเฉลี่ย 24,000 ชั่วโมง หลอดดแสงจันทร์ที่ผลิตขึ้นมาปัจจุบันตั้งแต่ 40 วัตต์ไปจนถึง 1,000 วัตต์ หลอดดแสงจันทร์ที่ใช้กันอยู่ในปัจจุบันนี้มีอยู่ 2 ชนิดคือขั้วกันคือ ชนิดที่ใช้งานร่วมกับบลัลลาสต์ กับ ชนิดที่ไม่มีบลัลลาสต์ ซึ่งชนิดที่ไม่มีบลัลลาสต์นี้จะมีอายุการใช้งานที่สั้นกว่าคือมีอายุการใช้งานประมาณ 16,000 ชั่วโมง



ลักษณะภายนอก[1]



โครงสร้างของหลอดแสงจันทร์[2]

รูปที่ 2.1 หลอดแสงจันทร์

### 2.1.1 ลักษณะการทำงาน

เมื่อเริ่มป้อนแรงคันไฟฟ้าให้กับหลอดแสงจันทร์ แรงคันไฟฟ้านี้จะไปตอกคร่องที่ปลายของ อิเล็กโทรดหลัก (Main Electrode) และอิเล็กโทรดที่ช่วยในการจุดหลอด (Starting Electrode) ซึ่งอยู่ที่ปลายด้านล่างของหลอด ทำให้เกิดการของก๊าซออกอน และเกิดความร้อนและแสงสว่างขึ้นตามลำดับ เรียกเหตุการณ์นี้ว่า ช่วงเวลาอุ่นไส้หลอด (Warm-up Time) ความร้อนที่ได้นี้จะทำให้อุบัติประทัดแตก ตัวออก ความด้านท่าน้ำภายในหลอดจะตกองข้างขวาและเร็วจนกระทั่งถึงจุด平衡นี้ ซึ่งแรงดันไฟฟ้าของ บัลลัสต์สามารถอ่อนตัวตามความด้านท่าน้ำระหว่างปลายอิเล็กโทรดหลักทั้งสองข้างได้ กระแสไฟฟ้าก็จะ เริ่มไหลจากอิเล็กโทรดหลักข้างหนึ่งไปยังปลายอิเล็กโทรดอีกข้างหนึ่ง ไประยะที่จะเริ่มแตกตัวมากขึ้น จนถึงจุด อิ่มตัว (Steady State) ความด้านท่าน้ำของหลอดขณะนี้จะมีค่าต่ำกว่าเมื่อเทียบกับอิเล็กโทรดที่ช่วยในการ จุดหลอด และงานนี้ไปจะไม่มีไฟฟ้าที่ไหลผ่านจากอิเล็กโทรดหลักที่อิเล็กโทรดช่วยในการจุดหลอด อีกเลย ระยะเวลาช่วงนี้นับจากเริ่มป้อนแรงคันให้กับหลอดแสงจันทร์จนกระทั่งถึงช่วงที่หลอดสามารถ เปล่งแสงสว่างออกมานี้เราเรียกว่า ช่วงเวลาจุดหลอด (Run up time) หลอดแก้วขันออกของหลอดแสง จันทร์อาจเป็นหลอดแก้วชนิดใส (Clear Glass) หรือเป็นแบบที่มีสารเรืองแสงเคลือบผิวในแก้วได้ คุณสมบัติทางไฟฟ้าทดลองจนถูกพัฒนาการทำงานของหลอดไม่แตกต่างกันเลย

### 2.1.2 บัลลัสต์ที่ใช้กับหลอดแสงจันทร์

บัลลัสต์จะทำหน้าที่เพิ่มแรงดันไฟฟ้าให้กับอิเล็กโทรดหลักที่กระแสไฟฟ้าไหลผ่าน แล้วจะทำให้ก๊าซที่อยู่ในนั้นเกิดการแตกตัว และหลอดก็จะเปล่งแสงออกมาม เมื่อหลอดเปล่งแสงออกมารับรู้อย แล้วบัลลัสต์ก็จะทำหน้าที่เป็นตัวจัดกระแสไฟฟ้าให้ไหลเข้าไปในหลอดมากจนเกินไป

โดยทั่วไปแล้ว บัลลัสต์จะถูกออกแบบไว้เพื่อใช้งานสำหรับค่าแรงดันไฟฟ้าและค่าความถี่ที่ ถูกกำหนดเอาไว้ และเมื่อมีแรงดันไฟฟ้าเปลี่ยนแปลง (Voltage Dip) จะส่งผลโดยตรงต่อการทำงานของ บัลลัสต์และหลอดไฟ ซึ่งอาจทำให้หลอดนั้นเสียหายได้ ปัจจุบันมีการออกแบบบัลลัสต์บางชนิด ให้สามารถใช้งานได้ตามปกติ เมื่อมีการเปลี่ยนแปลงระดับแรงดันไฟฟ้าไป ±10%

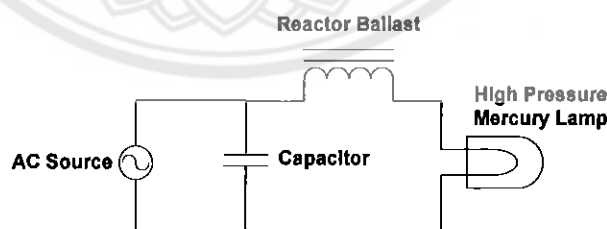
การเปลี่ยนแปลงแรงดันไฟฟ้านั้น ส่วนใหญ่แล้วจะมีสาเหตุมาจากการปริมาณของโหลดบริเวณใกล้เคียง การทดลองของแรงดันไฟฟ้าแต่ละครั้งอาจเกิดเพียงครู่เท่านั้น ซึ่งจะมีผลทำให้แสงสว่างของหลอดคลองเพียงเล็กน้อย หรือบางครั้งอาจทางทดลองมากและนานจนทำให้หลอดไฟดับลง ดังนั้นในการออกแบบระบบแสงสว่างจึงจำเป็นที่จะต้องรู้ถึงข้อความสามารถของบลัลลัสต์ ตลอดจนต้องศึกษาบริเวณใกล้เคียงถึงสภาพระบบไฟฟ้า ก่อนที่จะเดือกชนิดของบลัลลัสต์

โดยทั่วไปแล้วบลัลลัสต์จะมีค่าตัวประกอนกำลัง (Power Factor) ต่ำประมาณ 30% ถึง 50% แต่ก็สามารถปรับให้สูงขึ้นได้โดยการต่อตัวเก็บประจุ (Capacitor) ขนาดเข้ากับวงจรของหลอดแสงจันทร์ บลัลลัสต์ที่มีค่าตัวประกอนกำลังสูงๆ หมายความว่า มีประสิทธิภาพสูงไปด้วย ส่วนตัวที่มีค่าตัวประกอนกำลังต่ำนั้น หากไม่มีการแก้ไขแล้วจำทำให้กระแสไฟลอกเข้าไปในวงจรมากเกิน ทำให้จำต้องใช้อุปกรณ์ต่างๆ ที่เป็นส่วนประกอบของวงจรนี้ขนาดใหญ่ขึ้น ตามไปด้วย เช่น สายไฟ สวิตช์ เป็นต้น ประเภทของบลัลลัสต์ที่ใช้กับหลอดแสงจันทร์โดยทั่วไปจะสามารถแบ่งออกได้เป็น 2 ประเภท ได้แก่

- บลัลลัสต์แบบปกติ (Normal Ballast)
  - บลัลลัสต์แบบขดลวด (Reactor Ballast)
  - บลัลลัสต์แบบล้าหลัง (Lag Ballast)
- บลัลลัสต์ที่มีกำลังไฟฟ้าคงที่ (Constant Wattage Ballast)
  - บลัลลัสต์รักษาแรงดันแรงดันไฟฟ้า (Regulator Ballast)
  - บลัลลัสต์รักษาแรงดันแรงดันไฟฟ้าแบบใช้มือเปลี่ยนค่าเดียว (Auto Regulator Ballast)

#### บลัลลัสต์แบบขดลวด (Reactor Ballast)

เป็นบลัลลัสต์ที่มีลักษณะคล้ายกับบลัลลัสต์ทั่วไป โดยจะมีข้อความทองแดงพันอยู่บนแกนเหล็ก (Core) และจะต่ออยู่กับหลอดดูดขณะใช้งาน ดังรูปที่ 2.2



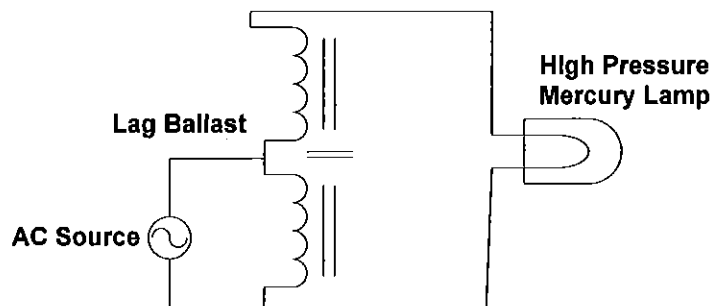
รูปที่ 2.2 วงจรการทำงานของหลอดแสงจันทร์กับบลัลลัสต์แบบขดลวด

#### คุณสมบัติของบลัลลัสต์แบบขดลวด (Reactor Ballast)

- มีขนาดเล็ก น้ำหนักเบา และราคาถูก
- ค่าตัวประกอนกำลังต่ำ
- แรงดันระหว่างสายจะต้องเปลี่ยนแปลงไม่เกิน ±5%
- กระแสไฟฟ้าเริ่มต้น (Starting Current) มีค่าประมาณ 150%

### บลลัสต์แบบล้าหลัง (Lag Ballast)

เป็นบลลัสต์ที่สร้างขึ้นโดยเอาแนวความคิดของการรวมเอาบลลัสต์แบบคลัวด์ (Reactor Ballast) กับหม้อแปลงคลเดียว (Auto Transformer) เข้าด้วยกัน



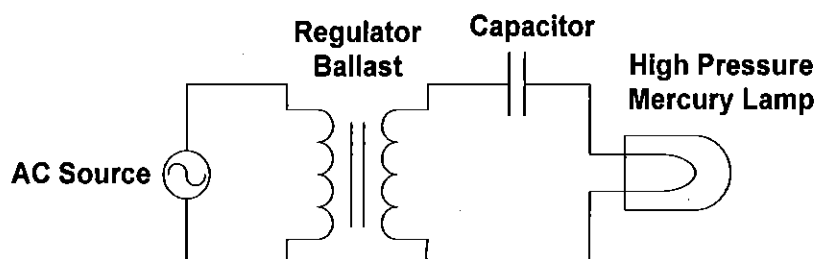
รูปที่ 2.3 วงจรการทำงานของหลอดแสงจันทร์กับบลลัสต์แบบล้าหลัง

### คุณสมบัติของบลลัสต์แบบล้าหลัง (Lag Ballast)

- มีขนาดใหญ่ น้ำหนักมาก และราคาแพงกว่าบลลัสต์แบบคลัวด์
- ใช้งานได้ดีเมื่อว่างคันระหว่างสายจะสูงกว่าหรือต่ำกว่าว่างคันไฟฟ้าเริ่มต้นที่หลอดต้องการ
- ค่าตัวประกอบกำลังต่ำ
- ประสิทธิภาพต่ำกว่าบลลัสต์แบบคลัวด์

### บลลัสต์รักษาระดับแรงคันไฟฟ้า (Regulator Ballast)

เป็นบลลัสต์ที่สร้างขึ้นมา มีขั้นตอนอยู่ 2 ชุด และขั้นตอนนี้จะพันอยู่บนแกนเหล็ก มีลักษณะเหมือนหม้อแปลงไฟฟ้า ซึ่งขั้นตอนทั้งสองขั้นตอนนี้จะพันแยกออกจากกัน ขั้นตอนที่ 2 ทำหน้าที่เป็นขั้นตอนที่ต้องทำงานอยู่ในช่วงสภาพการอิ่มตัวของแกนเหล็ก (Magnetic Saturation) จึงสามารถรักษาระดับแรงคันไฟฟ้าที่ไฟล์ในวงจรให้คงที่ และค่าปาราเมตอร์ตัวที่ต่ออยู่กับบลลัสต์จะทำหน้าที่เป็นตัวจำกัดกระแสไฟฟ้าที่ไฟล์อยู่ในวงจรของหลอด ส่วนอีกด้านหนึ่งที่ต่ออยู่กับบลลัสต์ คือขั้นตอนที่ต้องทำงานอยู่ในช่วงแรงดันไฟฟ้าของวงจรเปิด (Open Circuit Voltage) ในกรณีที่หลอดไฟจะต้องสตาร์ทที่อุณหภูมิตามากๆ ลักษณะของวงจรบลลัสต์ชนิดนี้



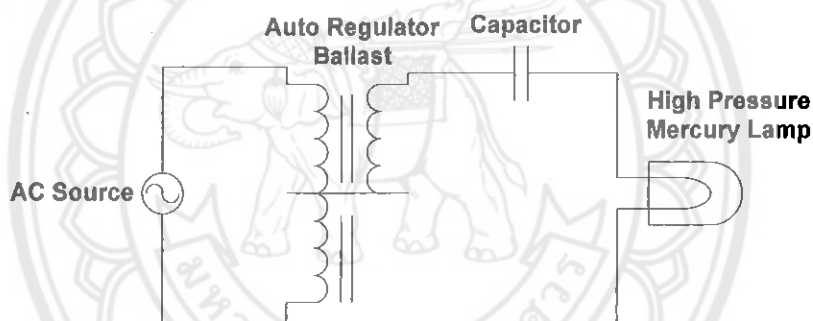
รูปที่ 2.4 วงจรการทำงานของหลอดแสงจันทร์กับบลลัสต์รักษาระดับแรงคันไฟฟ้า

### คุณสมบัติของบลัลลาสต์รักษาระดับแรงดันไฟฟ้า

- รักษาระดับของกระแสไฟฟ้าให้คงที่ได้มาก ถึงแม้ว่าค่าแรงดันของสายปั้มน้ำจะเปลี่ยนแปลงมากถึง  $\pm 5\%$  ก็ตาม
- กระแสไฟฟ้าที่ใช้ในการ starters ต่ำกว่ากระแสเมื่อช่วงที่หลอดทำงานปกติ
- ค่าตัวประกอนของคลื่นกระแสไฟฟ้าประมาณ 1.8 ถึง 2.0
- ราคายังกว่าบลัลลาสต์แบบขดลวดมาก
- สามารถใช้กับแรงดันไฟฟ้ามาตรฐานกับหลอดแสงจันทร์ได้ทุกขนาด

**บลัลลาสต์รักษาระดันแรงดันไฟฟ้าแบบใช้หม้อแปลงขนาดเดียว (Auto Regulator Ballast)**

เป็นบลัลลาสต์ที่สร้างขึ้นมาโดยนำเอาคุณสมบัติของบลัลลาสต์รักษาระดับแรงดันไฟฟ้า (Regulator Ballast) กับหม้อแปลงไฟฟ้าแบบขดเดียวมารวมเข้าด้วยกัน และเห็นว่าส่วนหนึ่งของขดลวดทางค้านปั้มน้ำจะทำหน้าที่เป็นคลาดซูดทุติกว่าและคลาดหักห้องชุดนี้จะไม่แยกวงจรไฟฟ้าออกจากกันเป็นสาเหตุที่ทำให้มีข้อความสามารถในการรักษาแรงดันไฟฟ้า (Regulator) ต่ำกว่าบลัลลาสต์

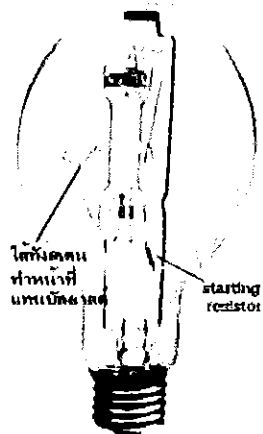


รูปที่ 2.5 วงจรการทำงานของหลอดแสงจันทร์กับบลัลลาสต์รักษาระดับแรงดันไฟฟ้าแบบใช้หม้อแปลงขดเดียว

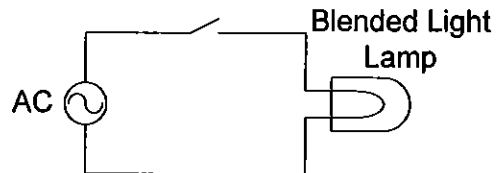
### คุณสมบัติของบลัลลาสต์รักษาระดับแรงดันไฟฟ้าแบบใช้หม้อแปลงขดเดียว

- มีขนาดเล็ก น้ำหนักเบา และราคาถูกกว่าบลัลลาสต์รักษาระดับแรงดันไฟฟ้า
- มีประสิทธิภาพสูงกว่าบลัลลาสต์รักษาระดับแรงดันไฟฟ้า
- มีขนาดใหญ่และน้ำหนักมากกว่าบลัลลาสต์ขดลวด
- แรงดันระหว่างสายสามารถเปลี่ยนแปลงได้ถึง  $\pm 10\%$  และกำลังของหลอดไฟ (Lamp Watt) เปลี่ยนแปลงน้อยมาก
- กระแสไฟฟ้าที่ใช้ในการ starters ต่ำกว่ากระแสไฟฟ้าในช่วงที่หลอดทำงานปกติ

### 2.1.3 หลอดแสงจันทร์ชนิดไม่ใช้บัลลაสต์ (Blended Light Lamp)



ลักษณะภายนอก [4]



ลักษณะวงจร

รูปที่ 2.6 หลอดแสงจันทร์ชนิดไม่ใช้บัลลัสต์หรือหลอดแสงจันทร์แสงผสม

#### ลักษณะการทำงานของหลอดแสงจันทร์ชนิดไม่ใช้บัลลัสต์

หลอดแสงจันทร์ชนิดไม่ใช้บัลลัสต์ หรือ หลอดแสงจันทร์แสงผสมนี้ จะมีไส้หลอดทั้งส่วนต่ออนุกรมอยู่กับหลอดทำหน้าที่แทนบัลลัสต์อยู่ภายในแสงที่ได้จากการหลอดจะเกิดจากการปล่อยประจุของprotothophism กับแสงที่ได้จากการเผาไส้หลอด หลอดแสงจันทร์ชนิดไม่ใช้บัลลัสต์ที่ใช้ทั่วไป จะมีลักษณะเป็นหลอดครูปทรงไข่เคลือบสารฟ้อฟอร์ และมีคุณสมบัติดังนี้

- มีประสิทธิภาพความส่องสว่างต่ำ ประมาณ 10-26 ลูเมนต่อวัตต์
- อายุการใช้งานยาวกว่าหลอดไส้ ประมาณ 5,000-8,000 ชั่วโมง
- แสงที่ออกมากจากหลอดจะคล้ายหลอดแสงจันทร์ แต่จะมีสีแดงของหลอดไส้ด้วย
- ค่านิรภัยต้องสูงถึง 60
- อุณหภูมิสี 3,600 องศาเคลวิน

ตารางที่ 2.1 ข้อมูลทั่วไปของหลอดแสงจันทร์ [3]

กำลังไฟฟ้า (W)	ผลักด้วยการส่องสว่าง (lm)	ประสิทธิภาพความ ส่องสว่าง (lm/W)	อุณหภูมิสี (K)
<b>Standard</b>			
50	1,800	36	4,200
80	3,800	48	4,100
125	6,300	50	4,000
250	13,000	52	3,900
400	22,000	55	3,800
700	38,500	55	3,550
1,000	58,000	58	3,550
<b>Deluxe</b>			
50	1,600	32	3,000
80	3,400	43	3,000
125	5,700	46	3,000
250	14,000	56	3,100
400	24,000	60	3,000
<b>Blended</b>			
100	1,100	11	3,300
160	3,100	19	3,600
250	5,500	22	3,400
500	13,000	26	3,700

ตารางที่ 2.2 แสดงคุณสมบัติต่างๆ ของหลอดแสงจันทร์ประเภทใช้บัลลลासต์ [3]

กำลังไฟฟ้า (W)	ประเภท	ขั้วหลอด และ แรงดัน (V)	อุณหภูมิสี (K)	ดัชนีความถูกต้องสี (CRI)	ฟลักซ์การส่องสว่าง (lm)	กำลังสูญเสียบัลลลัสต์ (W)	อายุการใช้งาน (ชั่วโมง)
50	H		5,700	25	1,650		
	HF	E27&B22	4,100	40	1,900		
	HF-R	(220V)	4,100	40	1,300	9	8,000
	HF-G		4,100	40	1,750		
80	H		5,700	25	3,000		
	HF	E27&B22	4,100	40	3,600		
	HF-R	(220V)	4,100	40	2,500	10	16,000
	HF-G		4,100	40	3,600		
125	H		5,700	25	5,400		
	HF	E27&B22	4,100	40	6,250		
	HF-R	(220V)	4,100	40	4,300	14	24,000
	HF-G		4,100	40	6,250		
175	H		5,700	25	7,800		
	HF	E40 (220V)	4,100	40	8,900	16	24,000
250	H		5,700	25	12,000		
	H-T		5,700	25	11,500		
	H-R		5,700	25	8,000		
	HF	E40 (220V)	4,100	40	13,700		
	HF-R		4,100	40	8,800	18	24,000
	HF-G		4,100	40	12,800		
400	H		5,700	25	21,000		
	H-T		5,700	25	21,000		
	H-R	E40 (220V)	5,700	25	13,500		
	HF		4,100	40	23,000	22	24,000
	HF-R		4,100	40	15,500		
700	H		5,700	25	39,500		
	H-R		5,700	25	25,000		
	HF	E40 (220V)	4,100	40	44,000	34	24,000
	HF-R		4,100	40	31,000		
1,000	H		5,700	25	58,000		
	H-R		5,700	25	36,600		
	HF	E40 (220V)	4,100	40	64,000		
	HF-R		4,100	40	46,000	45	16,000
2,000	HF	E40 (380V)	4,100	40	125,000	60	10,000

**หมายเหตุ**

- H: หลอดแก้วใส ทรงบีที่ หรือทรงอีลิป
- H-T: หลอดแก้วใส ทรงหลอดขาว
- H-R: หลอดแก้วใส ทรงสเปรย์ໄโลท์
- HF: หลอดแก้วเกลือบสาร ทรงบีที่ หรือทรงอีลิป
- HF-R: หลอดแก้วเกลือบสาร ทรงสเปรย์ໄโลท์
- HF-G: หลอดแก้วเกลือบสาร ทรงหลอดกลบ

ตารางที่ 2.3 แสดงคุณสมบัติต่างๆ ของหลอดแสงจันทร์ประเภทไม่ใช้น้ำคลาสต์ [3]

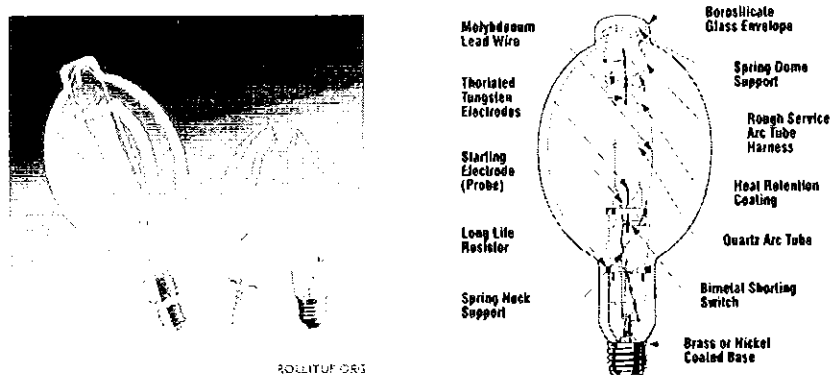
กำลังไฟฟ้า (W)	ประเภท	ข้อหลอด และ แรงดัน (V)	อุณหภูมิสี (K)	ดัชนีความถูก ต้องสี (CRI)	ผลลัพธ์การ ส่องสว่าง (lm)	อายุการใช้งาน (ชั่วโมง)
100	SB-W	E27 (220V)	3,700	58	1,100	6,000
160	SB		5,500	38	2,400	
	SB-W	E27	3,700	58	3,100	10,000
	SBF-R	(220V)	3,700	58	1,680	
	SBF-PAR		3,700	58	1,680	
250	SB		5,500	38	5,300	
	SB-W	E27&E40 (220V)	3,700	58	5,700	12,000
	SBF-R		3,700	58	3,900	
500	SB		5,500	38	11,000	
	SB-W	E40 (220V)	3,700	58	14,000	16,000
	SBF-R		3,700	58	9,100	
750	SB		5,500	38	19,500	
	SB-W	E40 (220V)	3,700	58	21,000	16,000
	SBF-R		3,700	58	14,000	
1,000	SB		5,500	38	29,000	
	SB-W	E40 (220V)	3,700	58	21,000	16,000
	SBF-R		3,700	58	20,000	

#### หมายเหตุ

- SB: หลอดแก้วใส ทรงบีที หรือทรงอีลิป
- SBF-R: หลอดแก้วเคลือบสาร ทรงสปอร์ทไลท์
- SB-W: หลอดแก้วเคลือบสารสีขาว ทรงบีที หรือทรงอีลิป
- SBF-PAR: หลอดแก้วเคลือบสาร ทรงสปอร์ทไลท์กระบอกนา

## 2.2 หลอดเคมีตัดออกไซด์ (Metal Halide Lamp)

หลอดเคมีตัดออกไซด์เป็นหลอดปล่อยประจุความร้อนสูง อีกประเภทหนึ่งที่มีโครงสร้างและการทำงานคล้ายกับหลอดแสงจันทร์มาก แต่มีประสิทธิภาพสูงกว่า และให้ความสมดุลของสีดีกว่า หลอดเคมีตัดออกไซด์มีตั้งแต่ขนาด 70 วัตต์ ไปจนถึง 2,000 วัตต์ มีประสิทธิภาพความส่องสว่างอยู่ระหว่าง 60 ถึง 100 ลูเมนต่อวัตต์



ลักษณะภายนอก[5]

โครงสร้างหลอดเคมีทัลชาไอล์ค์ [2]

รูปที่ 2.7 หลอดเคมีทัลชาไอล์ค์

โครงสร้างของหลอดเคมีทัลชาไอล์ค์ จะเห็นได้ว่า มีลักษณะคล้ายคลึงกับหลอดแสงจันทร์มาก แต่ต่างกันตรงที่ว่าภายในหลอดของหลอดเคมีทัลชาไอล์ค์นั้นจะมีprotoและก้านอาร์กอนผสมอยู่แล้ว ยังมีโลหะไอโอดีด เข่น โซเดียมไอโอดีด อินเดียมไอโอดีด ทัลเลียมไอโอดีด เป็นต้น ผสมอยู่อีกด้วย การแตกตัวของโลหะไอโอดีดนี้ จะทำให้เกิดแสงคุณภาพมากขึ้นตามไปด้วย และไม่จำเป็นต้องเคลือบผิวในหลอดแก้ด้วยสารเรืองแสงชนิดใดๆ ทั้งสิ้น อย่างไรก็ตาม อาชญาการใช้งานของหลอดจะอยู่ระหว่าง 6,000 ถึง 15,000 ชั่วโมงเท่านั้น ซึ่งน้อยกว่าหลอดแสงจันทร์ถึงเท่าตัว

จากเหตุผลที่ว่า หลอดเคมีทัลชาไอล์ค์มีประสิทธิภาพสูงกว่าหลอดแสงจันทร์นั้น จึงสามารถลดจำนวนดวงโคมที่ใช้งานได้อีกด้วย ข้อดีอีกประการหนึ่งของหลอดเคมีทัลชาไอล์ค์คือว่า มันจะให้ดันน้ำ ความถูกต้องของสีออกมาก ใกล้เคียงกับแสงธรรมชาตินามาก จึงมีผู้นิยมใช้หลอดแบบนี้ในบริเวณสนามกีฬาที่มักมีการถ่ายทอดสัญญาณ โทรทัศน์ โรงงานอุตสาหกรรม ห้างสรรพสินค้า อยู่เสมอ

### 2.2.1 ลักษณะการทำงานของหลอด

เมื่อป้อนแรงดันไฟฟ้าให้กับหลอดเคมีทัลชาไอล์ค์แล้ว ตัวจุดหลอด (Igniter) จะเป็นตัวสร้างพลังส์ที่มีความดีสูง เพื่อที่จะทำให้บลัตเตอร์สร้างแรงดันสูงไปขึ้นหลอด หากพอที่จะทำให้เกิดไอออนขึ้นระหว่างขั้วของหลอดเคมีทัลชาไอล์ค์ทั้งสองข้าง เป็นช่วงเริ่มต้นของการอุ่นหลอด ซึ่งจะทำให้เกิดการแตกตัวของก๊าซที่บรรจุอยู่ภายในลำ พร้อมกับแพเพลส์งานและรังสีประจารัตว่าออกมานะ ประกอบไปด้วยรังสีที่มีความยาวคลื่นชนิดต่างๆ มากนัก เป็นช่วงที่ตากนเรามองเห็นและเป็นช่วงที่ตากนเรานไม่สามารถมองเห็นได้ หรือแม้กระทั่งมีสีของแสงที่เกิดขึ้นต่างๆ กัน นาพสมกันอย่างได้สัดส่วนพอเหมาะสม จึงเป็นเหตุที่สีที่ปรากฏออกมานากจากหลอดเคมีทัลชาไอล์ค์เป็นแสงสีขาว และให้ความถูกต้องของสีได้สูงกว่าหลอดปล่องประดุจความเข้มสูงชนิดอื่น เมื่อหลอดทำงานแล้ว ตัวจุดหลอดก็จะหมดหน้าที่ไป เหลือแต่บลัตเตอร์ตัวเดียวที่จะทำหน้าที่จำกัดปริมาณกระแสและแรงดันไฟฟ้า ที่ไปตกคร่อมตรงหลอด

เนื่องจากหลอดเคมีทัลชาไอล์ค์มีการเติมสารพวกไอโอดีดเข้าไปในหลอดจึงทำให้มีจุดเดือดที่สูงกว่าอุณหภูมิที่ผนังของกระเบ้าแก้วด้านใน จึงทำให้บางส่วนของสารที่เติมเข้าไปนั้นยังคงกลับตัวอยู่

ในสภาพที่เป็นของแข็งและปริมาณของสารไอโอดีนคงชาตุต่างๆ ในสภาวะที่จะกลายเป็นไออะฤก ควบคุมด้วยอุณหภูมิของจุดเย็นสุดในผนังภายในกระเบ้าแก้วด้านใน ซึ่งเป็นคุณสมบัติของหลอดเมทัลไฮเดรตที่ไม่เหมือนหลอดชนิดอื่น

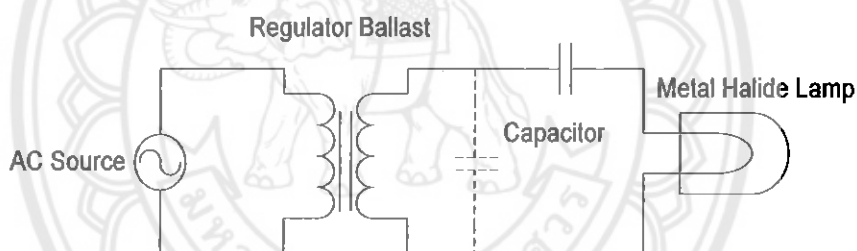
### 2.2.2 บลัลลาสต์ที่ใช้กับหลอดเมทัลไฮเดรต

ในการทำงานของหลอดเมทัลไฮเดรต นอกจากจะมีตัวหลอดประกลบอยู่ในวงจรเพื่อช่วยสร้างพัลส์แล้ว จะต้องมีบลัลลาสต์ประกอบอยู่ในวงจรด้วย จึงทำให้วงจรของหลอดไฟทำงานได้ ซึ่งบลัลลาสต์ที่นิยมใช้กันทั่วไปสำหรับหลอดเมทัลไฮเดรต มีดังนี้

- บลัลลาสต์แบบรักษาแรงดัน (Regulator Ballast)
- บลัลลาสต์แบบล้าหลัง (Lag Ballast)
- บลัลลาสต์แบบนำค่าสูงโดยใช้มือเปล่งขดเดียว (Lead Peak Autotransformer Ballast)
- บลัลลาสต์แบบบดคลัวด์ (Reactor Ballast)

#### บลัลลาสต์แบบรักษาแรงดัน (Regulator Ballast)

เป็นบลัลลาสต์ที่สร้างขึ้นมา มีลักษณะคล้ายกับหน้าจอเปล่งและมีตัวเก็บประจุต่ออนุกรมทางด้านทุติยภูมิของบดคลัวด์ เพื่อรักษาแรงดันไฟฟ้าให้สม่ำเสมอ



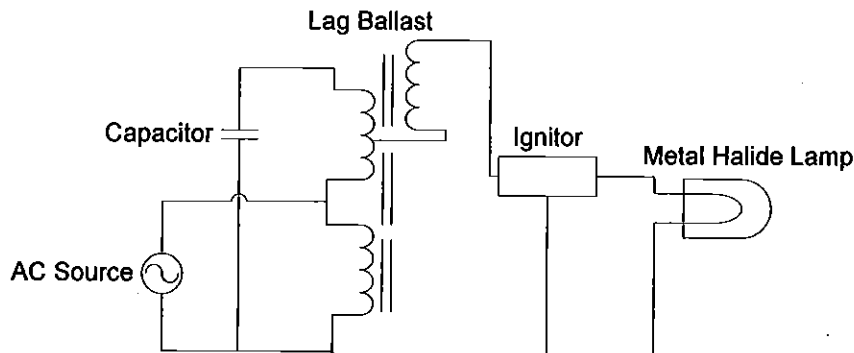
รูปที่ 2.8 วงจรการทำงานของหลอดเมทัลไฮเดรตกับบลัลลาสต์แบบรักษาแรงดัน

#### คุณสมบัติของบลัลลาสต์แบบรักษาแรงดัน (Regulator Ballast)

- สามารถใช้กับระบบไฟฟ้าที่มีแรงดันระหว่างสาย เปลี่ยนแปลงได้  $\pm 10\%$
- สามารถทนกระแสไฟฟ้าได้ถึง 1.8 – 2.0 เท่า
- สามารถใช้กับแรงดันตามมาตรฐานได้กับหลอดเมทัลไฮเดรตได้ทุกชนิด
- หลอดไฟจะต่อวงจรแยกออกจากสายส่ง
- ราคาแพง

#### บลัลลาสต์แบบล้าหลัง (Lag Ballast)

เป็นบลัลลาสต์ที่ถูกสร้างขึ้นโดยมีแนวความคิดที่รวมเอา บลัลลาสต์แบบรักษาแรงดัน กับหน้าจอเปล่งขดเดียว เข้าด้วยกัน เพื่อรักษาแรงดันไฟไว้ให้เปลี่ยนแปลงมากนัก



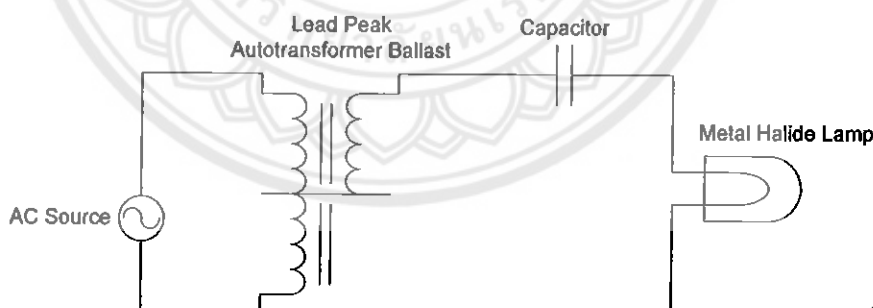
รูปที่ 2.9 วงจรการทำงานของหลอดเมทัลไฮด์กับบลัลลัสต์แบบล้าหลัง

#### คุณสมบัติของบลัลลัสต์แบบล้าหลัง (Lag Ballast)

- สามารถใช้กับระบบไฟฟ้าที่มีแรงดันระหว่างสายเปลี่ยนแปลงได้  $\pm 5\%$
- สามารถทนกระแสไฟฟ้าขั้บกระแสต่ำได้สูง
- มีขนาดใหญ่ น้ำหนักมาก
- หลอดไฟจะต่อวงจรแยกออกจากสายสั่ง
- ราคาแพงกว่าบลัลลัสต์แบบขาด漉ค

#### บลัลลัสต์แบบนำค่าสูงโดยใช้หม้อแปลงทดเดียว (Lead Peak Autotransformer Ballast)

บลัลลัสต์ชนิดนี้มีลักษณะคล้ายกับบลัลลัสต์แบบรักษาระดับแรงดันไฟฟ้า โดยใช้หม้อแปลงทดเดียว (Auto Regulator Ballast) แต่ต่างกันตรงที่บลัลลัสต์แบบนำค่าสูงจะเพิ่มจำนวนขดลวดมากขึ้น เพื่อต่ออนุกรมกับตัวเก็บประจุ เพื่อให้มีการรักษาระดับแรงดันไฟฟ้าได้ดีขึ้น



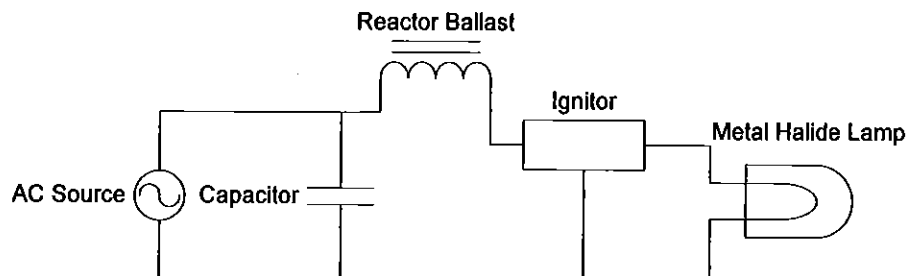
รูปที่ 2.10 วงจรการทำงานของหลอดเมทัลไฮด์กับบลัลลัสต์แบบนำค่าสูงโดยใช้หม้อแปลงทดเดียว

#### คุณสมบัติของบลัลลัสต์แบบนำค่าสูงโดยใช้หม้อแปลงทดเดียว (Lead Peak Autotransformer Ballast)

- สามารถใช้กับระบบไฟฟ้าที่มีแรงดันระหว่างสายเปลี่ยนแปลงได้  $\pm 10\%$
- มีขนาดใหญ่กว่าบลัลลัสต์แบบรักษาระดับแรงดัน (Regulator Ballast)
- สามารถทนกระแสไฟฟ้าขั้บกระแสต่ำ ได้  $1.6 - 1.8$  เท่า
- ราคากลางๆ กับบลัลลัสต์แบบรักษาระดับแรงดัน (Regulator Ballast)

### บัลลาสต์แบบขดลวด (Reactor Ballast)

บัลลาสต์ชนิดนี้มีลักษณะเป็นคöffentของคลื่นพันรอบแกนเหล็ก เพื่อทำให้แรงดันไฟฟ้าสูงขณะเริ่มจุดหลอด ช่วยให้หลอดเมทัลไฮಡริดทำงานได้ดีขึ้น



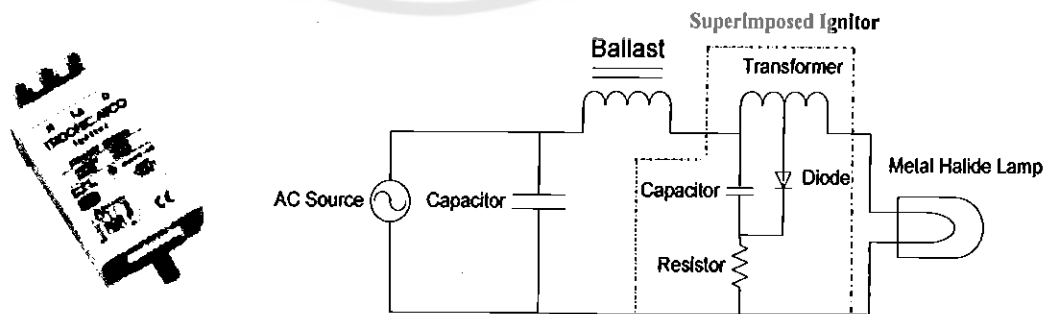
รูปที่ 2.11 วงจรการทำงานของหลอดเมทัลไฮಡริดกับบัลลาสต์แบบขดลวด  
คุณสมบัติของบัลลาสต์แบบขดลวด (Reactor Ballast)

- สามารถใช้กับระบบไฟฟ้าที่มีแรงดันระหว่างสายเปลี่ยนแปลงได้  $\pm 5\%$
- นำหนักเบา ขนาดเล็ก
- ตัวประกอบกำลังต่ำ แต่สามารถแก้ไขได้โดยต่อตัวเก็บประจุนานกับวงจร
- ราคาถูก

### 2.2.3 ตัวจุดหลอด (Igniter)

หลอดเมทัลไฮด์ต้องการแรงดันสูงในการจุดหลอด แรงดันที่ต้องการมีค่าตั้งแต่ 1 ถึง 5 กิโลโวลต์ ดังนั้นจึงต้องมีอุปกรณ์ที่จะสร้างแรงดันสูงเพื่อจุดหลอด อุปกรณ์อิเล็กทรอนิกส์ชนิดนี้มีหน้าที่สร้างพัลส์แรงดันสูง (High Voltage Pulse) เสริมเข้ากับแรงดันไฟฟ้าหลอดของหลอด เพื่อจุดหลอด เมื่อหลอดติดเด้วพัลส์ก็จะหยุด

โดยทั่วไป หลอดเมทัลไฮด์จะใช้ Superimposed Igniter เป็นตัวจุดหลอดที่จะสร้างพัลส์แรงสูงภายในตัวของมันเอง แล้วส่งออกไปเพื่อจุดหลอด



ลักษณะภายนอก [6]

โครงสร้างวงจร

รูปที่ 2.12 Superimposed Igniter

ตารางที่ 2.4 ข้อมูลทั่วไปของหลอดเคมีตั้ง [3]

กำลังไฟฟ้า (W)	ฟลักซ์การส่อง สว่าง (lm)	ข้อว.	ประสิทธิภาพความส่อง สว่าง (lm/W)	อุณหภูมิสี (K)
<b>Single-Ended</b>				
70	5,100	G12	73	4,000
150	11,000	G12	73	4,000
<b>Double-Ended</b>				
70	5,500	Rx75	79	4,200
150	12,000	Rx75	80	4,200
250	20,000	FC2	80	4,200
400	35,000	FC2	88	5,600
1,000	95,000	Cable	95	5,900
2,000	200,000	Cable	103	5,800
<b>Normal Tubular</b>				
250	20,000	E40	80	5,300
400	32,000	E40	80	5,200
1,000	80,000	E40	80	6,000
2,000	180,000	E40	90	6,000

ตารางที่ 2.5 แสศวงคุณสมบัติต่างๆ ของหลอดเคมีตั้ง [3]

กำลังไฟฟ้า (W)	ประเภท	ข้อหลอด และ แรงดัน (V)	อุณหภูมิสี (K)	ดัชนีความถูก ต้องสี (CRI)	ฟลักซ์ความส่อง สว่าง (lm)	กำลังสูญเสีย <sup>*</sup> น็อกาสต์ (W)	อายุการใช้ งาน (ชั่วโมง)
250	M	E40 (220V)	4,200	65	21,500	19	9,000
	M-T		4,200	65	20,000		
	MF		3,800	70	20,000		
	MF-R		3,800	70	13,700		
400	M	E40 (220V)	4,200	65	40,000	25	15,000
	M-T		4,200	65	38,000		
	MF		3,800	70	38,000		
	MF-R		3,800	70	22,000		
1,000	M	E40 (220V)	4,200	65	90,000	46	9,000
	M-T		4,200	65	85,000		
	MF		3,800	70	87,000		
2,000	M	E40 (380V)	4,200	65	185,000	52	6,000
	M-T		4,200	65	180,000		
	MF		3,800	70	180,000		

ตารางที่ 2.6 แสดงคุณสมบัติต่างๆ ของหลอดเมทัลฮาโลเด้แบบใช้น้ำยาสต์ของหลอดแสงจันทร์ [3]

กำลังไฟฟ้า (W)	ประเภท	ขั้วหลอด และ แรงดัน (V)	อุณหภูมิสี (K)	ดัชนีความถูกต้องสี (CRI)	ฟลักช์ความส่องสว่าง (lm)	กำลังสูญเสีย น้ำยาสต์ (W)	อายุการใช้งาน (ชั่วโมง)
125	M MF	E27 (220V)	4,200 3,800	65 70	9,000 8,500	14	6,000
250	M	E40 (220V)	4,200	65	21,500		
	MX-T		6,500	90	18,200		
	MF		3,800	70	20,000	18	9,000
	MFX		6,500	90	14,500		
400	M	E40 (220V)	4,200	65	40,000		
	MX-T		6,500	90	32,000		
	MF		3,800	70	38,000	22	9,000
	MFX		6,500	90	24,500		
1,000	M	E40 (220V)	4,200	65	90,000		
	MF		3,800	65	87,000	45	9,000

#### หมายเหตุ

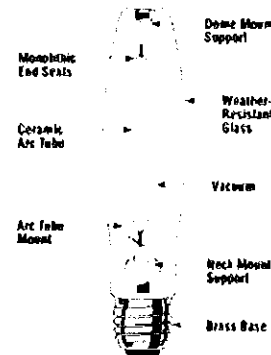
- M : หลอดแก๊ส ทรงบีที่ หรือทรงอิลิป
- MF : หลอดแก๊สเคลือบสาร ทรงบีที่ หรือทรงอิลิป
- MX-T : หลอดแก๊ส ปรับปุ่มที่ศูนย์ ทรงหลอดแก๊สบخار
- MFX : หลอดแก๊สเคลือบสาร ปรับปุ่มที่พิเศษ ทรงบีที่ หรือทรงอิลิป
- M-T : หลอดแก๊ส ทรงหลอดบخار
- MF-R : หลอดแก๊สเคลือบสาร ทรงสปอร์ตไลท์
- MF : หลอดแก๊สเคลือบสาร ทรงบีที่ หรือทรงอิลิป

### 2.3 หลอดโซเดียมความดันสูง (High Pressure Sodium Lamp)

หลอดโซเดียมความดันสูง เป็นหลอดที่มีประสิทธิภาพสูงที่สุด ในบรรดาหลอดปล่อยประจุความเข้มสูงคู่บกน มีอายุการใช้งานยาวนาน ให้แสงสีทอง-เหลือง ปัจจุบันหลอดโซเดียมความดันสูงสามารถมีประสิทธิภาพถึง 157 ลumenต่อวัตต์ แต่ให้ความถูกต้องของสีไม่ดี จึงเหมาะสมกับที่ต้องการเพียงแสงสว่าง แต่ไม่คำนึงถึงความถูกต้องสี นิยมใช้ส่องสว่างเป็นไฟในโรงงาน ไฟถนน เป็นต้น หลอดโซเดียมความดันสูงจะมีประสิทธิภาพสูงกว่าหลอดเมทัลฮาโลเด้และหลอดฟลูออเรสเซนต์ถึง 50% และมีประสิทธิภาพสูงกว่าหลอดแสงจันทร์ถึงเท่าตัว และยังสูงกว่าหลอดไส้ 6 เท่า อายุการใช้งาน 18,000 – 24,000 ชั่วโมง



ลักษณะภายนอก [7]



โครงสร้าง [8]

### รูปที่ 2.13 หลอดไฟเดี่ยมความดันสูง

โครงสร้างและการทำงานของหลอดไฟเดี่ยมความดันสูงจะแตกต่างจากหลอด HID แบบอื่นๆ กัน很多 หลอดของมันจะทำด้วยเซรามิก (Polycrystalline Translucent Alumina) ทั้งนี้เนื่องจากขณะที่ หลอดทำงาน ความร้อนและความดันจากการขยายประจุของไฟเดี่ยมจะสูงมาก นอกจากนี้ภายในหลอด จะประกอบด้วยก๊าซชีน่อน proto และไฟเดี่ยมปั่นอยู่ แต่จะไม่มีสตาร์ทติ้งอิเล็กโทรด และ สตาร์ทติ้งรีซิสเตอร์อยู่เลย

#### 2.3.1 ลักษณะการทำงานของหลอดไฟเดี่ยมความดันสูง

เมื่อจ่ายแรงดันไฟฟ้าให้กับวงจรของหลอดไฟเดี่ยมความดันสูงแล้ว ตัวจุดหลอดจะเป็นตัวสร้างพลาสต์ที่มีความดีสูง เพื่อที่จะทำให้บลัตเตอร์สร้างแรงดันไฟฟ้าสูง เพื่อไปใช้ในการจุดหลอด ซึ่ง แรงดันไฟฟ้าที่สร้างขึ้นมาในค่าประมาณ 2,500 – 3,000 โวลต์ แต่จะเกิดขึ้นในระยะเวลาสั้นๆ และ ระหว่างเวลาที่ต้องการจะติดต่อ ขณะเดียวกันระหว่างปลาบทั้งสองข้างของอิเล็กโทรด ก๊าซชีน่อนก็จะเริ่ม แตกตัวทำให้ความร้อนและความดันภายในหลอดสูงขึ้นเรื่อยๆ ความร้อนที่เกิดขึ้นภายในหลอดอาร์กนิ จะทำให้ก๊าซไฟเดี่ยมและprotoเกิดการแตกตัวตาม ซึ่งจะทำให้แสงเริ่มสว่างขึ้นเรื่อยๆ จนกระทั่งสว่าง จัดในที่สุด แต่ในขณะที่เริ่มจุดหลอด กระแสจะไหลหนืดมาก เพราะค่าความต้านทานภายในหลอดชั้นนี้ ค่าสูงอยู่ แต่พอก๊าซเดี่ยมเริ่มแตกตัว จะทำให้ความร้อนภายในหลอดสูงขึ้นเรื่อยๆ ความต้านทานภายใน หลอดอาร์กนิจะลดลง และทำให้กระแสไฟฟ้าไหลได้มากขึ้น เป็นเหตุให้แรงดันไฟฟ้าที่ติดต่ออยู่ในหลอดลดลง และกลับเข้าสู่สภาพปกติที่ออกแนวไว้ กระแสไฟฟ้าที่ไหลผ่านหลอดก็จะคงที่ ในขณะที่ก๊าซ เดี่ยมเริ่มแตกตัว ถ้าสังเกตที่หลอดก็จะเห็นเป็นสีแดง เมื่อความร้อนมีปริมาณเพิ่มขึ้นก็จะทำให้ก๊าซไฟเดี่ยมที่เกิดการแตกตัวก็จะให้แสงสีเหลืองออกมานะ ซึ่งคุณสมบัติของ proto ก็คือ เมื่อแตกตัวจะให้ แสงสีคล้ายกับสีในตอนกลางวัน จึงเป็นเหตุให้หลอดไฟเดี่ยมความดันสูงมีสีค่อนข้างเหลืองจ้า

สีของหลอดไฟเดี่ยมความดันสูงจะเปลี่ยนทำงานจะเห็นได้ว่า ระบบแรกหลอดจะให้สีออกน้ำ เป็นสีน้ำเงินขาว เนื่องจากการแตกตัวของก๊าซชีน่อนและproto อีกเพียงชั่วครู่หนึ่ง สีของแสงจะเริ่ม เปลี่ยนเป็นแสงสีเหลือง คล้ายๆ กับสีของหลอดไฟเดี่ยมความดันต่ำ แล้วจะค่อยๆ สว่างขึ้นเรื่อยๆ

จนกระทั่งหลอดสว่างเติบโต ขณะนี้สีของแสงจะดูคล้ำกับสีของหลอดฟลูออเรสเซนต์ชนิดอวบน้ำที่แต่เดิมค่อนข้างบุ่นกว่า ระยะเวลาช่วงนี้จะกินเวลาประมาณ 3-4 นาที

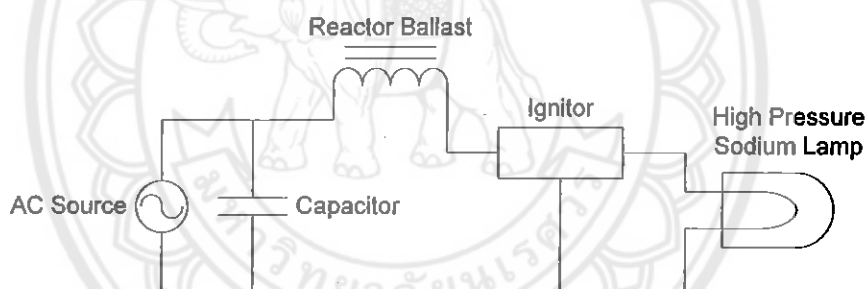
### 2.3.2 บัลลัสต์ที่ใช้กับหลอดไฟเดี่ยมความดันสูง

ในการทำงานของหลอดไฟเดี่ยมความดันสูง นอกจากจะมีตัวจุดหลอดประgonอยู่ในวงจรเพื่อช่วยสร้างพลังส์แล้ว จะต้องมีบัลลัสต์ประgonอยู่ในวงจรด้วย จึงทำให้วงจรของหลอดไฟทำงานได้ ซึ่งบัลลัสต์ที่นิยมใช้กันทั่วไปสำหรับหลอดไฟเดี่ยมความดันสูง มีดังนี้

- บัลลัสต์แบบบัดลัด (Reactor Ballast)
- บัลลัสต์แบบรักษาแรงดันไฟฟ้า (Regulator Ballast)
  - บัลลัสต์แบบรักษาแรงดันไฟฟ้าแบบใช้มือเปล่งขดเดียว (Auto Regulator Ballast)
  - บัลลัสต์แบบรักษาแรงดันไฟฟ้าด้วยแม่เหล็ก

#### บัลลัสต์แบบบัดลัด (Reactor Ballast)

บัลลัสต์ชนิดนี้มีลักษณะธรรมชาติ ที่มีใช้อยู่ปัจจุบัน ก็คือ เอกลักษณ์พันรอบแกนเหล็กที่เป็นแผ่นบางๆ หลายๆ แผ่นเรียงชั้อนกันอยู่



รูปที่ 2.14 วงจรการทำงานของหลอดไฟเดี่ยมความดันสูงกับบัลลัสต์แบบบัดลัด

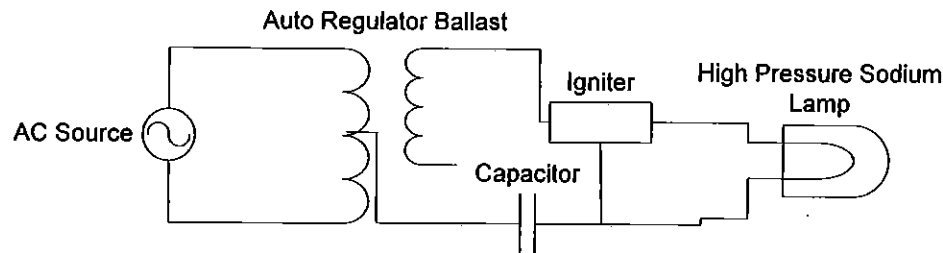
#### คุณสมบัติของบัลลัสต์แบบบัดลัด (Reactor Ballast)

- สามารถใช้ได้กับระบบไฟฟ้าที่มีแรงดันระหว่างสายเปลี่ยนแปลงไม่เกิน  $\pm 5\%$
- ค่าตัวประgonกำลังต่ำ แต่แก้ไขได้ด้วยการต่อตัวเก็บประจุขนาดใหญ่กับวงจร
- ราคาถูก น้ำหนักเบา

#### บัลลัสต์แบบรักษาแรงดันไฟฟ้า (Regulator Ballast)

- บัลลัสต์แบบรักษาแรงดันไฟฟ้าแบบใช้มือเปล่งขดเดียว (Auto Regulator Ballast)

เป็นบัลลัสต์ที่สร้างขึ้นมาโดยอาศัยหลักการของมน้อเปล่งขดเดียว เพื่อให้บัลลัสต์รักษาแรงดันแรงดันคงคร่องหลอดให้มีการเปลี่ยนแปลงน้อยที่สุด



รูปที่ 2.15 วงจรการทำงานของหลอดไฟเดิมความดันสูงกับบลล่าสต์แบบรักษาระดับแรงดันไฟฟ้าแบบใช้หน้อแปลงขดเดียว

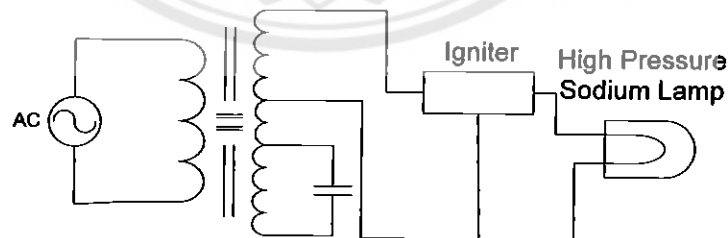
คุณสมบัติของบลล่าสต์แบบรักษาระดับแรงดันไฟฟ้าแบบใช้หน้อแปลงขดเดียว

- สามารถใช้ได้กับระบบไฟฟ้าที่มีแรงดันระหว่างสายเปลี่ยนแปลงไม่เกิน  $\pm 10\%$
- มีความเสี่ยงและสูญเสียน้อยกว่า บลล่าสต์แบบรักษาระดับแรงดันไฟฟ้าธรรมชาติ แต่นักกว่าบลล่าสต์แบบขดลวต
- หลอดไฟจะต้องแยกออกจากระบบสายส่ง
- มีขนาดเล็กและเบากว่า บลล่าสต์แบบรักษาระดับแรงดันไฟฟ้าธรรมชาติ แต่ใหญ่กว่าบลล่าสต์แบบขดลวต

#### บลล่าสต์แบบรักษาระดับแรงดันไฟฟ้าด้วยแม่เหล็ก

บลล่าสต์ชนิดนี้จะประกอบด้วยขดลวต 3 ชุด แยกออกจากกัน คือ ขดลวตปฐมภูมิ 1 ชุด และขดลวตทุติภูมิอีก 2 ชุด โดยที่ขดลวตทุติภูมิขึ้นเรื่อยๆ ตามที่ต้องการ จึงต้องเข้ากับหลอดไฟตัวเดียวเท่านั้น เพื่อทำให้หลอดไฟฟ้าส่องสว่างได้ดีที่สุด ขดลวตทุติภูมิจะต้องเข้ากับขดลวตปฐมภูมิ แล้วขดลวตทางด้านทุติภูมินี้จะทำงานอยู่ในช่วงแกนเหล็กที่มีสภาพแม่เหล็กอ่อนตัวอีกด้วย

#### บลล่าสต์แบบรักษาระดับแรงดันไฟฟ้าด้วยแม่เหล็ก



รูปที่ 2.16 วงจรการทำงานของหลอดไฟเดิมความดันสูงกับบลล่าสต์แบบรักษาระดับแรงดันไฟฟ้าด้วยแม่เหล็ก

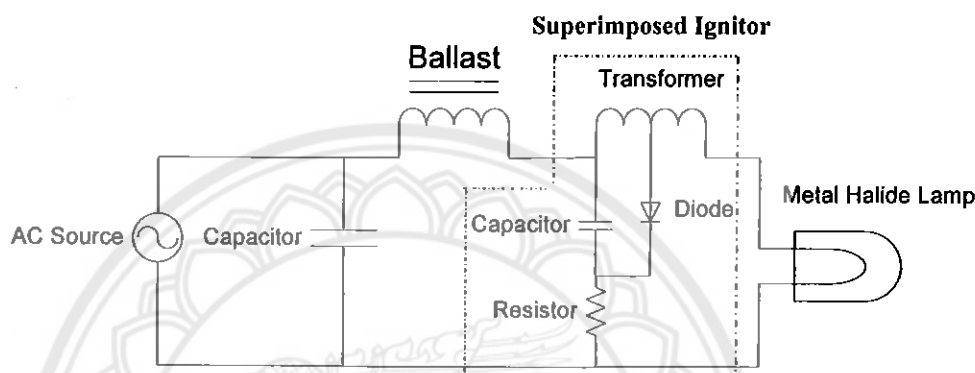
คุณสมบัติของบลล่าสต์แบบรักษาระดับแรงดันไฟฟ้าด้วยแม่เหล็ก

- สามารถใช้ได้กับระบบไฟฟ้าที่มีแรงดันระหว่างสายเปลี่ยนแปลงไม่เกิน  $\pm 10\%$
- มีขนาดใหญ่ น้ำหนักมาก
- ราคาแพง

### 2.3.3 ตัวจุดหลอด (Igniter)

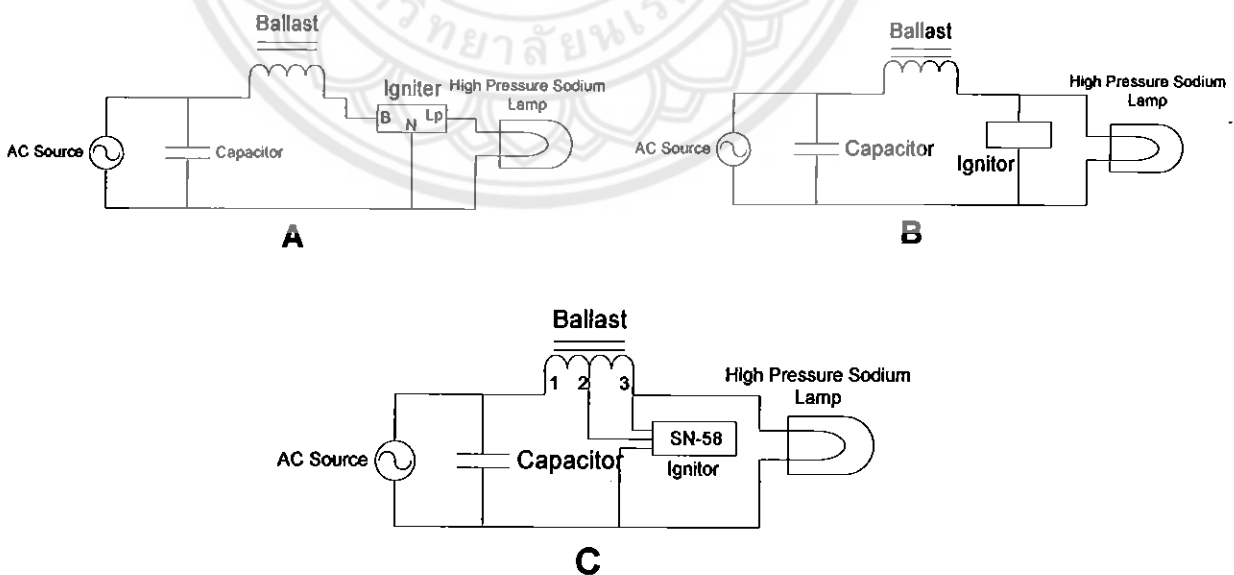
หลอดใช้เดิมความดันสูงต้องการแรงดันสูงในการจุดหลอด แรงดันที่ต้องการมีค่าตั้งแต่ 1 ถึง 5 กิโลโวลต์ ดังนั้นจึงต้องมีอุปกรณ์ที่จะสร้างแรงดันสูงเพื่อจุดหลอด อุปกรณ์อิเล็กทรอนิกส์ชนิดนี้มีหน้าที่สร้างพัลส์แรงดันสูง (High Voltage Pulse) เสริมเข้ากับแรงดันไฟฟ้าหลอดของหลอด เพื่อจุดหลอด เมื่อหลอดติดแล้วพัลส์ก็จะหยุด ซึ่งตัวจุดหลอดที่นิยมใช้กับหลอดใช้เดิมความดันสูงมีอยู่ 2 ชนิด คือ

- Superimposed Igniter ตัวจุดหลอดประเภทนี้จะสร้างพัลส์แรงดันสูงภายในตัวของมันเอง แล้วส่งออกไปเพื่อจุดหลอด มีวงจรการทำงาน ดังรูปที่ 2.19



รูปที่ 2.17 ลักษณะวงจรของ Superimposed Igniter

- Pulse Igniter จะใช้บัดคลาสต์ทำหน้าที่คล้ายหน้าแปลงข้าม เพื่อสร้างพัลส์ ในการจุดหลอดดังนี้บัดคลาสต์จะต้องทนพัลส์แรงดันสูงได้ ระบบนี้ตัวจุดหลอดสามารถดัดตัวเองแยกออกจากวงจรได้



รูปที่ 2.18 ลักษณะวงจรของ Pulse Igniter ทั้งสามแบบ

ตารางที่ 2.7 ข้อมูลทั่วไปของหลอดโซเดียมความดันสูง [3]

กำลังไฟฟ้า (W)	ฟลักซ์การส่อง สว่าง (lm)	ขั้ว	ประสิทธิภาพความส่อง สว่าง (lm/W)	อุณหภูมิสี (K)
<b>Standard</b>				
70	3,500	E27	70	2,000
50	5,600	E27	80	2,000
150	14,000	E40	93	2,000
250	25,000	E40	100	2,000
400	47,000	E40	118	2,000
1,000	128,000	E40	128	2,000
<b>Super High Efficacy</b>				
50	4,400	E27	81	2,000
70	6,500	E27	93	2,000
100	10,000	E40	100	2,000
150	17,500	E40	113	2,000
250	33,000	E40	127	2,000
400	55,500	E40	135	2,000
<b>HPM Ballast</b>				
110	8,000	E40	73	2,000
220	20,000	E40	91	1,950
350	34,500	E40	99	1,950
<b>Deluxe</b>				
150	12,000	E40	80	2,200
250	22,000	E40	88	2,200
400	39,000	E40	101	2,200

ตารางที่ 2.8 แสดงคุณสมบัติต่างๆ ของหลอดไฟเดี่ยมความดันสูง [3]

กำลังไฟฟ้า (W)	ประเภท	ขั้วหลอด และ แรงดัน (V)	อุณหภูมิสี (K)	ดัชนีความถูก ต้องสี (CRI)	ฟลักซ์ความ สว่าง(lm)	กำลังสูญเสีย <sup>*</sup> บัลล่าสต์ (W)	อายุการใช้ งาน (ชั่วโมง)
250	SON	E40 (220V)	2,100	25	25,800	24	24,000
	SON/DX		2,500	85	12,800		9,000
	SON-T		2,100	25	27,000		24,000
	SON-R		2,100	25	19,800		24,000
	SON/DX-R		2,500	85	9,500		9,000
	SON-G		2,100	25	25,800		24,000
400	SON	E40 (220V)	2,100	25	47,000	31	24,000
	SON/DX		2,500	85	23,000		9,000
	SON-T		2,100	25	47,000		24,000
	SON-R		2,100	25	33,600		24,000
	SON/DX-R		2,500	85	18,000		9,000
1,000	SON	E40 (220V)	2,100	25	120,000	55	24,000
	SON-T		2,100	25	125,000		

#### หมายเหตุ

- SON: หลอดแก้วเคลือบสาร ทรงบีที่ หรือทรงอีลิป
- SON/G: หลอดแก้วเคลือบสาร ทรงกลม
- SON/DX: หลอดแก้วใส ปรับปุ่งพีเพน ทรงบีที่ หรือทรงอีลิป
- SON-T: หลอดแก้วใส ทรงหมุดขาว
- SON-R: หลอดแก้วเคลือบสาร ทรงสปอร์ตไลท์
- SON/DX-R: หลอดแก้วเคลือบสาร ปรับปุ่งพีเพน ทรงสปอร์ตไลท์

ตารางที่ 2.9 แสดงคุณสมบัติต่างๆ ของหลอดไฟเดี่ยมความดันสูงแบบพิเศษ  
ชนิดใช้กับบลัลลาสต์ของหลอดแสงจันทร์ [3]

กำลังไฟฟ้า (W)	ประเภท	ขั้วหลอด และ แรงดัน (V)	อุณหภูมิสี (K)	ดัชนีความถูกต้องสี (CRI)	ฟลักช์ความส่องสว่าง (lm)	กำลังสูญเสียบลัลลาสต์ (W)	อายุการใช้งาน (ชั่วโมง)
75	SONX	E27 (220V)	2,100	25	6,200	10	20,000
110	SONX SONX-R	E40 (220V)	2,100 2,100	25 25	11,000 7,400	14	24,000
220	SONX SONX/DX SONX-T SONX-R SONX/DX-R	E40 (220V)	2,100 2,150 2,100 2,100 2,150	25 60 25 25 60	26,500 19,000 28,000 20,000 14,500	18	24,000
360	SONX SONX/DX SONX-T SONX-R SONX/DX-R	E40 (220V)	2,100 2,150 2,100 2,100 2,150	25 60 25 25 60	47,500 36,000 50,000 36,000 27,000	22	24,000
940	SONX SONX-T	E40 (220V)	2,100 2,100	25 25	141,000 148,000	45	24,000

#### หมายเหตุ

- SONX: หลอดแก้วเคลือบสาร ทรงบีที่ หรือทรงอิลิป
- SONX-T: หลอดแก้วใส ทรงหลอดขาว
- SONX/DX: หลอดแก้วใส ปรับปรุงพิเศษ ทรงบีที่ หรือทรงอิลิป
- SONX-G: หลอดแก้วเคลือบสาร ทรงกลม
- SONX-R: หลอดแก้วเคลือบสาร ทรงสปอร์ตໄลท์
- SONX/DX-R: หลอดแก้วเคลือบสาร ปรับปรุงพิเศษ ทรงสปอร์ตໄลท์

## 2.4 โคมไฟที่ใช้กับหลอดปล่อยประจุความเข้มสูง

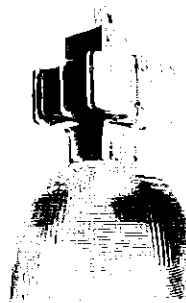
โคมไฟประเภทนี้โดยส่วนมากจะมีตัวสะท้อนแสงเป็นแบบอลูминิเนียม (Aluminum Reflector) หรือ ตัวหักเหแสงพลาสติก (Plastic Reflector) อาจจะมีเลนส์ ปิดหน้าหลอดคึ้นได้ ทั้งหมดขึ้นอยู่กับการใช้งานในแต่ละอุตสาหกรรม ความสูง การกระจายแสงของโคมไฟที่ต้องการ ซึ่งการกระจายแสงของโคมไฟมี 2 ลักษณะดังนี้

### 2.4.1 โคมไอลาย (High bay)

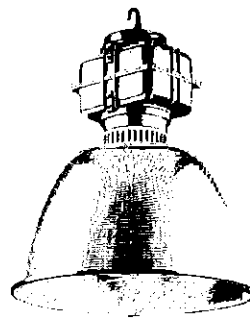
โคมประเภทนี้จะติดตั้งในที่มีความสูงจากพื้นตั้งแต่ 7 เมตรขึ้นไป ส่วนมากจะเป็นหลอดปล่อยประจุความเข้มสูงและมีแผ่นสะท้อนแสงเป็นชุดประกอบภายในโคม

i7194973

2  
08856  
1552



## ชนิดไม่มีฝาครอบ [9]



ชนิดมีฝาครอบ [10]

### รูปที่ 2.21 โคมไอล์บี

#### 2.4.2 ໂຄມໂລເບຍໍ (Low Bay)

โภณประเกคนี้หมายความว่าสำหรับการติดตั้งที่ความสูงระดับ 4-7 เมตร และให้ล้ำแสงที่กว้าง



## ชาร์ลจ์เจอร์โลเบย์ [11]



พีกเจอร์โลเบย์ [12]

### รูปที่ 2.22 โคม โลเบล

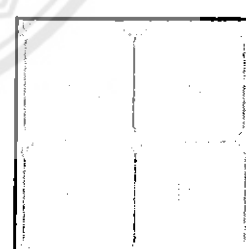
นอกจากนี้ โภณคั่งกล่าวจะมีรูปแบบแสงต่างๆ เช่น วงกลม หรือ สี่เหลี่ยม เป็นต้น ซึ่งลักษณะรูปแบบของโภณจะเป็นคั่งนี้



สว่างไม่สม่ำเสมอ



สว่างสม์เรือน



สวัสดีปีใหม่

รูปที่ 2.23 รูปแบบแสงที่ออกมานอกโคม [13]

โคงที่ให้แสงแบบกระจายแสงเป็นวงกลมนี้ หมายความว่าใช้ในพื้นที่ที่ไม่กว้างมาก หรือพื้นที่ที่ไม่พอดีพอดันกับความสูงของแสง ส่วนโคงที่ให้แสงกระจายเป็นสี่เหลี่ยม หมายความว่ารับใช้ในพื้นที่ที่กว้างและต้องการความสูงของแสงโดยทั่วพื้นที่ ซึ่งจะทำให้สามารถประยุกต์โคงไฟและจำนวนหลอดได้ดีกว่า การเลือกโคงไฟแบบกระจายแสง การเลือกใช้กำลังไฟฟ้าของหลอดนั้นจะต้องคำนึงถึง ความสูงในการติดตั้งด้วย

### บทที่ 3

## ขั้นตอนการศึกษาและการดำเนินงาน

ในการศึกษาผลกระทบของการใช้หลอดปล่อยประจุความเข้มสูง เพื่อศึกษาถึง ช่วงเวลาอุ่นหลอดจนถึงช่วงเวลาคงที่ของ แรงดัน กระแส และความส่องสว่างของหลอดปล่อยประจุความเข้มสูงแต่ละชนิด และทดสอบการเปลี่ยนแปลงของกระแสและแรงดันของวงจรที่อุณหภูมิต่างๆ เทียบกับเวลา

1. เตรียมอุปกรณ์ พร้อมกับต่อวงจร
2. เตรียมเครื่องมือวัด วางแผนจุดที่วัด
3. ต่อแหล่งจ่ายแรงดันเข้ากับวงจร
4. วัดผลการทดลอง บันทึกผล

### 3.1 อุปกรณ์ที่ใช้

- หลอดแสงจันทร์ ขนาด 250 วัตต์ (HPL-N250W)
- หลอดเมทัลไฮดีค ขนาด 250 วัตต์ (ARC250/T/H/960/E40)
- หลอดโซเดียมความคันสูง ขนาด 150 วัตต์ (SON-T 150W)
- บัลลาสต์สำหรับหลอดแสงจันทร์ (GATA220V/400W/3A)
- บัลลาสต์สำหรับหลอดเมทัลไฮดีหรือหลอดโซเดียมความคันสูง (GATA220V/250W/3A)
- ตัวเก็บประจุสำหรับหลอดปล่อยประจุความเข้มสูง (250V/22μF)
- มัลติมิเตอร์
- เทอร์โมมิเตอร์
- เครื่องวัดแสง
- สายไฟ
- เชิงไม

### 3.2 ขั้นตอนการทดลอง

- ต่อวงจรของหลอดปล่อยประจุความเข้มสูงทั้ง 3 ชนิด
- ต่อแหล่งจ่ายแรงดันเข้ากับวงจรหลอดไฟแต่ละชนิด วัดกระแสและแรงดันเทียบกับเวลา บันทึกผล
- นำหลอดปล่อยประจุความเข้มสูงทั้งสามชนิดมาจุดหลอด ในอุณหภูมิที่แตกต่างกัน ได้แก่ 15°C, 20°C, 25°C, 30°C และ 35°C แล้ววัดค่ากระแสและแรงดันเทียบกับเวลา บันทึกผล

- ต่อแหล่งจ่ายแรงดันเข้ากับวงจรหลอดไฟแต่ละชนิด วัดค่าความส่องสว่างเทียบกับเวลาบันทึกผล
- นำแผนภูมิที่ได้จากผลการทดลองมาวิเคราะห์ผลกระบวนการใช้งาน

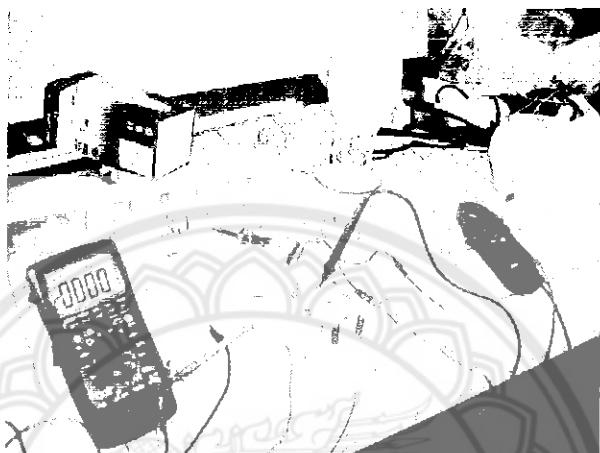


## บทที่ 4

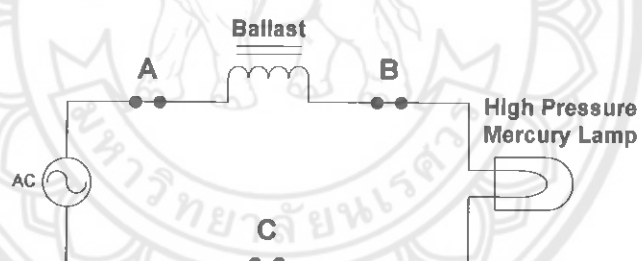
### ผลการทดลอง

#### 4.1 ผลการทดลองวัดแรงดันและกระแส

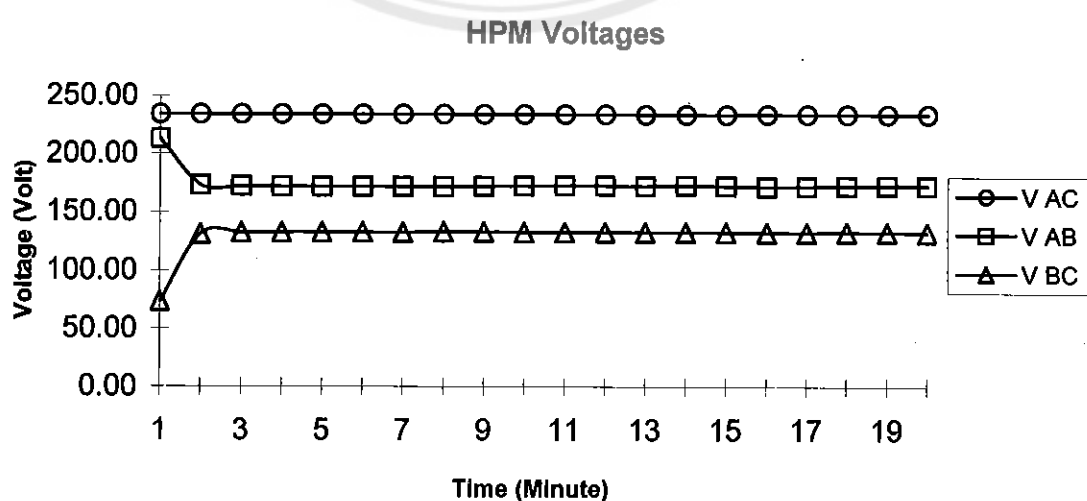
##### 4.1.1 หลอดแสงจันทร์



รูปที่ 4.1 วงจรหลอดแสงจันทร์ที่ใช้ในการทดลอง

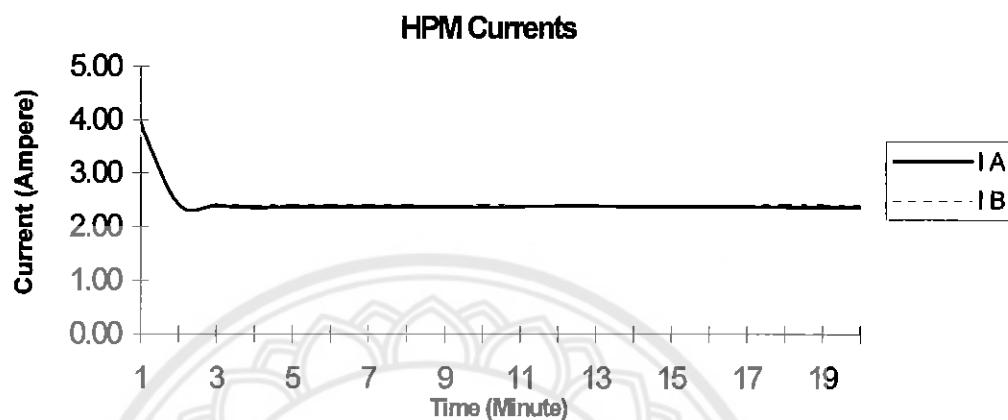


รูปที่ 4.2 วงจรหลอดแสงจันทร์



รูปที่ 4.3 แผนภูมิแสดงผลการวัดแรงดันของวงจรหลอดแสงจันทร์

จากรูปที่ 4.3 จะเห็นว่าแรงดันที่จ่ายให้กับวงจร ( $V_{AC}$ ) คงที่อยู่ที่ประมาณ 234 โวลต์ตลอดเวลา ส่วนแรงดันที่ต่อกรุ่นบลัคคลาสต์ ( $V_{AB}$ ) จะมีค่าสูงขณะเริ่มนิจฉุดหลอด แล้วลดลงเรื่อยๆ จนถึงประมาณ 172 โวลต์ ที่เวลา 3 นาที เป็นต้นไป และแรงดันที่ต่อกรุ่นหลอด ( $V_{BC}$ ) จะมีค่าเพิ่มขึ้นเรื่อยๆ จนถึงเวลาประมาณ 3 นาทีแล้วจึงคงที่ที่ประมาณ 132.5 โวลต์



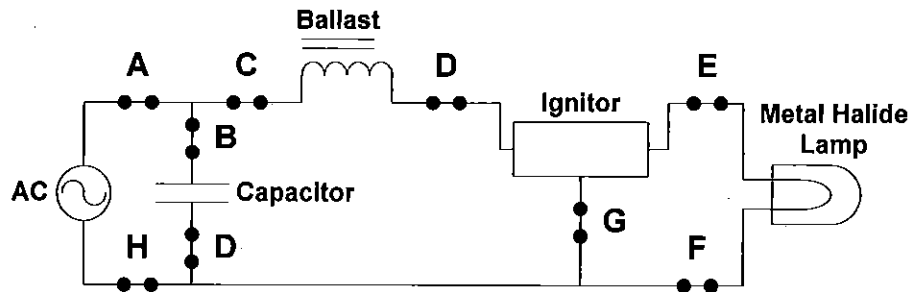
รูปที่ 4.4 แผนภูมิแสดงผลการวัดกระแสของวงจรหลอดแสงจันทร์

จากรูปที่ 4.4 จะเห็นว่า กระแสที่ไนลอนเข้าบลัคคลาสต์ ( $I_A$ ) และ กระแสที่ไนลอนเข้าหลอดไฟ ( $I_B$ ) จะมีค่าสูงขณะเริ่มนิจฉุดหลอด แล้วค่อยๆ ลดลงเรื่อยๆ จนกระทั่งเวลาประมาณ 3 นาที กระแสสิ่งเริ่นคงที่อยู่ที่ประมาณ 2.4 แอมป์

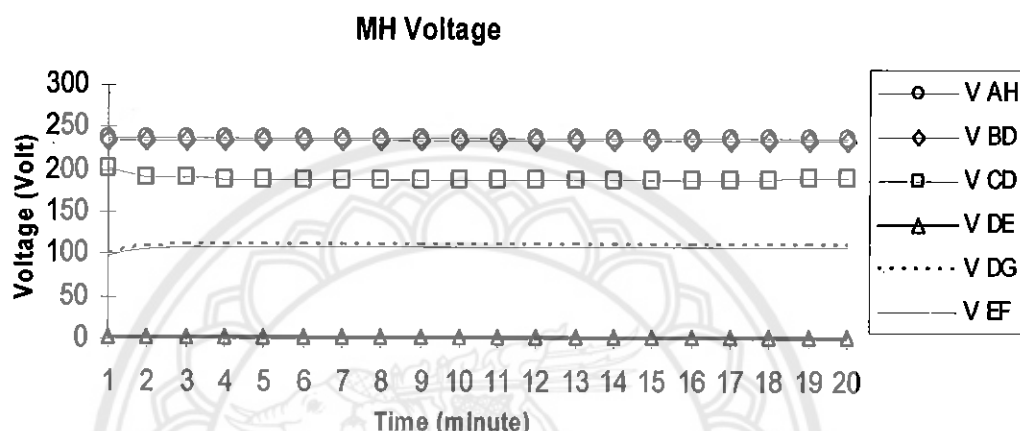
#### 4.1.2 หลอดเมทัลฮาลิด



รูปที่ 4.5 วงจรหลอดเมทัลฮาลิดที่ใช้ในการทดลอง

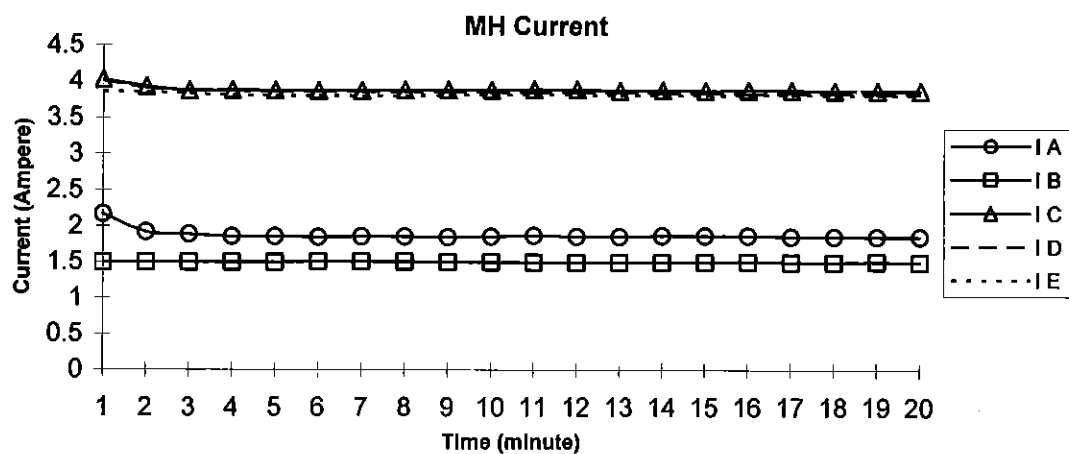


รูปที่ 4.6 วงจรหลอดเมทัลไฮเดอไรด์



รูปที่ 4.7 แผนภูมิแสดงผลการวัดแรงดันของวงจรหลอดเมทัลไฮเดอไรด์

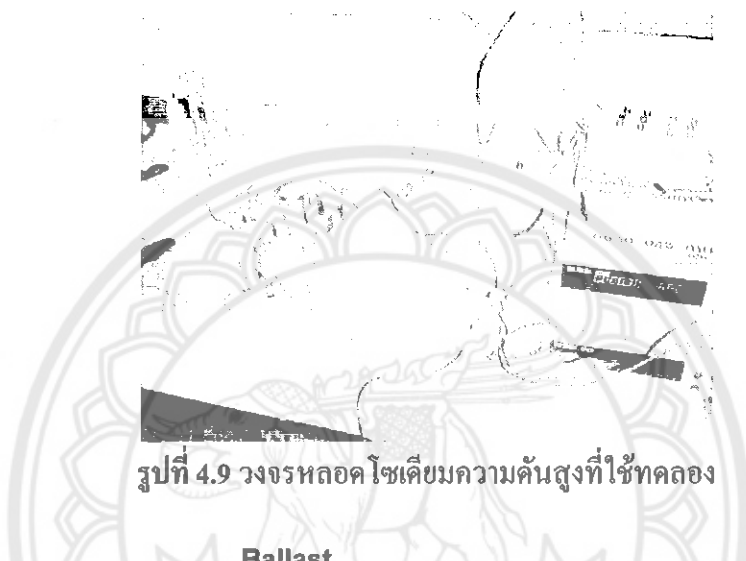
จากรูปที่ 4.7 จะเห็นว่าแรงดันที่จ่ายให้กับวงจร ( $V_{AH}$ ) กับแรงดันที่ต่อกร่องตัวเก็บประจุ ( $V_{BD}$ ) มีค่าใกล้เคียงกันและคงที่ตลอด ส่วนแรงดันที่ต่อกร่องบัดลาสต์ ( $V_{CD}$ ) จะมีค่าสูงขณะเริ่มขุดหลอด แล้วลดลงเรื่อยๆ จนกระทั่งเวลาประมาณ 4 นาที กระแสถึงเริ่มคงที่ อยู่ที่ประมาณ 189 โวลต์ และแรงดันที่ต่อกร่องตัวขุดหลอด ( $V_{DE}$ ) มีค่าคงที่และน้อยมากประมาณ 3 โวลต์ แรงดันที่ต่อกร่องหลอด ( $V_{EF}$ ) มีค่าเริ่มต้นที่ 3.86 แอมเปอร์ที่นาทีแรก และจะค่อยๆ เพิ่มขึ้นจนถึงเวลาประมาณ 5 นาที จึงจะคงที่ ประมาณ 190 โวลต์ ส่วน  $V_{DG}$  เป็นแรงดันที่ต่อกร่องตัวขุดหลอดและหลอดเมทัลไฮเดอไรด์



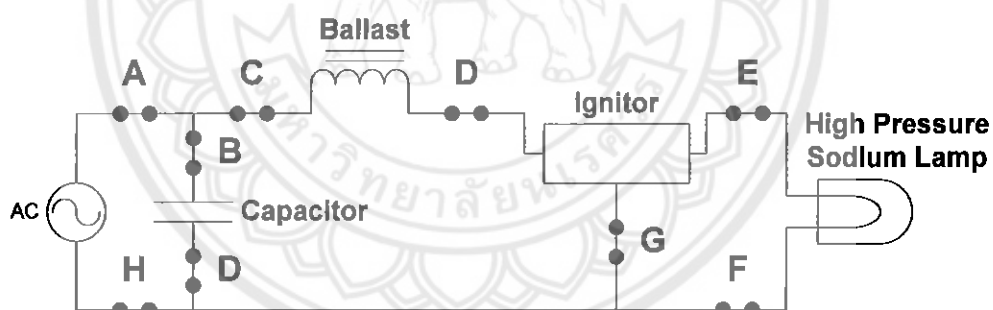
รูปที่ 4.8 แผนภูมิแสดงผลการวัดกระแสของวงจรหลอดเมทัลไฮเดอไรด์

จากรูปที่ 4.8 จะเห็นว่า กระแสที่ไฟลเข้าวงจร ( $I_A$ ) จะมีค่า 4.1 แอมเปอร์ที่นาทีแรก แล้วค่อยๆ ลดลงและคงที่ประมาณ 3.8 แอมเปอร์ กระแสที่ไฟลเข้าตัวเก็บประจุ ( $I_B$ ) จะคงที่อยู่ที่ประมาณ 1.5 แอมเปอร์ ส่วนกระแสที่ไฟลเข้าบลัลลาสต์ ( $I_C$ ) และกระแสที่ไฟลเข้าตัวจุด放電 ( $I_D$ ) จะมีค่า 4.0 แอมเปอร์ที่นาทีแรก แล้วค่อยๆ ลดลงจนคงที่ที่ประมาณ 3.8 แอมเปอร์ กระแสที่ไฟลเข้าหลอดไฟ ( $I_E$ ) จะมีค่า 3.8 แอมเปอร์ที่นาทีเริ่มต้น ลดลงเรื่อยๆ จนถึงนาทีที่ 4 จะคงที่อยู่ที่ 3.81 แอมเปอร์ ตลอด

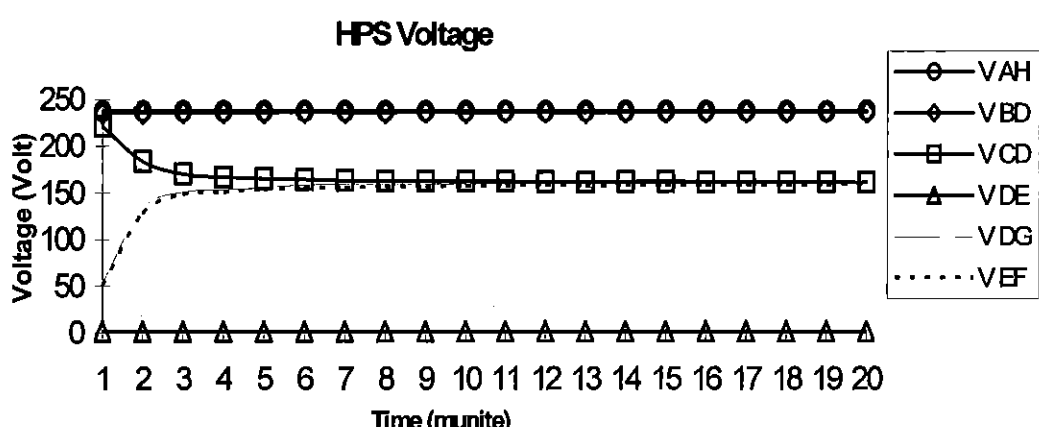
#### 4.1.3 หลอดโซเดียมความดันสูง



รูปที่ 4.9 วงจรหลอดโซเดียมความดันสูงที่ใช้ทคลอง

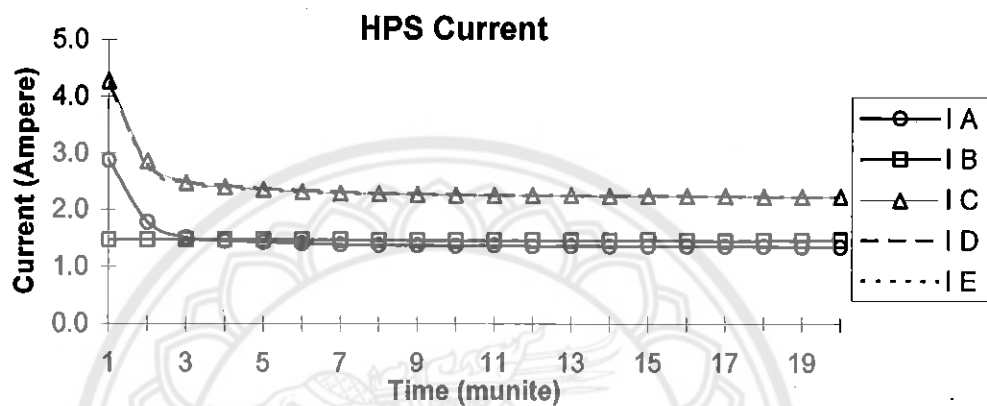


รูปที่ 4.10 วงจรหลอดโซเดียมความดันสูง



รูปที่ 4.11 แผนภูมิแสดงผลการวัดแรงดันของวงจรหลอดโซเดียมความดันสูง

จากรูปที่ 4.11 จะเห็นว่า แรงดันที่จ่ายเข้าวงจร ( $V_{AH}$ ) กับแรงดันที่ต่อกครอ姆ตัวเก็บประจุ ( $V_{BD}$ ) จะมีค่าใกล้เคียงกันและคงตัวตลอดที่ 237 โวลต์ ส่วนแรงดันที่ต่อกกรอ姆บัลลาสต์ ( $V_{CD}$ ) จะมีค่าสูง ในช่วงเริ่มจุดหลอดและลดลงมาเรื่อยๆ จนถึง 166 โวลต์ในนาทีที่ 4 จากนั้นก็ค่อยๆ ลดลงจนคงที่อยู่ที่ประมาณ 161 โวลต์ แรงดันที่ต่อกกรอ姆ตัวจุดหลอด ( $V_{DE}$ ) จะมีค่าคงที่และน้อยมากอยู่ที่ 1.2 โวลต์ ส่วนแรงดันที่ต่อกกรอ姆หลอดไฟ ( $V_{EF}$ ) จะมีค่าเพิ่มขึ้นถึง 150 โวลต์ที่เวลาประมาณ 3.5 นาที แล้วค่อยๆ คงที่เรื่อยๆ แล้วคงตัวที่ประมาณ 6 นาที ที่ 155 โวลต์ ส่วนแรงดัน  $V_{DG}$  เป็นแรงดันที่ต่อกกรอ姆ระหว่างตัวจุดหลอดกับหลอดไฟ



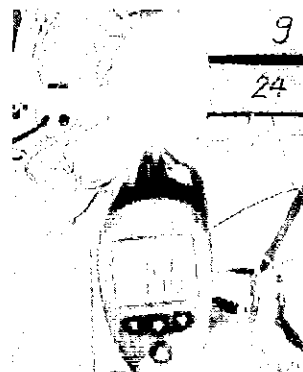
รูปที่ 4.12 แผนภูมิแสดงผลการวัดกระแสของวงจรหลอด โดยเดิมความคันสูง

จากรูปที่ 4.12 จะเห็นว่า กระแสที่ไหลเข้าวงจร ( $I_A$ ) มีค่าประมาณ 3 แอมเปอร์ในนาทีแรก แล้วลดลงถึง 1.5 แอมเปอร์ที่เวลา 3 นาที หลังจากนั้นก็เริ่มคงที่ที่ประมาณ 1.4 แอมเปอร์ กระแสที่ไหลเข้าตัวเก็บประจุ ( $I_B$ ) มีค่าคงที่ตลอดที่ 1.5 แอมเปอร์ ส่วนกระแสที่ไหลเข้าบัลลาสต์ ( $I_C$ ) กระแสที่ไหลเข้าตัวจุดหลอด ( $I_D$ ) และกระแสที่ไหลเข้าหลอดไฟ ( $I_E$ ) มีค่าสูงตอนจุดหลอด โดยในนาทีแรกสูงถึง 4.25 แอมเปอร์ แล้วลดลงจนถึงเวลาประมาณ 2.5 นาทีหลังจากนั้นก็ค่อยๆ คงที่อยู่ที่ 2.25 แอมเปอร์

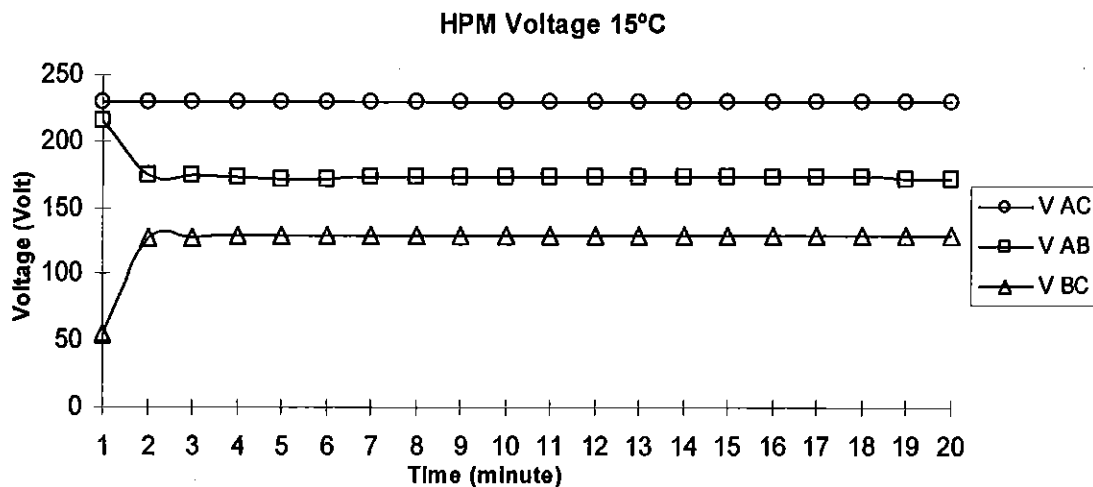
## 4.2 ผลการทดลองวัดแรงดันและกระแสที่อุณหภูมิต่างๆ

### 4.2.1 หลอดแสงจันทร์

- หลอดแสงจันทร์ที่อุณหภูมิ  $15^{\circ}\text{C}$

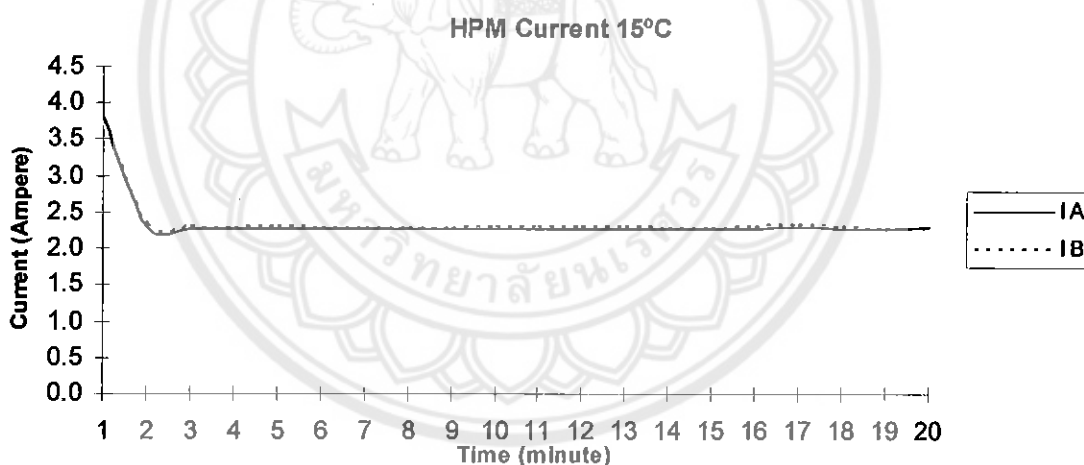


รูปที่ 4.13 หลอดแสงจันทร์ที่อุณหภูมิ  $15^{\circ}\text{C}$



รูปที่ 4.14 แผนภูมิแสดงผลการวัดแรงดันของวงจรหลอดแสงจันทร์ที่ 15°C

จากรูปที่ 4.14 จะเห็นว่า แรงดันที่จ่ายเข้าวงจร ( $V_{AC}$ ) มีค่าคงที่ที่ประมาณ 230 โวลต์ ตลอด ส่วน แรงดันที่ต่อกรุ่นบลลลาสต์ ( $V_{AB}$ ) จะมีค่าสูงถึง 215 โวลต์ แล้วลดลงมาเรื่อยๆ ที่เวลา 3 นาทีถึงเริ่มคงที่ที่ 172 โวลต์ ส่วนแรงดันที่ต่อกรุ่นหลอดไฟ ( $V_{BC}$ ) ช่วงเริ่มจุดหลอดจะมีค่าต่ำ จากนั้นก็เพิ่มสูงขึ้นถึง 128 โวลต์ ที่เวลา 3 นาที แล้วคงที่



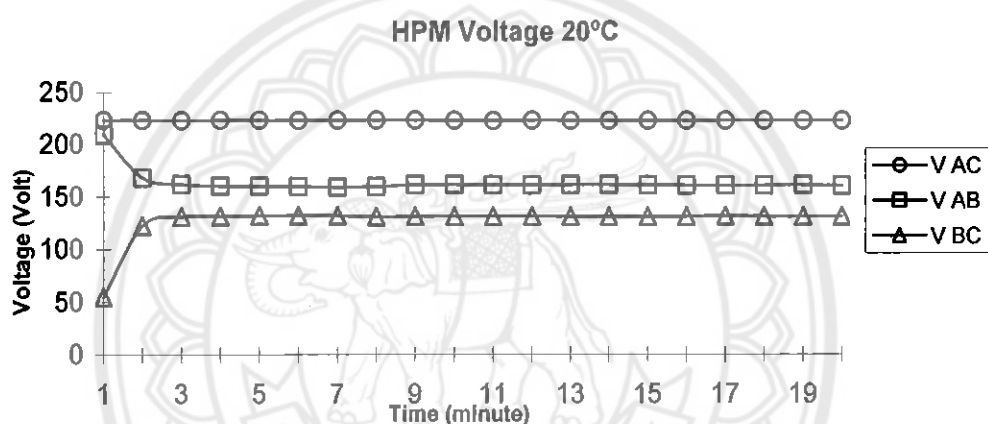
รูปที่ 4.15 แผนภูมิแสดงผลการวัดกระแสของวงจรหลอดแสงจันทร์ที่ 15°C

จากรูปที่ 4.15 กระแสที่ไหลเข้าบลลลาสต์ ( $I_A$ ) และกระแสที่ไหลเข้าหลอดไฟ ( $I_B$ ) มีค่าใกล้เคียงกัน โดยที่ ช่วงเวลาจุดหลอดจะมีกระแสที่สูงถึง 3.8 แอมเปอร์ ที่เวลา 1 นาที จากนั้นก็ลดลงที่ 2.3 แอมเปอร์ที่เวลาประมาณ 2 นาที จากนั้นคงที่

- หลอดแสงจันทร์ที่อุณหภูมิ  $20^{\circ}\text{C}$



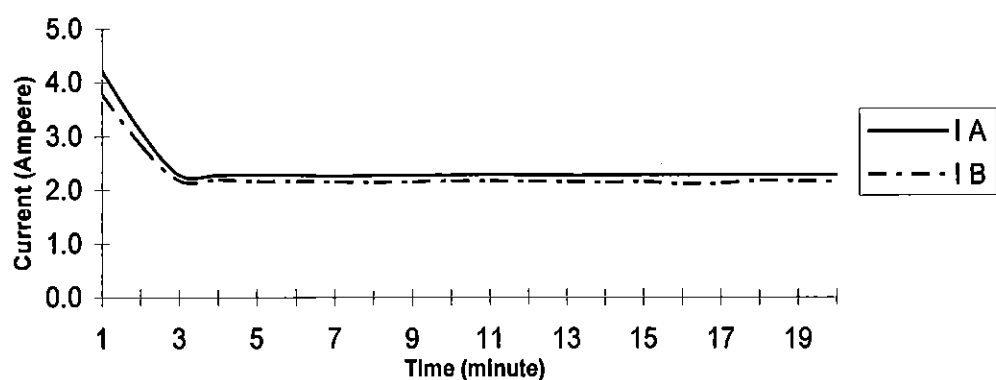
รูปที่ 4.16 หลอดแสงจันทร์ที่อุณหภูมิ  $20^{\circ}\text{C}$



รูปที่ 4.17 แผนภูมิแสดงผลการวัดแรงดันของวงจรหลอดแสงจันทร์ที่  $20^{\circ}\text{C}$

จากรูปที่ 4.17 จะเห็นว่า แรงดันที่ขาเข้าวงจร ( $V_{AC}$ ) มีค่าประมาณ 223 โวลต์ คงที่ตลอด ส่วน แรงดันที่ตอกคร่อมบัลลาสต์ ( $V_{AB}$ ) จะมีค่าสูงขณะเริ่มจุดหลอด แล้วลดลงเรื่อยๆ ที่อยู่ที่ 160 โวลต์ที่เวลา 3 นาที และแรงดันที่ตอกคร่อมหลอดไฟ ( $V_{BC}$ ) เมื่อเริ่มจุดหลอดมีค่าต่ำ แล้วเพิ่มสูงขึ้น แล้วคงที่ที่ประมาณ 131 โวลต์ ที่เวลา 3 นาที

HPM Current 20°C



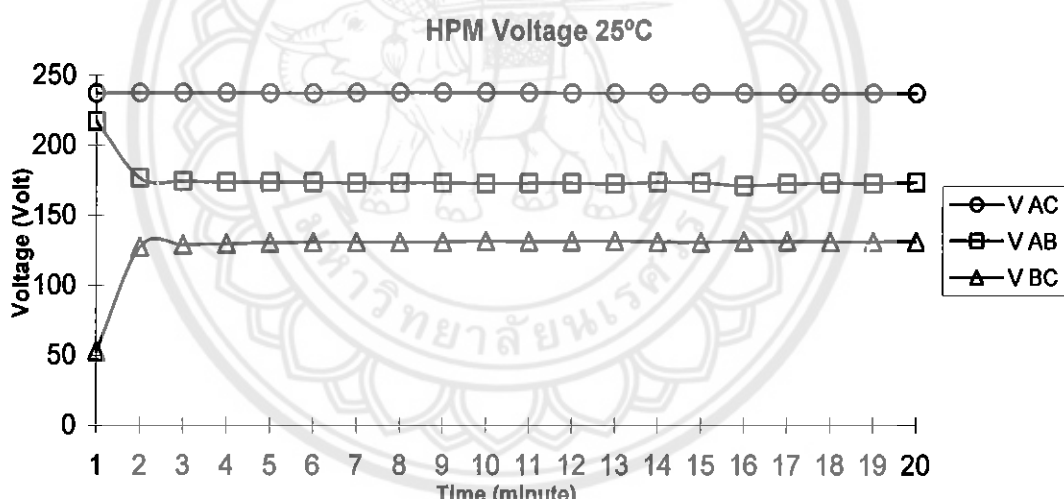
รูปที่ 4.18 แผนภูมิแสดงผลการวัดกระแสของวงจรหลอดแสงจันทร์ที่  $20^{\circ}\text{C}$

จากรูปที่ 4.18 จะเห็นว่า กระแสเข้าบลัลลาส์ ( $I_A$ ) มีค่าสูงในตอนเริ่มจุดหลอดแล้วลดลงจนถึง 2.28 แอมเปอร์ ที่เวลา 4 นาที จากนั้นกระแสก็เริ่มคงที่ และกระแสที่เข้าหลอดไฟ ( $I_B$ ) แตกต่างกันเพียงเล็กน้อย

- หลอดแสงจันทร์ที่อุณหภูมิ  $25^{\circ}\text{C}$

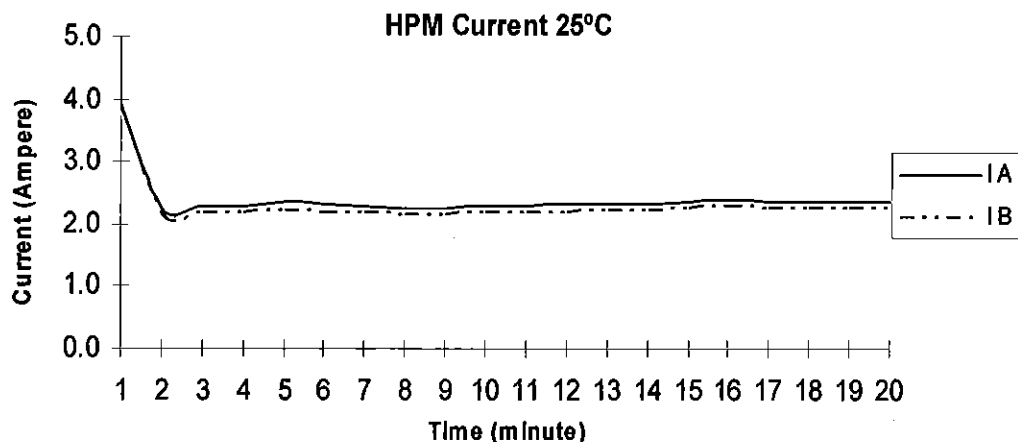


รูปที่ 4.19 หลอดแสงจันทร์ที่อุณหภูมิ  $25^{\circ}\text{C}$



รูปที่ 4.20 แผนภูมิแสดงผลการวัดแรงดันของวงจรหลอดแสงจันทร์ที่  $25^{\circ}\text{C}$

จากรูปที่ 4.20 จะเห็นว่าแรงดันที่จ่ายให้กับวงจร ( $V_{AC}$ ) มีค่าคงที่ที่ 237 โวลต์ ตลอด ส่วนแรงดันที่ต่อกลุ่มบลัลลาส์ ( $V_{AB}$ ) มีค่าสูงขณะจุดหลอดแล้วลดลงมาคงที่ที่ 173 โวลต์ ที่เวลา 4 นาที และแรงดันที่ต่อกลุ่มหลอดไฟ ( $V_{BC}$ ) เมื่อเริ่มจุดหลอดจะมีค่าต่ำแล้วเพิ่มขึ้นมาเรื่อยๆ จนถึง 129 โวลต์ ที่เวลา 3 นาที และหลังจากนั้นก็เริ่มคงที่ที่ 131 โวลต์



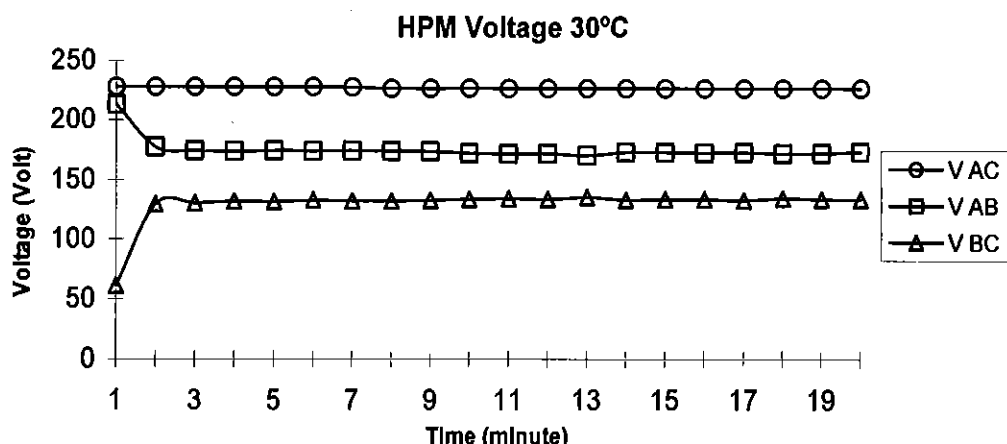
รูปที่ 4.21 แผนภูมิแสดงผลการวัดกระแสของวงจรหลอดแสงจันทร์ที่ 25°C

จากรูปที่ 4.21 จะเห็นว่า กระแสที่ไฟเล็กบลลาสต์ ( $I_A$ ) เมื่อเริ่มขุคหลอดมีค่ากระแสที่สูง แล้วลดลงถึงประมาณ 2.3 แอมเปอร์ ที่เวลา 2 นาที จากนั้นก็เริ่มคงที่ เช่นเดียวกับ กระแสที่ไฟเล็กหลอดไฟ ( $I_B$ ) จะมีค่าสูงขึ้นจากหลอดดึง 3.8 แอมเปอร์ ในนาทีแรก จากนั้นก็ลดต่ำลงมาเหลือรีมคงที่ที่ 2.2 แอมเปอร์จากนั้นก็คงที่ที่เวลา 3 นาที

- หลอดแสงจันทร์ที่อุณหภูมิ 30°C

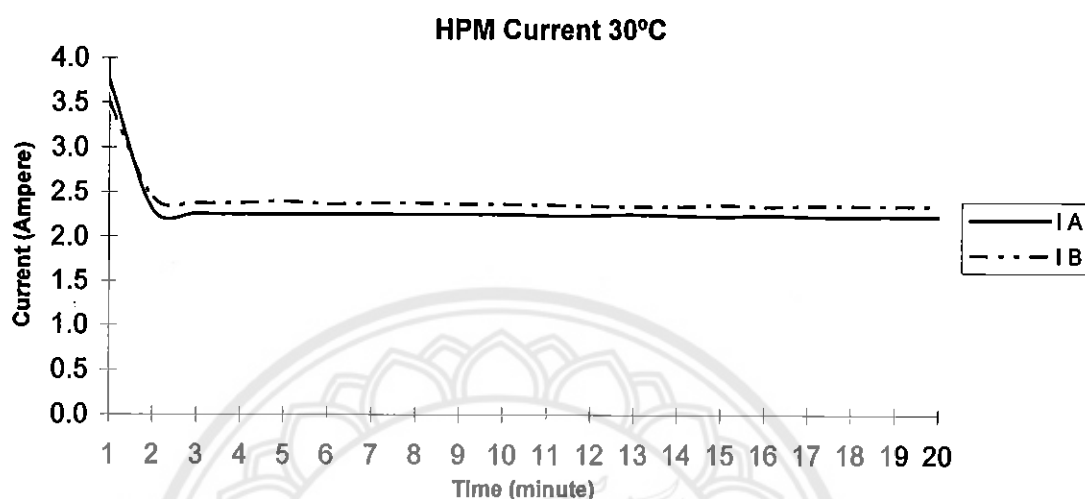


รูปที่ 4.22 หลอดแสงจันทร์ที่อุณหภูมิ 30°C



รูปที่ 4.23 แผนภูมิแสดงผลการวัดแรงดันของวงจรหลอดแสงจันทร์ที่ 30°C

จากรูปที่ 4.23 จะเห็นว่า แรงดันที่ข่ายเข้าวงจร ( $V_{AC}$ ) คงที่ตลอดที่ประมาณ 227 โวลต์ ส่วน แรงดันที่ตอกคร่อมบลัล่าสต์ ( $V_{AB}$ ) มีค่าสูงขณะเริ่มจุดหลอด แล้วลดลงไปที่ 175 โวลต์ ที่เวลาประมาณ 2.5 นาที จากนั้นก็เริ่มคงที่ที่ 172 โวลต์ และแรงดันที่ตอกคร่อมหลอดไฟ ( $V_{BC}$ ) มีค่าต่ำเมื่อเริ่มจุดหลอด แล้วเพิ่มสูงขึ้นที่ 130 โวลต์ที่เวลาประมาณ 2.5 นาที จากนั้นก็เริ่มคงที่ที่ 133 โวลต์



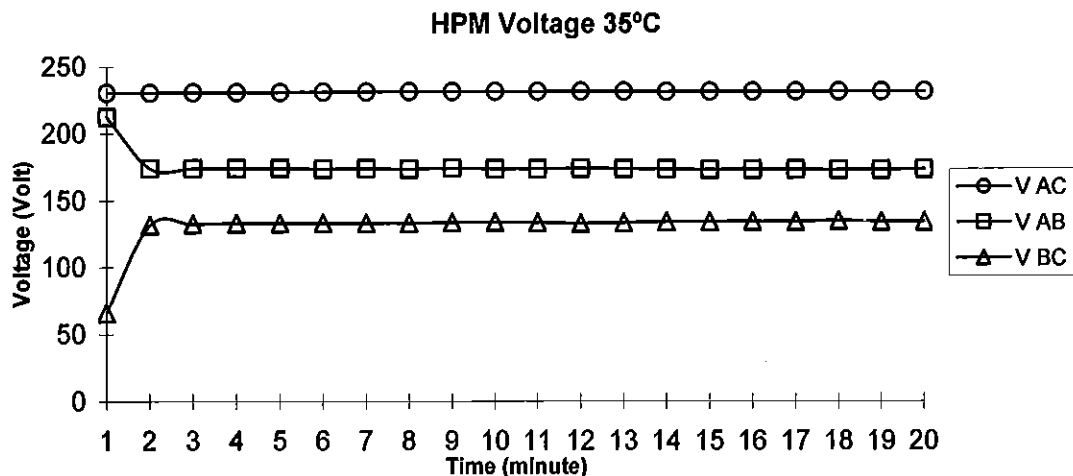
รูปที่ 4.24 แผนภูมิแสดงผลการวัดกระแสของวงจรหลอดแสงจันทร์ที่  $30^{\circ}\text{C}$

จากรูปที่ 4.24 จะเห็นว่า กระแสที่ไอล์ฟลัล่าสต์ ( $I_A$ ) เมื่อเริ่มจุดหลอดจะมีค่าสูงแล้วลดลงมาที่ 2.3 แอมเปอร์ ที่เวลา 2 นาที หลังจากนั้นก็เริ่มคงที่ที่ประมาณ 2.2 แอมเปอร์ เช่นเดียวกันกับ กระแสที่ไอล์ฟหลอดไฟ ( $I_B$ ) เมื่อเริ่มจุดหลอดจะมีค่าสูง แล้วลดลงมาที่ 2.4 แอมเปอร์ ที่เวลา 2.5 นาที หลังจากนั้นก็เริ่มคงที่ที่ประมาณ 2.3 แอมเปอร์

- หลอดแสงจันทร์ที่อุณหภูมิ  $35^{\circ}\text{C}$

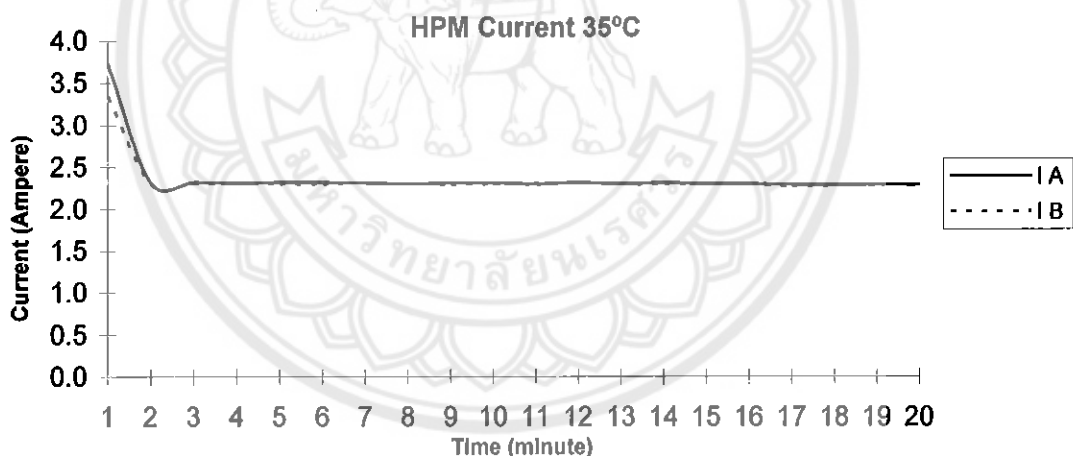


รูปที่ 4.25 หลอดแสงจันทร์ที่อุณหภูมิ  $35^{\circ}\text{C}$



รูปที่ 4.26 แผนภูมิแสดงผลการวัดแรงดันของวงจรหลอดแสงจันทร์ที่ 35°C

จากรูปที่ 4.26 จะเห็นว่า แรงดันที่ขาเข้าบลัตตาสต์ ( $V_{AC}$ ) จะมีค่าคงที่ตลอดที่ประมาณ 230 โวลต์ ส่วนแรงดันที่ต่อกรุ่นบลัตตาสต์ ( $V_{AB}$ ) มีค่าสูงขณะเริ่มตุ่นหลอดและลดลงมาอยู่ที่ 174 โวลต์ ที่เวลา 2 นาที หลังจากนั้นก็เริ่มคงที่ และแรงดันที่ต่อกรุ่นหลอดไฟ ( $V_{BC}$ ) มีค่าที่ต่ำเมื่อเริ่มตุ่นหลอดแล้วเพิ่มสูงขึ้นที่ 132 โวลต์ ที่เวลา 2 นาที หลังจากนั้นก็เริ่มคงที่



รูปที่ 4.27 แผนภูมิแสดงผลการวัดกระแสของวงจรหลอดแสงจันทร์ที่ 35°C

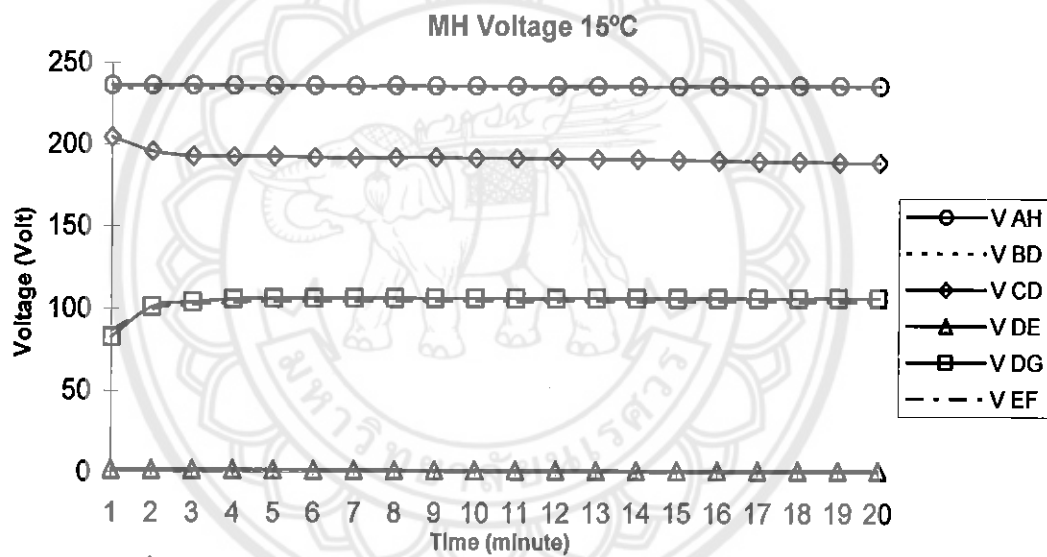
จากรูปที่ 4.27 จะเห็นว่า กระแสที่ไอล์ฟเข้าบลัตตาสต์ ( $I_A$ ) เมื่อเริ่มตุ่นหลอดจะมีกระแสสูง โดยในนาทีแรกกระแสสูงถึง 3.7 แอมเปอร์ แล้วลดลงมาที่ 2.3 แอมเปอร์ ที่เวลา 2 นาที หลังจากนั้นก็เริ่มคงที่ เช่นเดียวกับกระแสที่ไอล์ฟเข้าหลอดไฟ ( $I_B$ ) ในนาทีแรกสูงถึง 3.3 แอมเปอร์ แล้วลดลงมาที่ 2.3 แอมเปอร์ ที่เวลา 2 นาที หลังจากนั้นก็คงที่

#### 4.2.2 หลอดเมทัลฮาไรด์

- หลอดเมทัลฮาไรด์ที่อุณหภูมิ  $15^{\circ}\text{C}$

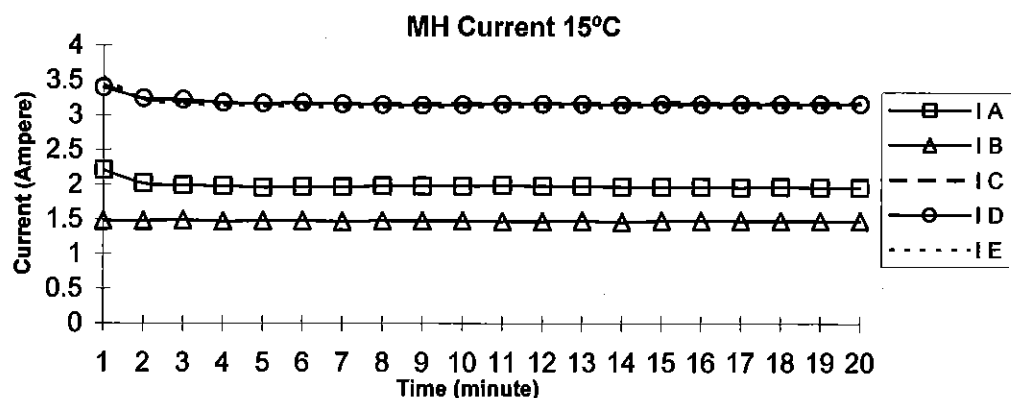


รูปที่ 4.28 หลอดเมทัลฮาไรด์ที่อุณหภูมิ  $15^{\circ}\text{C}$



รูปที่ 4.29 แผนภูมิแสดงผลการวัดแรงดันของวงจรหลอดเมทัลฮาไรด์ที่  $15^{\circ}\text{C}$

จากรูปที่ 4.29 จะเห็นว่า แรงดันที่ข่ายเข้าวงจร ( $V_{AH}$ ) กับแรงดันที่ตอกคร่อมตัวเก็บประจุ ( $V_{BD}$ ) มีค่าใกล้เคียงกัน และคงที่ที่ประมาณ 235 โวลต์ ตลอด ส่วนแรงดันที่ตอกคร่อมบัลลาสต์ ( $V_{CD}$ ) เมื่อเริ่มจุด หลอดจะมีค่าสูงแล้วลดลง โดยที่นาทีแรกมีแรงดันสูงถึง 204 โวลต์ จากนั้นก็ลดลงมาเรื่อยๆ จนคงที่ที่ 192 โวลต์ ที่เวลา 4 นาที ส่วนแรงดันที่ตอกคร่อมตัวจุดหลอด ( $V_{DE}$ ) มีค่าคงที่ที่น้อยมาก แรงดันที่ตอกคร่อมหลอดไฟ ( $V_{EF}$ ) เมื่อเริ่มจุดหลอดจะมีค่าต่ำแล้วเพิ่มสูงขึ้นในเวลาต่อมา โดยที่นาทีแรกมีแรงดัน 87 โวลต์ หลังจากนั้นก็เริ่มคงที่ที่ 105 โวลต์ เช่นเดียวกับแรงดันที่ตอกคร่อมหลอดไฟและตัวจุดหลอด ( $V_{DG}$ )



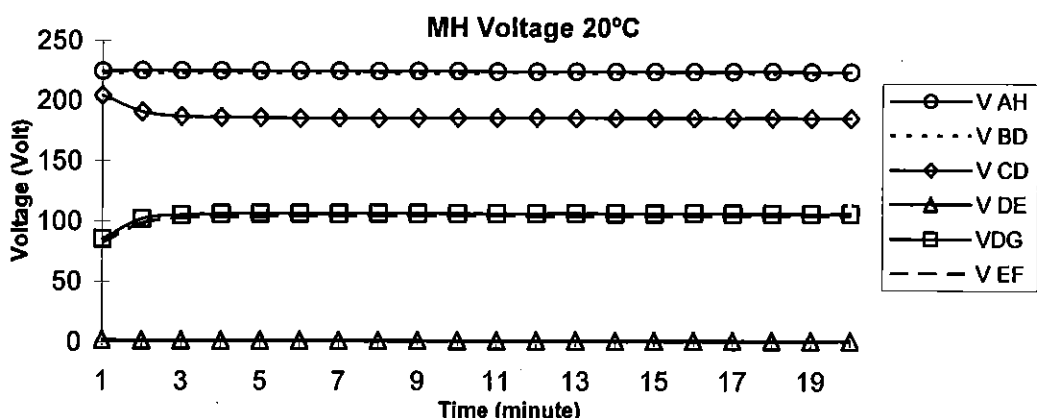
รูปที่ 4.30 แผนภูมิแสดงผลการวัดกระแสของวงจรหลอดเมทัลไฮดีคที่ 15°C

จากรูปที่ 4.30 จะเห็นว่า กระแสเข้าวงจร ( $I_A$ ) มีค่าประมาณ 2.2 แอมเปอร์ที่นาทีแรก แล้วคงมาเหลือ 2 แอมเปอร์ ที่เวลา 2 นาที หลังจากนั้นก็คงที่ กระแสที่ไฟเลี้ยวตัวเก็บประจุ ( $I_B$ ) คงที่ตลอดที่ประมาณ 1.5 แอมเปอร์ ส่วนกระแสที่ไฟเลี้ยงบลัสดาร์ ( $I_C$ ) กระแสที่ไฟเลี้ยวตัวจุดหลอด ( $I_D$ ) และกระแสที่ไฟเลี้ยวหลอดไฟ ( $I_E$ ) จะมีค่าสูงเมื่อเริ่มจุดหลอดเดลัดคต่ำลง โดยที่เวลา 1 นาที กระแสจะอยู่ที่ประมาณ 3.5 แอมเปอร์ หลังจากนั้นคงที่ที่ 3.2 แอมเปอร์ ที่เวลาประมาณ 3 นาที

- หลอดเมทัลไฮดีคที่อุณหภูมิ 20

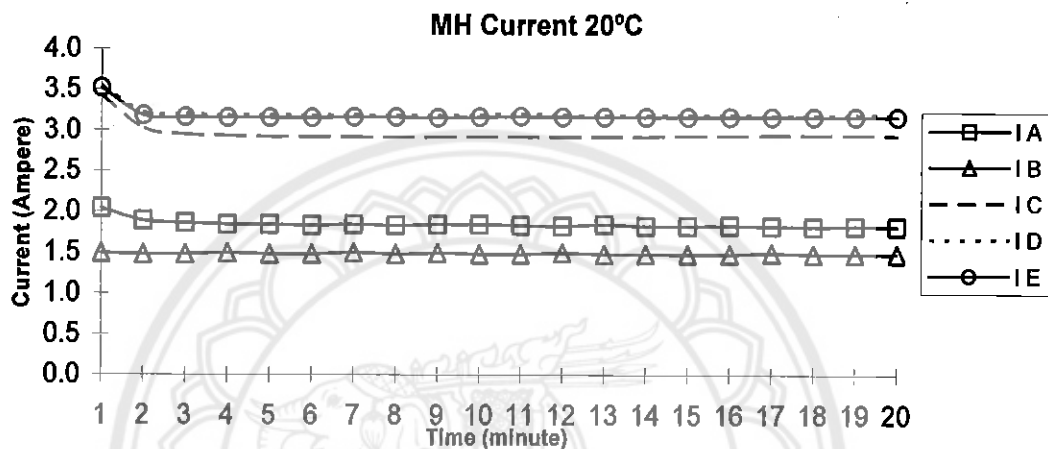


รูปที่ 4.31 หลอดเมทัลไฮดีคที่อุณหภูมิ 20°C



รูปที่ 4.32 แผนภูมิแสดงผลการวัดแรงดันของวงจรหลอดเมทัลไฮดีคที่ 20°C

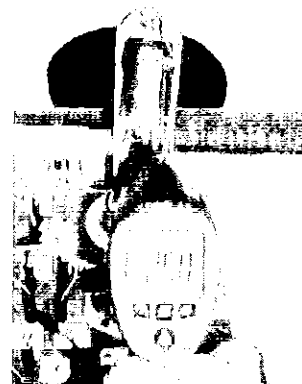
จากรูปที่ 4.32 จะเห็นว่า แรงดันที่จ่ายเข้าวงจร ( $V_{AH}$ ) กับแรงดันที่ตอกคร่อมตัวเก็บประจุ ( $V_{BD}$ ) มีค่าใกล้เคียงกัน และคงที่ที่ประมาณ 225 โวลต์ ตลอด ส่วนแรงดันที่ตอกคร่อมบัลลัสต์ ( $V_{CD}$ ) เมื่อเริ่มจุดหลอดจะมีค่าสูงแล้วลดลง โดยที่นาทีแรกมีแรงดันสูงถึง 204 โวลต์ จากนั้นก็ลดลงมาเรื่อยๆ จนคงที่ที่ 187 โวลต์ ที่เวลา 3 นาที ส่วนแรงดันที่ตอกคร่อมตัวจุดหลอด ( $V_{DE}$ ) มีค่าคงที่ที่น้อยมาก แรงดันที่ตอกคร่อมหลอดไฟ ( $V_{EF}$ ) เมื่อเริ่มจุดหลอดจะมีค่าต่ำแล้วเพิ่มสูงขึ้นในเวลาต่อมา โดยที่นาทีแรกมีแรงดัน 82 โวลต์ หลังจากนั้นก็เริ่มคงที่ที่ 104 โวลต์ ที่เวลา 4 นาที เช่นเดียวกับแรงดันที่ตอกคร่อมหลอดไฟและตัวจุดหลอด ( $V_{DG}$ )



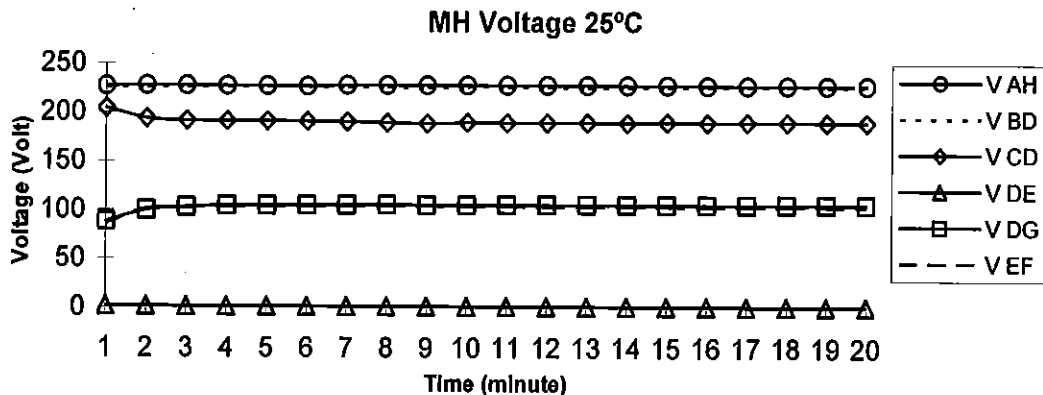
รูปที่ 4.33 แผนภูมิแสดงผลการวัดกระแสของวงจรหลอดเมทัลไฮดีคที่ 20°C

จากรูปที่ 4.33 จะเห็นว่า กระแสเข้าวงจร ( $I_A$ ) มีค่าประมาณ 2 แอมเปอร์ที่นาทีแรก แล้วลดลงมาเหลือ 1.8 แอมเปอร์ ที่เวลา 4 นาที หลังจากนั้นก็คงที่ กระแสที่ไหลเข้าตัวเก็บประจุ ( $I_B$ ) คงที่ตลอดที่ประมาณ 1.5 แอมเปอร์ ส่วนกระแสที่ไหลเข้าบัลลัสต์ ( $I_C$ ) จะมีค่าสูงเมื่อเริ่มจุดหลอดแล้วลดต่ำลง โดยที่เวลา 1 นาที กระแสอยู่ที่ประมาณ 3.4 แอมเปอร์ หลังจากนั้นคงที่ที่ 2.9 แอมเปอร์ ที่เวลาประมาณ 4 นาที ส่วนกระแสที่ไหลเข้าตัวจุดหลอด ( $I_D$ ) และกระแสที่ไหลเข้าหลอดไฟ ( $I_E$ ) จะมีค่าสูงเมื่อเริ่มจุดหลอดแล้วลดต่ำลง โดยที่เวลา 1 นาที กระแสอยู่ที่ประมาณ 3.5 แอมเปอร์ หลังจากนั้นคงที่ที่ 3.2 แอมเปอร์ ที่เวลาประมาณ 3 นาที

- หลอดเมทัลไฮดีคที่อุณหภูมิ 25°C

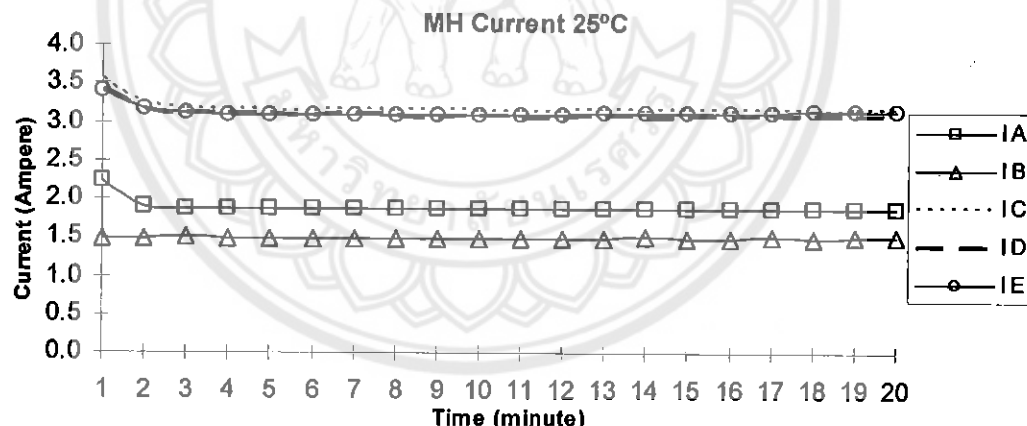


รูปที่ 4.34 หลอดเมทัลไฮดีคที่อุณหภูมิ 25°C



รูปที่ 4.35 แผนภูมิแสดงผลการวัดแรงดันของวงจรหลอดเมทัลไฮไดค์ที่ 25°C

จากรูปที่ 4.35 จะเห็นว่า แรงดันที่จ่ายเข้าวงจร ( $V_{AH}$ ) กับแรงดันที่ตอกคร่อมตัวเก็บประจุ ( $V_{BD}$ ) มีค่าใกล้เคียงกัน และคงที่ประมาณ 228 โวลต์ ตลอด ส่วนแรงดันที่ตอกคร่อมบัลลาราสต์ ( $V_{CD}$ ) เมื่อเริ่มจุดหลอดจะมีค่าสูงแล้วลดลง โดยที่นาทีแรกนี้แรงดันสูงถึง 204 โวลต์ จากนั้นก็ลดลงมาเรื่อยๆ จนคงที่ที่ 190 โวลต์ ที่เวลา 7 นาที ส่วนแรงดันที่ตอกคร่อมตัวจุดหลอด ( $V_{DE}$ ) มีค่าคงที่ที่น้อยมาก แรงดันที่ตอกคร่อมหลอดไฟ ( $V_{EF}$ ) เมื่อเริ่มจุดหลอดจะมีค่าต่ำแล้วเพิ่มสูงขึ้นในเวลาต่อมา โดยที่นาทีแรกนี้แรงดัน 85 โวลต์ หลังจากนั้นก็เริ่มงอกที่ 104 โวลต์ ที่เวลา 7 นาที เช่นเดียวกับแรงดันที่ตอกคร่อมหลอดไฟและตัวจุดหลอด ( $V_{DG}$ )



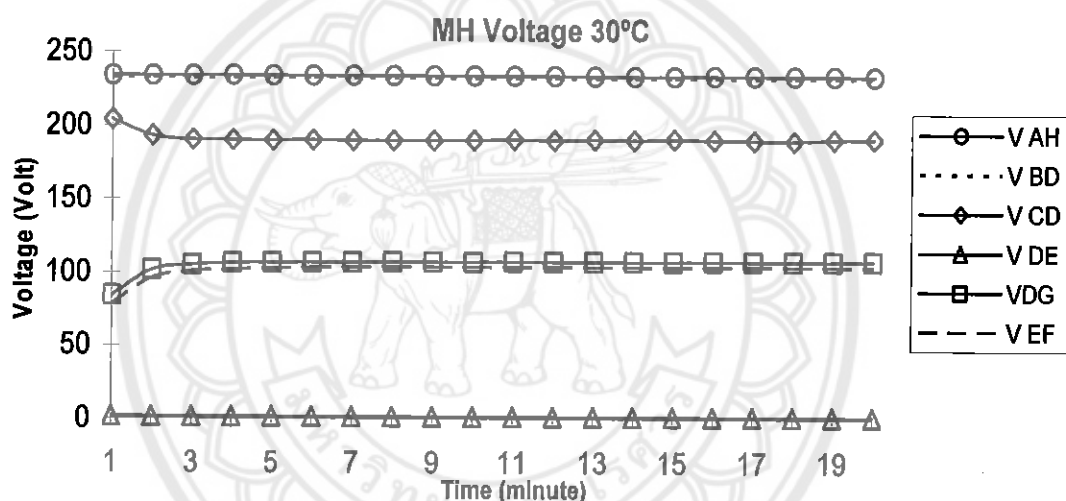
รูปที่ 4.36 แผนภูมิแสดงผลการวัดกระแสของวงจรหลอดเมทัลไฮไดค์ที่ 25°C

จากรูปที่ 4.36 จะเห็นว่า กระแสเข้าวงจร ( $I_A$ ) มีค่าประมาณ 2.2 แอมเปอร์ที่นาทีแรก แล้วลดลงมาเหลือ 1.9 แอมเปอร์ ที่เวลา 2 นาที หลังจากนั้นคงที่ กระแสที่ไหลเข้าตัวเก็บประจุ ( $I_B$ ) คงที่ตลอดที่ประมาณ 1.5 แอมเปอร์ ส่วนกระแสที่ไหลเข้าบัลลาราสต์ ( $I_C$ ) จะมีค่าสูงเมื่อเริ่มจุดหลอดแล้วลดลง โดยที่เวลา 1 นาที กระแสจะอยู่ที่ประมาณ 3.6 แอมเปอร์ หลังจากนั้นคงที่ที่ 3.2 แอมเปอร์ ที่เวลาประมาณ 2.5 นาที ส่วนกระแสที่ไหลเข้าตัวจุดหลอด ( $I_D$ ) และกระแสที่ไหลเข้าหลอดไฟ ( $I_E$ ) จะมีค่าสูงเมื่อเริ่มจุดหลอดแล้วลดลง โดยที่เวลา 1 นาที กระแสจะอยู่ที่ประมาณ 3.4 แอมเปอร์ หลังจากนั้นคงที่ที่ 3.1 แอมเปอร์ ที่เวลาประมาณ 3 นาที

- หลอดเมทัลฮาไรด์ที่อุณหภูมิ 30°C

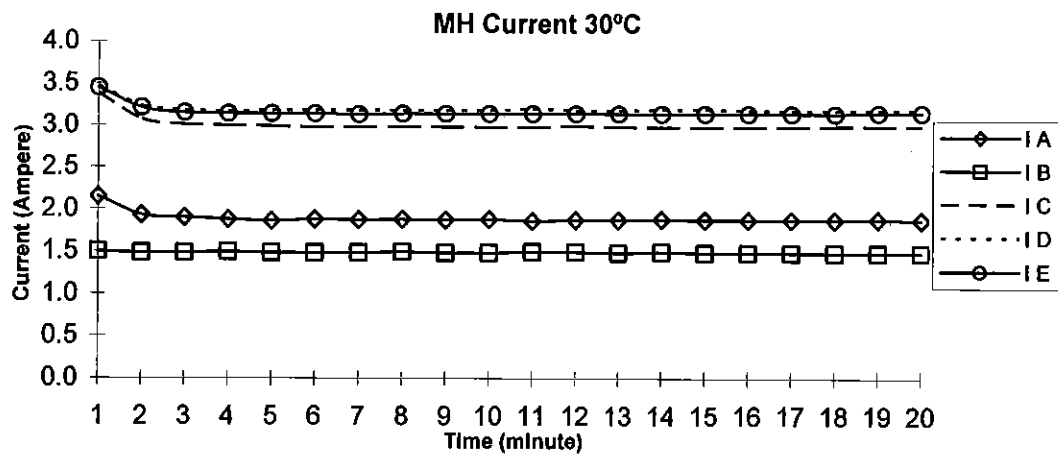


รูปที่ 4.37 หลอดเมทัลฮาไรด์ที่อุณหภูมิ 30°C



รูปที่ 4.38 แผนภูมิแสดงผลการวัดแรงดันของวงจรหลอดเมทัลฮาไรด์ที่ 30°C

จากรูปที่ 4.38 จะเห็นว่า แรงดันที่จ่ายเข้าวงจร ( $V_{AH}$ ) กับแรงดันที่ต่อก्रุ่นตัวกึ่งประจุ ( $V_{BD}$ ) มีค่าใกล้เคียงกัน และคงที่ที่ประมาณ 234 โวลต์ ตลอด ส่วนแรงดันที่ต่อกรุ่นบัลลาสต์ ( $V_{CD}$ ) เมื่อเริ่มจุด หลอดจะมีค่าสูงแล้วลดลง โดยที่นาทีแรกมีแรงดันสูงถึง 204 โวลต์ จากนั้นก็ลดลงมาเรื่อยๆ จนคงที่ที่ 190 โวลต์ ที่เวลา 5 นาที ส่วนแรงดันที่ต่อกรุ่นตัวจุดหลอด ( $V_{DE}$ ) มีค่าคงที่ที่น้อยมาก แรงดันที่ต่อกรุ่นหลอดไฟ ( $V_{EF}$ ) เมื่อเริ่มจุดหลอดจะมีค่าต่ำแล้วเพิ่มสูงขึ้นในเวลาต่อมา โดยที่นาทีแรกมีแรงดัน 78 โวลต์ หลังจากนั้นก็เริ่มคงที่ที่ 104 โวลต์ ที่เวลา 10 นาที เช่นเดียวกับแรงดันที่ต่อกรุ่นหลอดไฟและตัวจุดหลอด ( $V_{DG}$ )

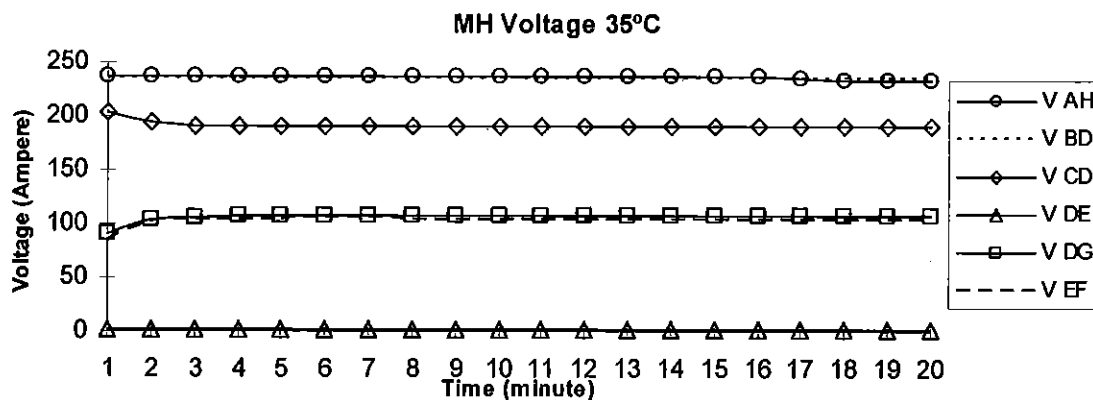


รูปที่ 4.39 แผนภูมิแสดงผลการวัดกระแสของวงจรหลอดเมทัลไฮไดค์ที่ 30°C

จากรูปที่ 4.39 จะเห็นว่า กระแสเข้าวงจร ( $I_A$ ) มีค่าประมาณ 2.1 แอมเปอร์ที่นาทีแรก แล้วลดลงมาเหลือ 1.9 แอมเปอร์ ที่เวลา 3 นาที หลังจากนั้นคงที่ กระแสที่ไอล์ฟเข้าตัวเก็บประจุ ( $I_B$ ) คงที่ตลอดที่ประมาณ 1.5 แอมเปอร์ ส่วนกระแสที่ไอล์ฟเข้าบลัลลส์ ( $I_C$ ) จะมีค่าสูงเมื่อเริ่มจุดหลอดแล้วลดลงต่อๆ ไป ที่เวลา 1 นาที กระแสจะอยู่ที่ประมาณ 3.4 แอมเปอร์ หลังจากนั้นคงที่ที่ 3 แอมเปอร์ ที่เวลาประมาณ 4 นาที ส่วนกระแสที่ไอล์ฟเข้าตัวจุดหลอด ( $I_D$ ) และกระแสที่ไอล์ฟเข้าหลอดไฟ ( $I_E$ ) จะมีค่าสูงเมื่อเริ่มจุดหลอดแล้วลดลงต่อๆ ไป โดยที่เวลา 1 นาที กระแสจะอยู่ที่ประมาณ 3.4 แอมเปอร์ หลังจากนั้นคงที่ที่ 3.1 แอมเปอร์ ที่เวลาประมาณ 4 นาที

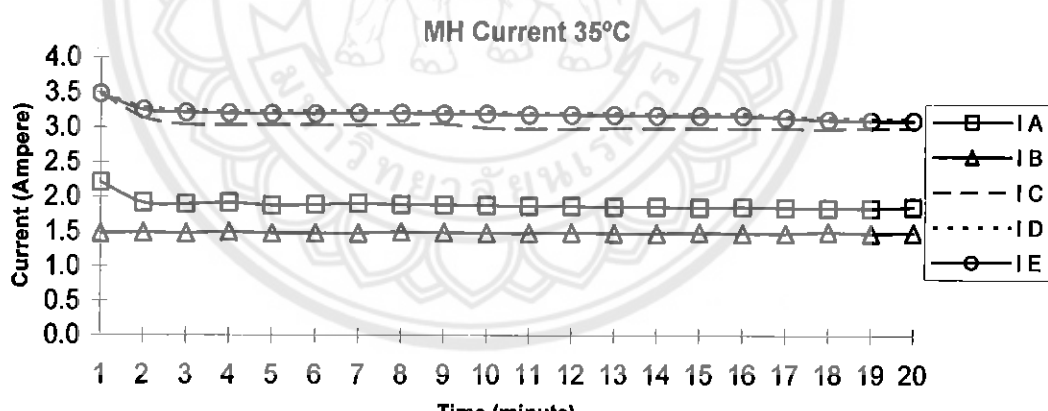
- หลอดเมทัลไฮไดค์ที่อุณหภูมิ 35°C

รูปที่ 4.40 หลอดเมทัลไฮไดค์ที่อุณหภูมิ 35°C



รูปที่ 4.41 แผนภูมิแสดงผลการวัดแรงดันของวงจรหลอดเมทัลไฮไดค์ที่ 35°C

จากรูปที่ 4.41 จะเห็นว่า แรงดันที่จ่ายเข้าวงจร ( $V_{AH}$ ) กับแรงดันที่ต่อกร่องตัวเก็บประจุ ( $V_{BD}$ ) มีค่าใกล้เคียงกัน และคงที่ที่ประมาณ 236 โวลต์ ตลอด ส่วนแรงดันที่ต่อกร่องบลัลลาสต์ ( $V_{CD}$ ) เมื่อเริ่มจุด หลอดจะมีค่าสูงแล้วลดลง โดยที่นาทีแรกมีแรงดันสูงถึง 202 โวลต์ จากนั้นก็ลดลงมาเรื่อยๆ จนคงที่ที่ 190 โวลต์ ที่เวลา 6 นาที ส่วนแรงดันที่ต่อกร่องตัวจุดหลอด ( $V_{DE}$ ) มีค่าคงที่ที่น้อยมาก แรงดันที่ต่อก ร่องหลอดไฟ ( $V_{EF}$ ) เมื่อเริ่มจุดหลอดจะมีค่าต่ำแล้วเพิ่มสูงขึ้นในเวลาต่อมา โดยที่นาทีแรกมีแรงดัน 82 โวลต์ หลังจากนั้นก็เริ่มคงที่ที่ 104 โวลต์ ที่เวลา 3 นาที เช่นเดียวกับแรงดันที่ต่อกร่องหลอดไฟและตัว จุดหลอด ( $V_{DG}$ )



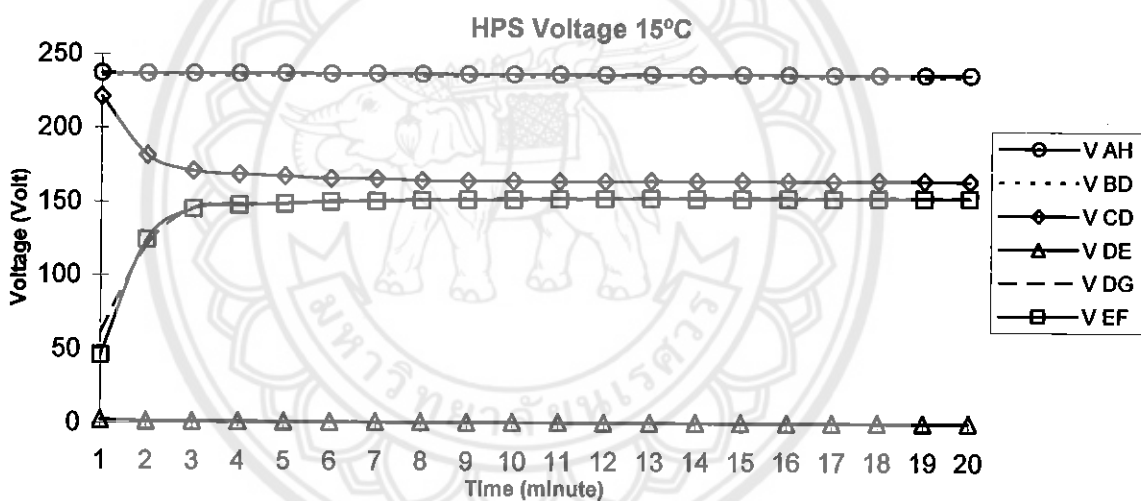
รูปที่ 4.42 แผนภูมิแสดงผลการวัดกระแสของวงจรหลอดเมทัลไฮไดค์ที่ 35°C

จากรูปที่ 4.42 จะเห็นว่า กระแสเข้าวงจร ( $I_A$ ) มีค่าประมาณ 2.2 แอมเปอร์ที่นาทีแรก แล้วลดลง นาฬีอีก 1.9 แอมเปอร์ ที่เวลา 3 นาที หลังจากนั้นคงที่ กระแสที่ไหลเข้าตัวเก็บประจุ ( $I_B$ ) คงที่ตลอดที่ ประมาณ 1.5 แอมเปอร์ ส่วนกระแสที่ไหลเข้าบลัลลาสต์ ( $I_C$ ) จะมีค่าสูงเมื่อเริ่มจุดหลอดแล้วลดลง โดย ที่เวลา 1 นาที กระแสจะอยู่ที่ประมาณ 3.5 แอมเปอร์ หลังจากนั้นคงที่ที่ 3 แอมเปอร์ ที่เวลาประมาณ 10 นาที ส่วนกระแสที่ไหลเข้าหลอด ( $I_D$ ) และกระแสที่ไหลเข้าหลอดไฟ ( $I_E$ ) จะมีค่าสูงเมื่อเริ่มจุด หลอดแล้วลดลง โดยที่เวลา 1 นาที กระแสจะอยู่ที่ประมาณ 3.5 แอมเปอร์ หลังจากนั้นคงที่ที่ 3.2 แอมเปอร์ ที่เวลาประมาณ 4 นาที

#### 4.2.2 หลอดโซเดียมความคันสูง

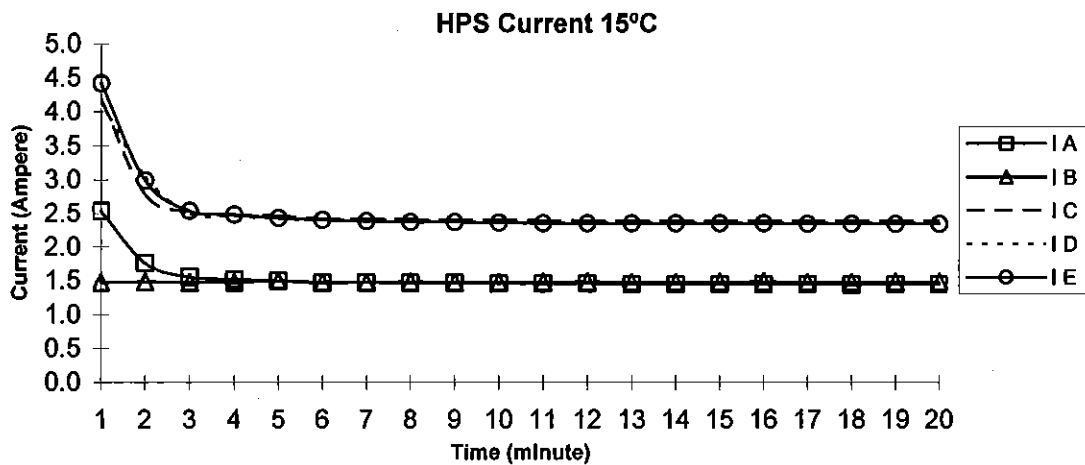
- หลอดโซเดียมความคันสูงที่อุณหภูมิ  $15^{\circ}\text{C}$

รูปที่ 4.43 หลอดโซเดียมความคันสูงที่อุณหภูมิ  $15^{\circ}\text{C}$



รูปที่ 4.44 แผนภูมิแสดงผลการวัดแรงดันของวงจรหลอดโซเดียมความคันสูงที่  $15^{\circ}\text{C}$

จากรูปที่ 4.44 จะเห็นว่า แรงดันที่จ่ายเข้าวงจร ( $V_{AH}$ ) และแรงดันที่ตอกคร่อมบัลลาร์ต ( $V_{BD}$ ) มีค่าคงที่ที่ 237 โวลต์ แรงดันที่ตอกคร่อมบัลลาร์ต ( $V_{CD}$ ) ในช่วงเริ่มต้นหลอดจะมีค่าสูงแล้วหลังจากนั้นก็ลดลงจนคงที่ โดยที่เวลา 1 นาที มีแรงดัน 221 โวลต์ แล้วลดลงมาคงที่ที่ 165 โวลต์ ที่เวลาประมาณ 7.5 นาที ส่วนแรงดันที่ตอกคร่อมหลอดไฟ ( $V_{EF}$ ) ในช่วงเริ่มต้นหลอดจะมีค่าต่ำ แล้วหลังจากนั้นก็เพิ่มขึ้นจนคงที่ โดยที่เวลา 1 นาที มีแรงดัน 46 โวลต์ แล้วเพิ่มขึ้นมาคงที่ที่ 152 โวลต์ ที่เวลาประมาณ 9 นาที เห็นเคียงกับแรงดันที่ตอกคร่อมระหว่างหลอดไฟและตัวจุดหลอด ( $V_{DG}$ )



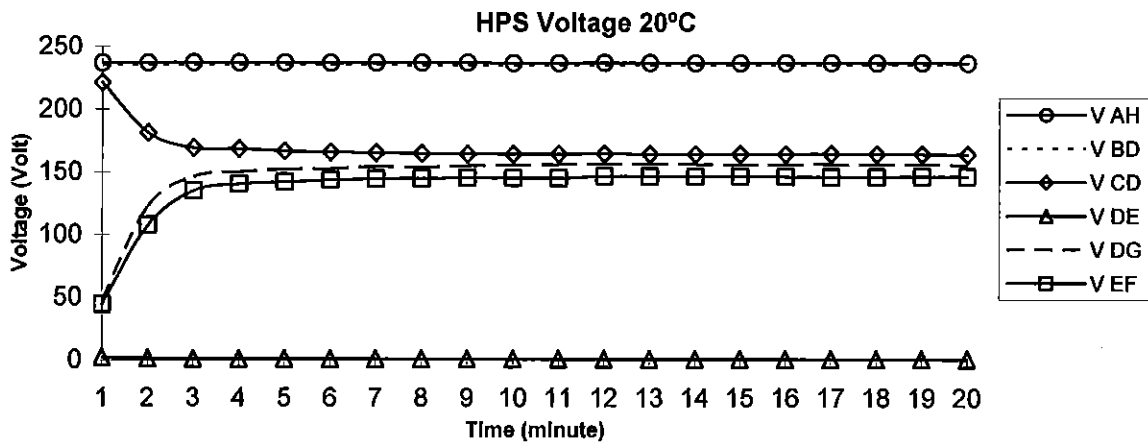
รูปที่ 4.45 แผนภูมิแสดงผลการวัดกระแสของหลอดไฟเดี่ยมความดันสูงที่ 15°C

จากรูปที่ 4.45 จะเห็นว่า กระแสที่ไอลเข้าวงจร ( $I_A$ ) มีค่าสูงเมื่อเริ่มจุดหลอดจากนั้นก็ค่อยๆ ลดลงมาคงที่ โดยที่เวลา 1 นาที มีกระแส 2.5 แอมเปอร์ แล้วลดลงมาคงที่ที่ 1.45 แอมเปอร์ ที่เวลา 7 นาที กระแสที่ไอลเข้าตัววัสดุหอดอก ( $I_B$ ) มีค่าคงที่ประมาณ 1.5 แอมเปอร์ ส่วนกระแสที่ไอลเข้าบลัตเตอร์ ( $I_C$ ) กระแสที่ไอลเข้าตัววัสดุหอดอก ( $I_D$ ) และกระแสที่ไอลเข้าหลอดไฟ ( $I_E$ ) มีค่าสูงเมื่อเริ่มจุดหลอดจากนั้นก็ค่อยๆ ลดลงมาคงที่ โดยที่เวลา 1 นาที มีกระแส 4.2 แอมเปอร์ แล้วลดลงมาคงที่ที่ 2.4 แอมเปอร์ ที่เวลา 8 นาที

- หลอดไฟเดี่ยมความดันสูงที่อุณหภูมิ 20°C

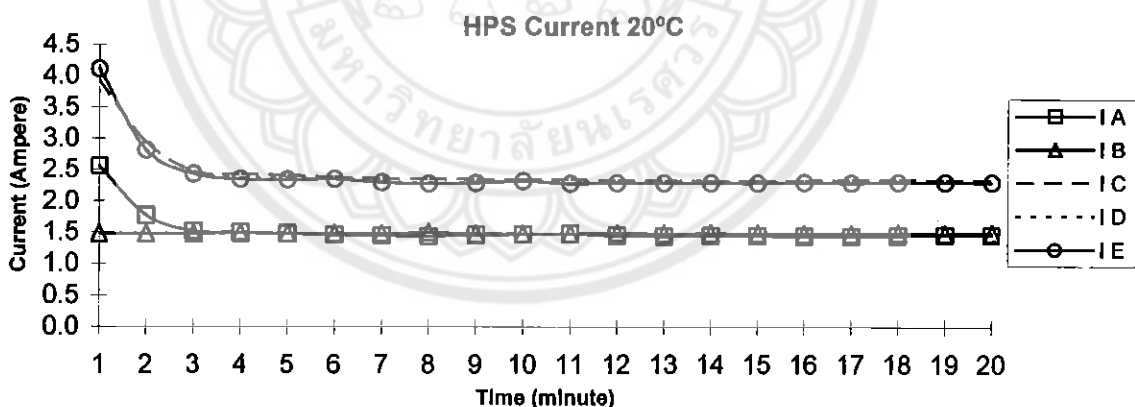


รูปที่ 4.46 หลอดไฟเดี่ยมความดันสูงที่อุณหภูมิ 20°C



รูปที่ 4.47 แผนภูมิแสดงผลการวัดแรงดันของวงจรหลอด ใช้เดินความคันสูงที่ 20°C

จากรูปที่ 4.47 จะเห็นว่า แรงดันที่จ่ายเข้าวงจร ( $V_{AH}$ ) และแรงดันที่ต่อกรุ่นบัลลัสต์ ( $V_{BD}$ ) มีค่า ใกล้เคียงกันและคงที่ที่ 237 โวลต์ แรงดันที่ต่อกรุ่นบัลลัสต์ ( $V_{CD}$ ) ในช่วงเริ่มจุดหลอดจะมีค่าสูงแล้ว หลังจากนั้นก็ลดลงนลงที่ โดยที่เวลา 1 นาที มีแรงดัน 221 โวลต์ แล้วลดลงมาลงที่ 165 โวลต์ ที่เวลา ประมาณ 8 นาที แรงดันที่ต่อกรุ่นตัวจุดหลอด ( $V_{DE}$ ) มีค่าน้อยและคงที่ ส่วนแรงดันที่ต่อกรุ่นหลอดไฟ ( $V_{EF}$ ) ในช่วงเริ่มจุดหลอดจะมีค่าต่ำ แล้วหลังจากนั้นก็เพิ่มขึ้นลงที่ โดยที่เวลา 1 นาที มีแรงดัน 44 โวลต์ แล้วเพิ่มขึ้นมาลงที่ 145 โวลต์ ที่เวลาประมาณ 8 นาที เช่นเดียวกับแรงดันที่ต่อกรุ่นระหว่างหลอดไฟและตัวจุดหลอด ( $V_{DG}$ )



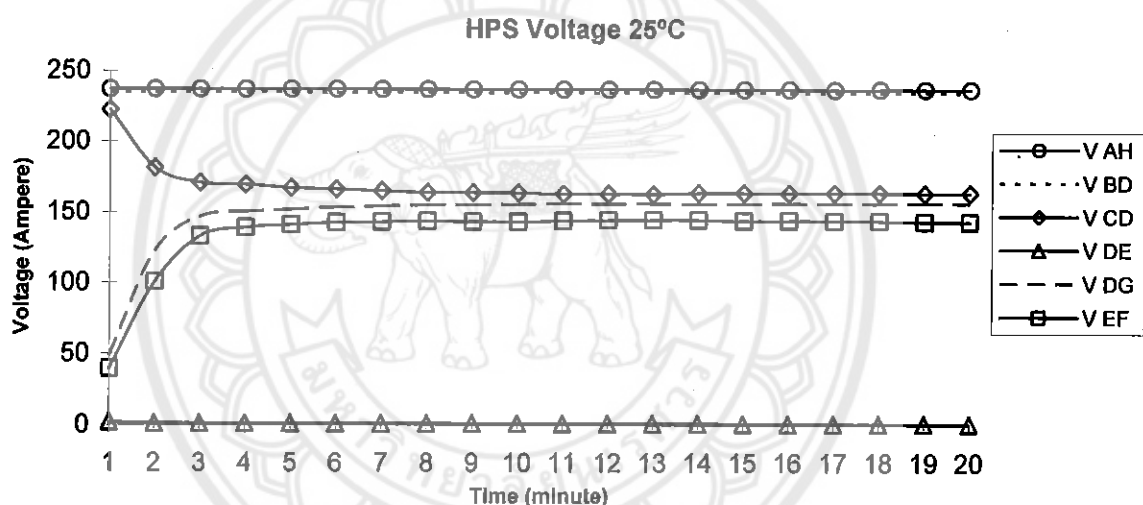
รูปที่ 4.48 แผนภูมิแสดงผลการวัดกระแสของวงจรหลอด ใช้เดินความคันสูงที่ 20°C

จากรูปที่ 4.48 จะเห็นว่า กระแสที่ไอลเข้าวงจร ( $I_A$ ) มีค่าสูงเมื่อเริ่มจุดจากนั้นก็ค่อยๆ ลดลงมาลงที่ โดยที่เวลา 1 นาที มีกระแส 2.6 แอมเปอร์ แล้วลดลงมาลงที่ 1.45 แอมเปอร์ ที่เวลา 7 นาที กระแสที่ไอลเข้าตัวจุดประจุ ( $I_B$ ) มีค่าคงที่ประมาณ 1.5 แอมเปอร์ ส่วนกระแสที่ไอลเข้าบัลลัสต์ ( $I_C$ ) กระแสที่ไอลเข้าตัวจุดหลอด ( $I_D$ ) และกระแสที่ไอลเข้าหลอดไฟ ( $I_E$ ) มีค่าสูงเมื่อเริ่มจุดจากนั้นก็ ค่อยๆ ลดลงมาลงที่ โดยที่เวลา 1 นาที มีกระแส 4.1 แอมเปอร์ แล้วลดลงมาลงที่ 2.3 แอมเปอร์ ที่เวลา 7 นาที

- หลอดโซเดียมความดันสูงที่อุณหภูมิ  $25^{\circ}\text{C}$

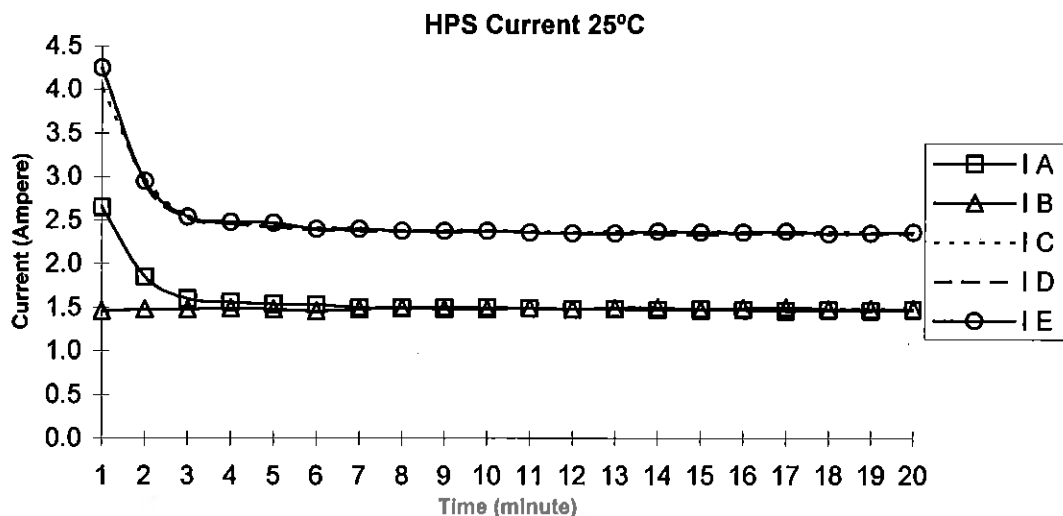


รูปที่ 4.49 หลอดโซเดียมความดันสูงที่อุณหภูมิ  $25^{\circ}\text{C}$



รูปที่ 4.50 แผนภูมิแสดงผลการวัดแรงดันของวงจรหลอดโซเดียมความดันสูงที่  $25^{\circ}\text{C}$

จากรูปที่ 4.50 จะเห็นว่า แรงดันที่จ่ายเข้าวงจร ( $V_{AH}$ ) และแรงดันที่ต่อกร่องบัลลลัคัสต์ ( $V_{BD}$ ) มีค่าใกล้เคียงกันและคงที่ที่ 237 โวลต์ แรงดันที่ต่อกร่องบัลลัคัสต์ ( $V_{CD}$ ) ในช่วงเริ่มจุดหลอดจะมีค่าสูงแล้วหลังจากนั้นก็ลดลงจนคงที่ โดยที่เวลา 1 นาที มีแรงดัน 222 โวลต์ แล้วลดลงมาคงที่ที่ 164 โวลต์ ที่เวลาประมาณ 9 นาที แรงดันที่ต่อกร่องตัวจุดหลอด ( $V_{DE}$ ) มีค่าน้อยและคงที่ ส่วนแรงดันที่ต่อกร่องหลอดไฟ ( $V_{EF}$ ) ในช่วงเริ่มจุดหลอดจะมีค่าต่ำ แล้วหลังจากนั้นก็เพิ่มขึ้นมาคงที่ โดยที่เวลา 1 นาที มีแรงดัน 39 โวลต์ แล้วเพิ่มขึ้นมาคงที่ที่ 144 โวลต์ ที่เวลาประมาณ 11 นาที เช่นเดียวกับแรงดันที่ต่อกร่องระหว่างหลอดไฟและตัวจุดหลอด ( $V_{DG}$ )



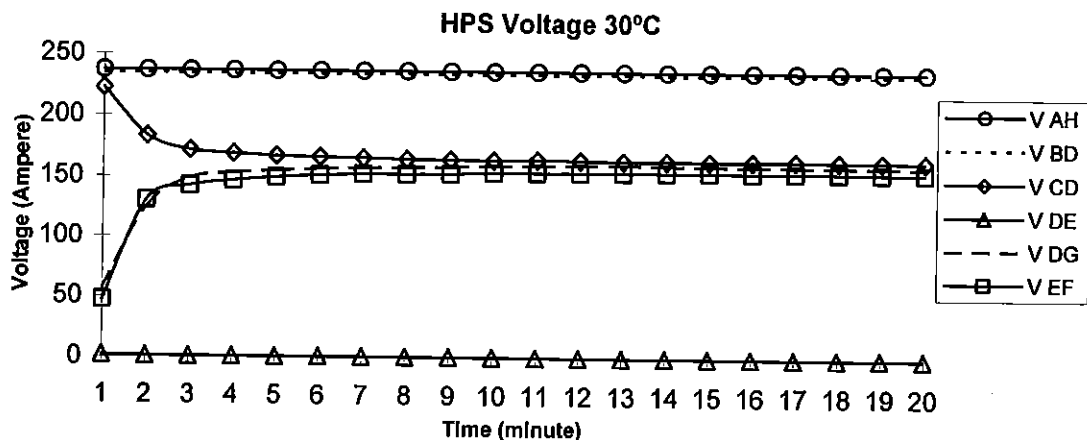
รูปที่ 4.51 แผนภูมิแสดงผลการวัดกระแสของวงจรหลอดไฟเดิมความคันสูงที่ 25°C

จากรูปที่ 4.51 จะเห็นว่า กระแสที่ไฟหล่อขาว (I<sub>A</sub>) มีค่าสูงเมื่อเริ่มจุดหลอดจากนั้นก็ค่อยๆ ลดลงมาคงที่ โดยที่เวลา 1 นาที มีกระแส 2.6 แอมเปอร์ แล้วลดลงมาคงที่ที่ 1.5 แอมเปอร์ ที่เวลา 7 นาที กระแสที่ไฟหล่อตัวเก็บประจุ (I<sub>B</sub>) มีค่าคงที่ประมาณ 1.5 แอมเปอร์ ส่วนกระแสที่ไฟหล่อขั้บคลาสต์ (I<sub>C</sub>) กระแสที่ไฟหล่อตัวจุดหลอด (I<sub>D</sub>) และกระแสที่ไฟหล่อหลอดไฟ (I<sub>E</sub>) มีค่าสูงเมื่อเริ่มจุดหลอดจากนั้นก็ค่อยๆ ลดลงมาคงที่ โดยที่เวลา 1 นาที มีกระแส 4.2 แอมเปอร์ แล้วลดลงมาคงที่ที่ 2.4 แอมเปอร์ ที่เวลา 6 นาที

- หลอดไฟเดิมความคันสูงที่อุณหภูมิ 30°C

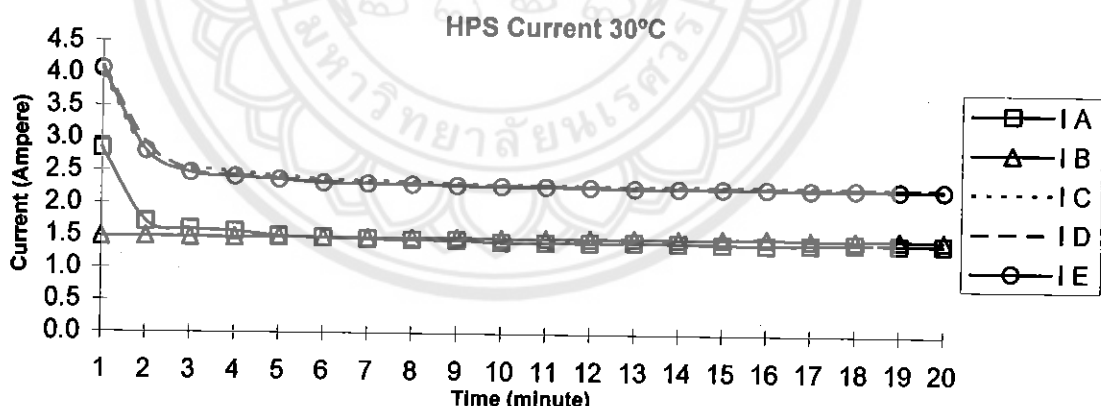


รูปที่ 4.52 หลอดไฟเดิมความคันสูงที่อุณหภูมิ 30°C



รูปที่ 4.53 แผนภูมิแสดงผลการวัดแรงดันของวงจรหลอด โฉดีบัมความคันสูงที่ 30°C

จากรูปที่ 4.53 จะเห็นว่า แรงดันที่จ่ายเข้าวงจร ( $V_{AH}$ ) และแรงดันที่ตอกคร่อมบัลลัสต์ ( $V_{BD}$ ) มีค่า ใกล้เคียงกันและคงที่ที่ 237 โวลต์ แรงดันที่ตอกคร่อมบัลลัสต์ ( $V_{CD}$ ) ในช่วงเริ่มจุดหลอดจะมีค่าสูงแล้ว หลังจากนั้นก็ลดลงจนคงที่ โดยที่เวลา 1 นาที มีแรงดัน 222 โวลต์ แล้วลดลงมาคงที่ที่ 165 โวลต์ ที่เวลา ประมาณ 8.5 นาที แรงดันที่ตอกคร่อมตัวจุดหลอด ( $V_{DE}$ ) มีค่าน้อยและคงที่ ส่วนแรงดันที่ตอกคร่อมหลอดไฟ ( $V_{EF}$ ) ในช่วงเริ่มจุดหลอดจะมีค่าต่ำ แล้วหลังจากนั้นก็เพิ่มขึ้นมาคงที่ โดยที่เวลา 1 นาที มี แรงดัน 47 โวลต์ แล้วเพิ่มขึ้นมาคงที่ที่ 154 โวลต์ ที่เวลาประมาณ 10 นาที เช่นเดียวกับแรงดันที่ตอก คร่อมระหว่างหลอดไฟและตัวจุดหลอด ( $V_{DG}$ )



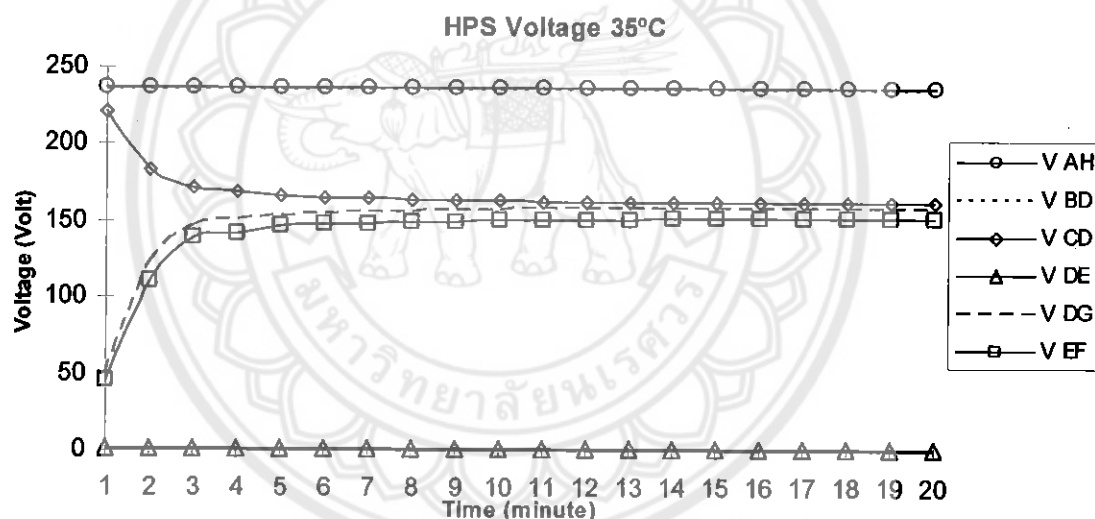
รูปที่ 4.54 แผนภูมิแสดงผลการวัดกระแสของวงจรหลอด โฉดีบัมความคันสูงที่ 30°C

จากรูปที่ 4.54 จะเห็นว่า กระแสที่ให้เลี้ยวเข้าวงจร ( $I_A$ ) มีค่าสูงเมื่อเริ่มจุดหลอดจากนั้นก็ค่อยๆ ลดลงมาคงที่ โดยที่เวลา 1 นาที มีกระแส 2.8 แอมเปอร์ แล้วลดลงมาคงที่ที่ 1.45 แอมเปอร์ ที่เวลา 8 นาที กระแสที่ให้เลี้ยวเข้าตัวเก็บประจุ ( $I_B$ ) มีค่าคงที่ประมาณ 1.5 แอมเปอร์ ส่วนกระแสที่ให้เลี้ยวนั้น ( $I_C$ ) กระแสที่ให้เลี้ยวเข้าตัวจุดหลอด ( $I_D$ ) และกระแสที่ให้เลี้ยวหลอดไฟ ( $I_E$ ) มีค่าสูงเมื่อเริ่มจุดหลอดจากนั้นก็ ค่อยๆ ลดลงมาคงที่ โดยที่เวลา 1 นาที มีกระแส 4.1 แอมเปอร์ แล้วลดลงมาคงที่ที่ 2.3 แอมเปอร์ ที่เวลา 9 นาที

- หลอดโซเดียมความดันสูงที่อุณหภูมิ  $35^{\circ}\text{C}$

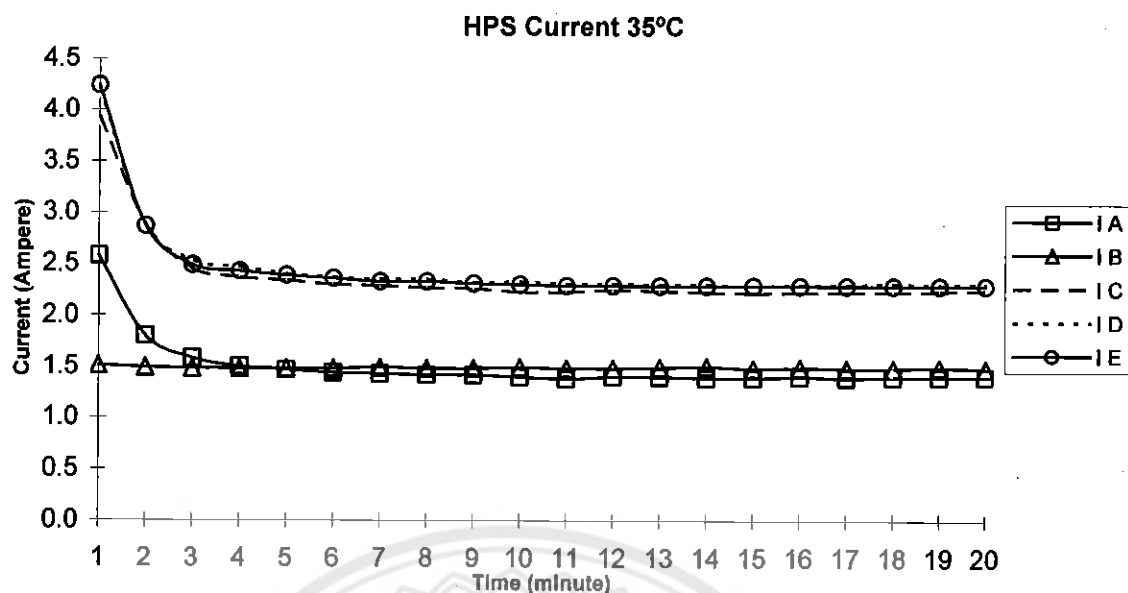


รูปที่ 4.55 หลอดโซเดียมความดันสูงที่อุณหภูมิ  $35^{\circ}\text{C}$



รูปที่ 4.56 แผนภูมิแสดงผลการวัดแรงดันของวงจรหลอดโซเดียมความดันสูงที่  $35^{\circ}\text{C}$

จากรูปที่ 4.56 จะเห็นว่า แรงดันที่จ่ายเข้าสู่หลอด (V<sub>AH</sub>) และแรงดันที่ต่อกลับบัลลูม (V<sub>BD</sub>) มีค่าใกล้เคียงกันและคงที่ที่ 237 โวลต์ แรงดันที่ต่อกลับบัลลูม (V<sub>CD</sub>) ในช่วงเริ่มตุ่นหลอดจะมีค่าสูงแล้วหลังจากนั้นก็ลดลงจนคงที่ โดยที่เวลา 1 นาที มีแรงดัน 221 โวลต์ แล้วลดลงมาคงที่ที่ 163 โวลต์ ที่เวลาประมาณ 13.5 นาที แรงดันที่ต่อกลับตัวจุดหลอด (V<sub>DE</sub>) มีค่าน้อยและคงที่ ส่วนแรงดันที่ต่อกลับไฟ (V<sub>EF</sub>) ในช่วงเริ่มตุ่นหลอดจะมีค่าต่ำ แล้วหลังจากนั้นก็เพิ่มขึ้นจนคงที่ โดยที่เวลา 1 นาที มีแรงดัน 45 โวลต์ แล้วเพิ่มขึ้นมาคงที่ที่ 151 โวลต์ ที่เวลาประมาณ 12 นาที เช่นเดียวกับแรงดันที่ต่อกลับระหว่างหลอดไฟและตัวจุดหลอด (V<sub>DG</sub>)

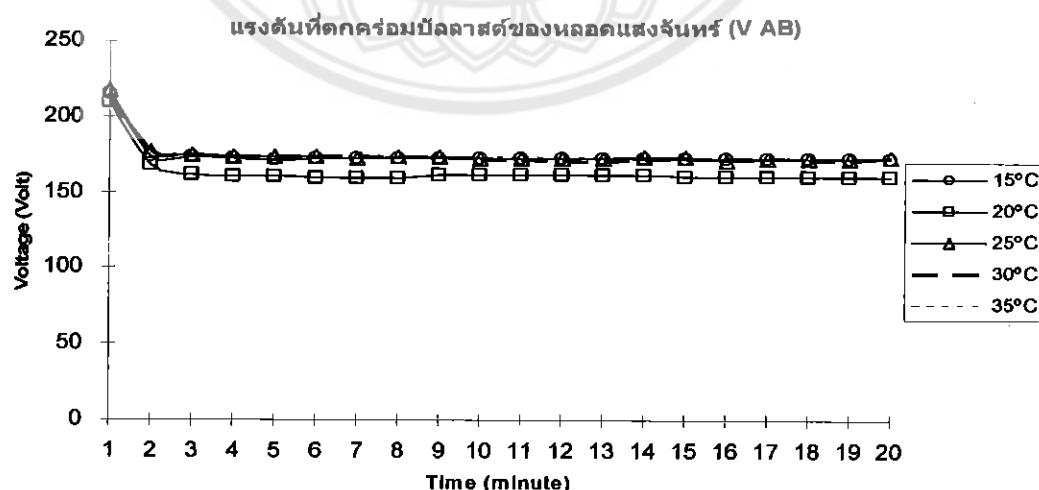


รูปที่ 4.57 แผนภูมิแสดงผลการวัดกระแสของวงจรหลอดไฟเดิมความคันสูงที่ 35°C

จากรูปที่จะเห็นว่า กระแสที่ไฟล์เข้าวงจร ( $I_A$ ) มีค่าสูงเมื่อเริ่มจุดติดขากันก็ค่อยๆ ลดลงมาคงที่ โดยที่เวลา 1 นาที มีกระแส 2.6 แอมเปอร์ แล้วลดลงมาคงที่ที่ 1.4 แอมเปอร์ ที่เวลา 10 นาที กระแสที่ไฟล์เข้าตัวเก็บประจุ ( $I_B$ ) มีค่าคงที่ประมาณ 1.5 แอมเปอร์ ส่วนกระแสที่ไฟล์เข้าบลัลลส์ ( $I_C$ ) กระแสที่ไฟล์เข้าหัวจุดติด ( $I_D$ ) และกระแสที่ไฟล์เข้าหลอดไฟ ( $I_E$ ) มีค่าสูงเมื่อเริ่มจุดติดขากันก็ค่อยๆ ลดลงมาคงที่ โดยที่เวลา 1 นาที มีกระแส 4.2 แอมเปอร์ แล้วลดลงมาคงที่ที่ 2.3 แอมเปอร์ ที่เวลา 10 นาที

#### 4.3 เปรียบเทียบแรงดันและกระแสของอุณหภูมิต่างๆ

##### 4.3.1 หลอดแสงจันทร์



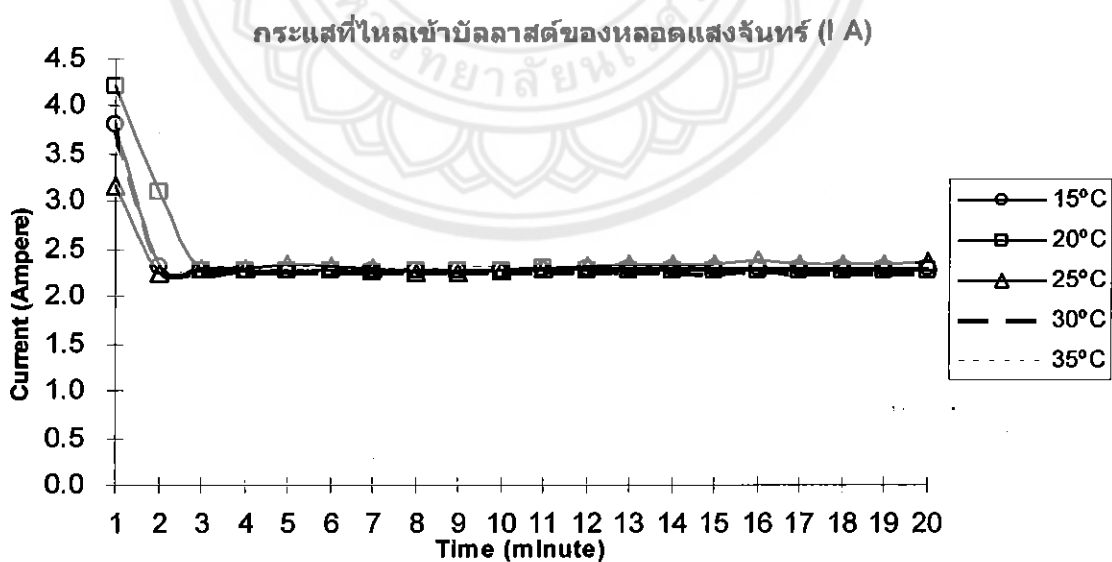
รูปที่ 4.58 แผนภูมิแสดงผลการวัดแรงดันที่ตอกคร่อมบลัลลส์ของหลอดแสงจันทร์ที่อุณหภูมิต่างๆ

จากรูปที่ 4.58 จะเห็นว่าอุณหภูมิไม่มีผลกระทบต่อ หน้าที่ของการขุดหลอดแสงจันทร์เลย แรงดันที่ตกคร่อมบัลลาราสต์กึ่งคงทำงานเป็นปกติ ส่วนแรงดันตกคร่อมบัลลาราสต์ของหลอดแสงจันทร์ที่ อุณหภูมิ  $20^{\circ}\text{C}$  นั้น เกิดจากแรงดันจ่ายเข้าสู่วงจร ( $V_{AC}$ ) ที่ต่ำกว่านั้นเอง



รูปที่ 4.59 แผนภูมิแสดงผลการวัดแรงดันที่ตกคร่อมหลอดแสงจันทร์ที่อุณหภูมิต่างๆ

จากรูปที่ 4.59 จะเห็นว่าอุณหภูมิที่ลดลงไป ไม่มีผลกระทบต่อหน้าที่ในการขุดหลอดของ แรงดันที่ตกคร่อมหลอดแสงจันทร์ ( $V_{EF}$ ) เลย แผนภูมิของแรงดันแต่ละอุณหภูมิกึ่งคงเป็นไปตามปกติ



รูปที่ 4.60 แผนภูมิแสดงผลการวัดกระแสที่ไหลเข้าบัลลาราสต์ของหลอดแสงจันทร์ที่อุณหภูมิต่างๆ

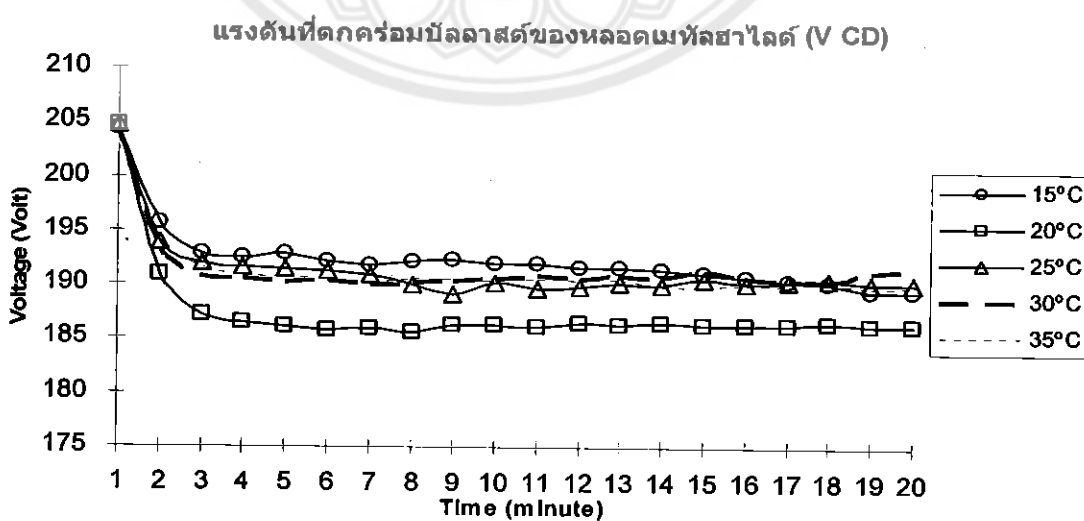
จากรูปที่ 4.60 จะเห็นว่าอุณหภูมิที่ลดลงไป ไม่มีผลกระทบต่อหน้าที่ของกระแสที่ไหลเข้าบลัตตาส์ ในการจุดหลอดแสงจันทร์เลย แผนภูมิของกระแสแต่ละอุณหภูมิก็ยังคงเป็นไปตามปกติ ส่วนที่เห็นแตกต่างในช่วง 4 นาทีแรกนั้น เกิดจากการใช้เครื่องมือวัดต่างชนิดกัน



รูปที่ 4.61 แผนภูมิแสดงผลการวัดกระแสที่ไหลเข้าหลอดแสงจันทร์ที่อุณหภูมิต่างๆ

จากรูปที่ 4.61 จะเห็นว่าอุณหภูมิที่ลดลงไป ไม่มีผลกระทบต่อหน้าที่ของกระแสในการจุดหลอดแสงจันทร์เลย แผนภูมิของกระแสแต่ละอุณหภูมิก็ยังคงเป็นไปตามปกติ

#### 4.3.2 หลอดเมทัลไฮดีค์



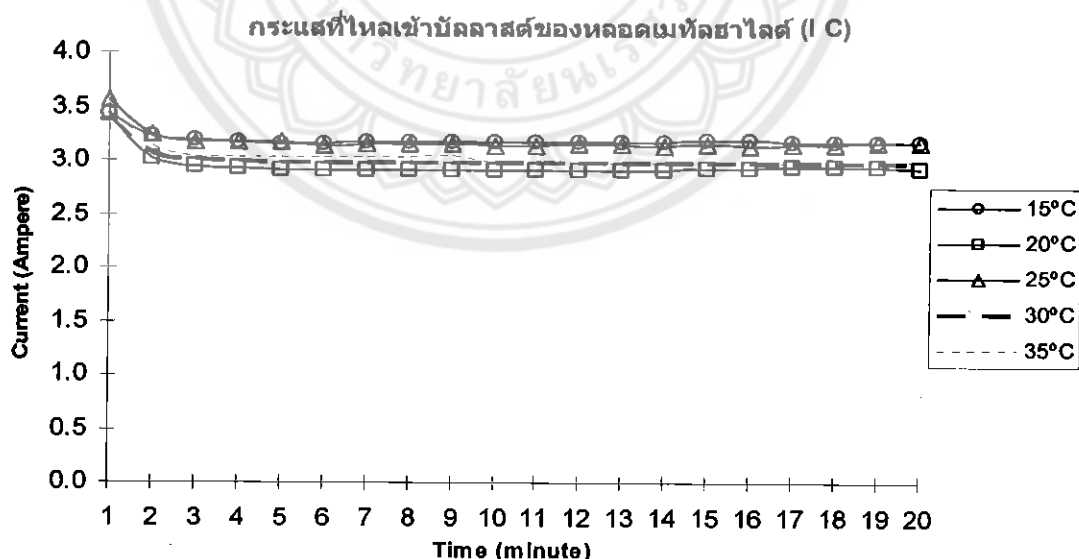
รูปที่ 4.62 แผนภูมิแสดงผลการวัดแรงดันที่ดักคร่อมบลัตตาส์ของหลอดเมทัลไฮดีค์ที่อุณหภูมิต่างๆ

จากรูปที่ 4.62 จะเห็นว่าอุณหภูมิที่ลดลงไป ไม่มีผลกระทบต่อหน้าที่ของแรงดันที่ต่อกคร่องบัลลาสต์ในการจุดหลอดเคมีทัลยาไอล์ด์เลย แผนภูมินี้ของแรงดันแต่ละอุณหภูมิก็ยังคงเป็นไปตามปกติ ส่วนแรงดันต่อกคร่องบัลลาสต์ของหลอดเคมีทัลยาไอล์ดที่อุณหภูมิ  $20^{\circ}\text{C}$  นั้น เกิดจากแรงดันจ่ายเข้าสู่วงจร ( $V_{AC}$ ) ที่ต่ำกว่าเดิม



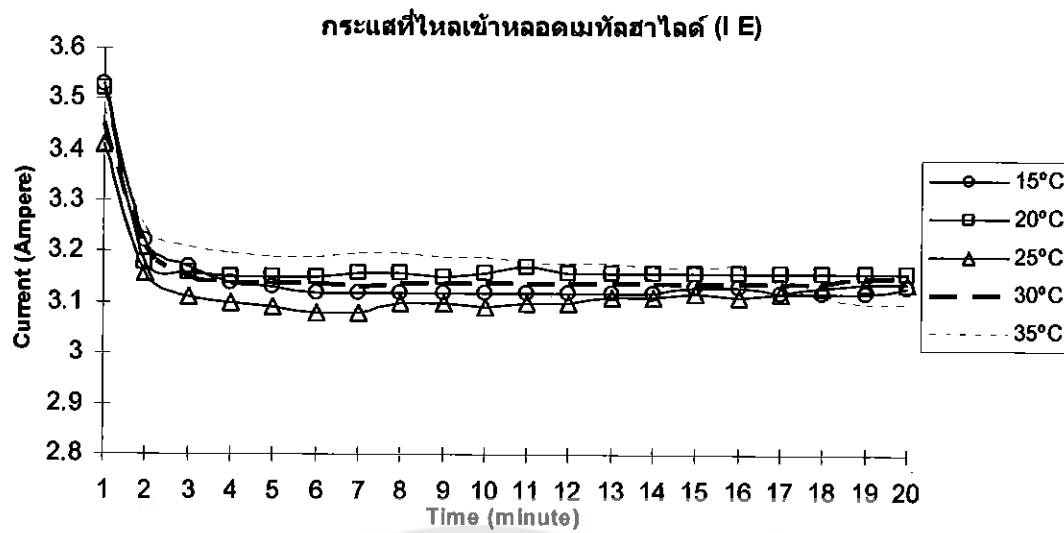
รูปที่ 4.63 แผนภูมิแสดงผลการวัดแรงดันที่ต่อกคร่องหลอดเคมีทัลยาไอล์ดที่อุณหภูมิต่างๆ

จากรูปที่ 4.63 จะเห็นว่าอุณหภูมิที่ลดลงไป ไม่มีผลกระทบต่อหน้าที่ของแรงดัน ในการจุดหลอดเคมีทัลยาไอล์ดเลย แผนภูมินี้การทำงานของแรงดันแต่ละอุณหภูมิก็ยังคงเป็นไปตามปกติ



รูปที่ 4.64 แผนภูมิแสดงผลการวัดกระแสที่ไหลเข้าบัลลาสต์ของหลอดเคมีทัลยาไอล์ดที่อุณหภูมิต่างๆ

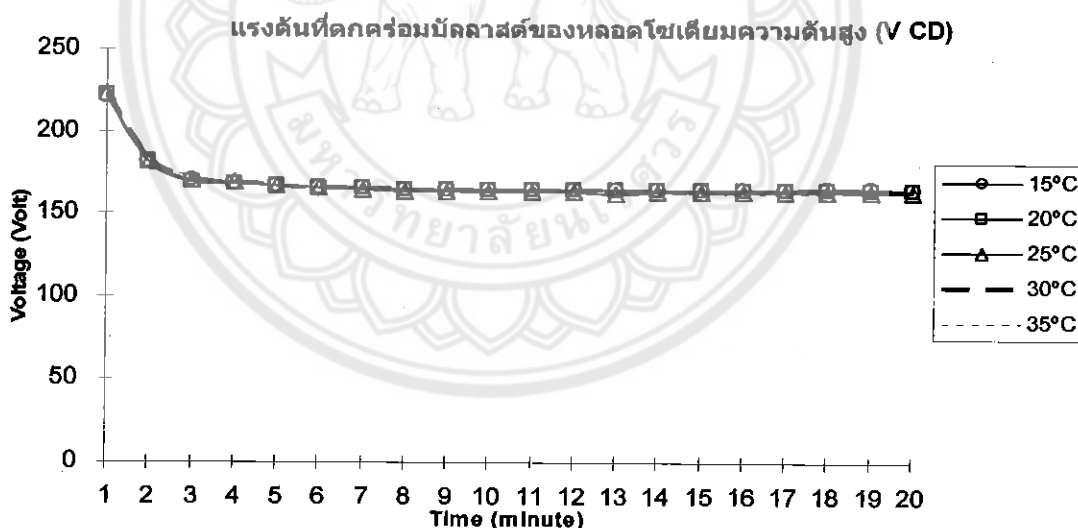
จากรูปที่ 4.64 จะเห็นว่าอุณหภูมิที่ลดลงไป ไม่มีผลกระทบต่อหน้าที่ของกระแสที่ไหลเข้าบัลลาสต์ ในการจุดหลอดเคมีทัลยาไอล์ดเลย แผนภูมินี้ของกระแสแต่ละอุณหภูมิก็ยังคงเป็นไปตามปกติ



รูปที่ 4.65 แผนภูมิแสดงผลการวัดกระแสที่ไหลเข้าหลอดเมทัลไฮดีตที่อุณหภูมิต่างๆ

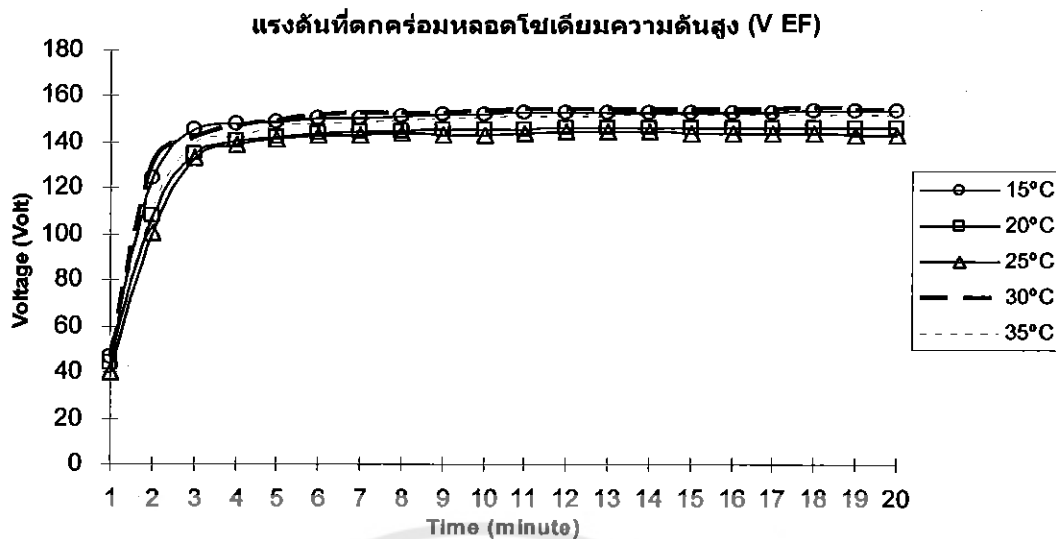
จากรูปที่ 4.65 จะเห็นว่าอุณหภูมิที่ลดลงไป ไม่มีผลกระทบต่อหน้าที่ของกระแส ในการจุดหลอดเมทัลไฮดีตเลย แผนภูมิของกระแสแต่ละอุณหภูมิก็ยังคงเป็นไปตามปกติ

#### 4.3.3 หลอดโซเดียมความดันสูง



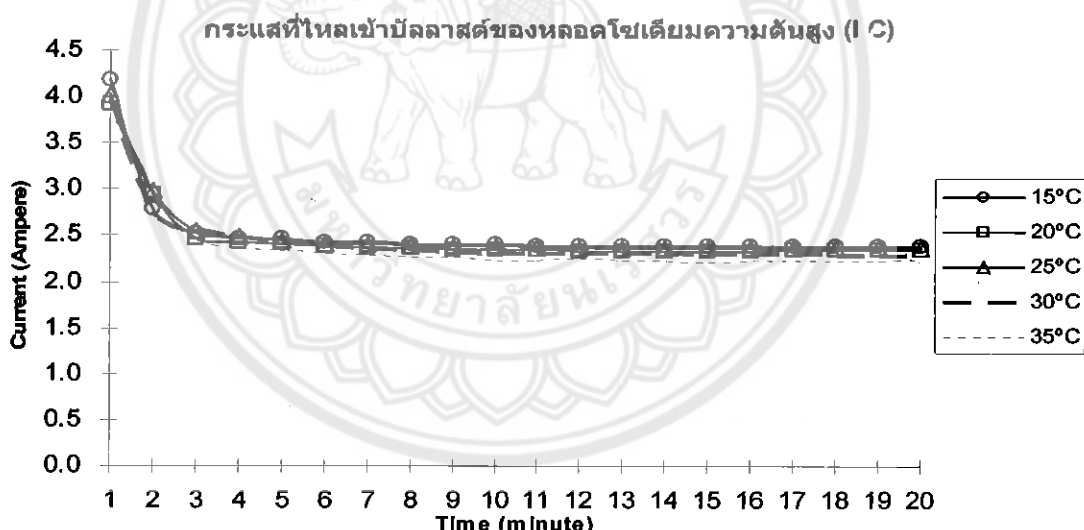
รูปที่ 4.66 แผนภูมิแสดงผลการวัดแรงดันที่ต่อกครับร่องบัลลาสต์หลอดโซเดียมความดันสูงที่อุณหภูมิต่างๆ

จากรูปที่ 4.66 จะเห็นว่าอุณหภูมิที่ลดลงไป ไม่มีผลกระทบต่อหน้าที่ของแรงดันที่ต่อกครับร่องบัลลาสต์ ในการจุดหลอดโซเดียมความดันสูงเลย แผนภูมิของแรงดันแต่ละอุณหภูมิก็ยังคงเป็นไปตามปกติ



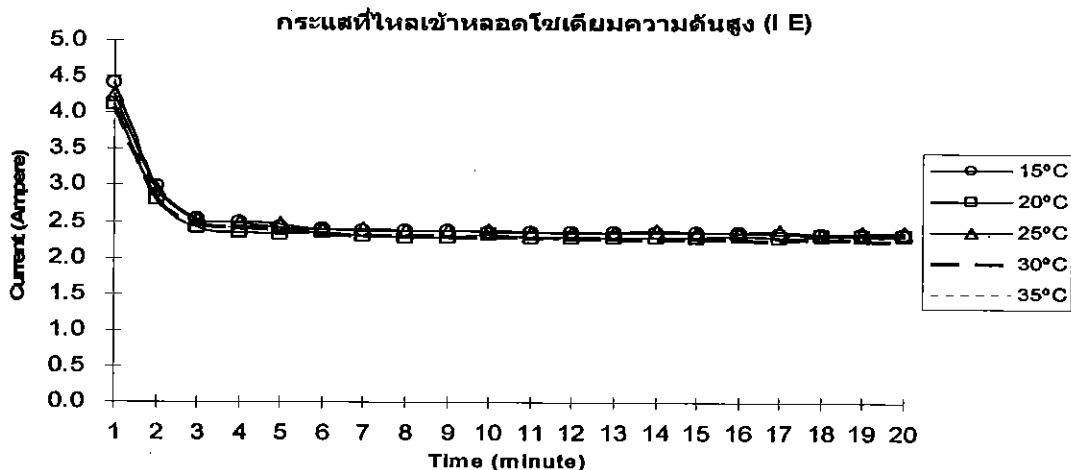
รูปที่ 4.67 แผนภูมิแสดงผลการวัดแรงดันที่ตอกคร่อมนลอดโซ่เดิมความดันสูงที่อุณหภูมิต่างๆ

จากรูปที่ 4.67 จะเห็นว่าอุณหภูมิที่ลดลงไป ไม่มีผลกระทบต่อหน้าที่ของแรงดัน ในการจุดหลอดโซ่เดิมความดันสูงเลข แผนภูมิของแรงดันแต่ละอุณหภูมิก็ยังคงเป็นไปตามปกติ



รูปที่ 4.68 แผนภูมิแสดงผลการวัดกระแสที่ไอลเข้าบลัลลาส์หลอดโซ่เดิมความดันสูงที่อุณหภูมิต่างๆ

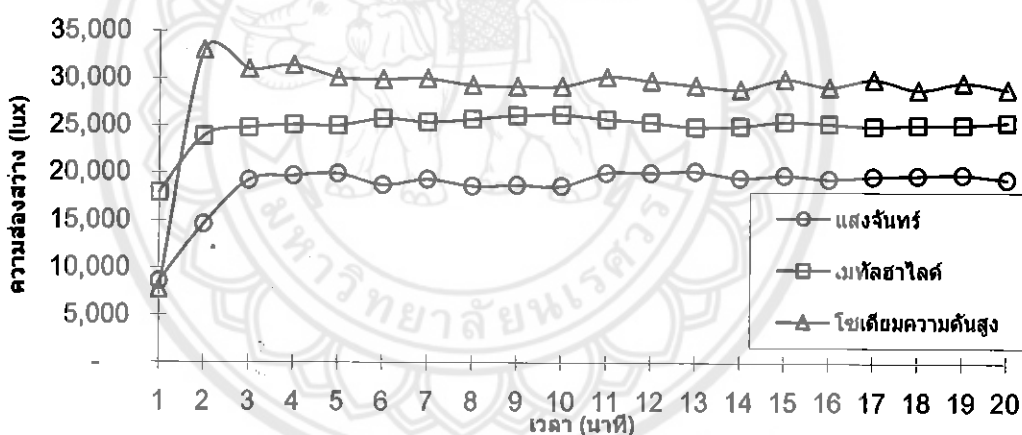
จากรูปที่ 4.68 จะเห็นว่าอุณหภูมิที่ลดลงไป ไม่มีผลกระทบต่อหน้าที่ของกระแสที่ไอลเข้าบลัลลาส์ ในการจุดหลอดโซ่เดิมความดันสูงเลข แผนภูมิของกระแสแต่ละอุณหภูมิก็ยังคงเป็นไปตามปกติ



รูปที่ 4.69 แผนภูมิแสดงผลการวัดกระแสที่ไหลเข้าหลอดไฟเดิมความดันสูงที่อุณหภูมิต่างๆ

จากรูปที่ 4.69 จะเห็นว่าอุณหภูมิที่ลดลงไป ไม่มีผลกระทบต่อหน้าที่ของกระแส ในการจุดหลอดไฟเดิมความดันสูงเลย แผนภูมิของกระแสแต่ละอุณหภูมิก็ยังคงเป็นไปตามปกติ

#### 4.4 ผลการวัดค่าความส่องสว่าง



รูปที่ 4.70 แผนภูมิแสดงผลการวัดความส่องสว่างของหลอดปล่อยประจุความเข้มสูงทั้ง 3 ชนิด

จากรูปที่จะเห็นว่า ความส่องสว่างของหลอดปล่อยประจุความเข้มสูงมีค่าน้อยเมื่อเริ่มจุดหลอดจากนั้นก็เพิ่มขึ้นจนไปคงที่ที่เวลาหนึ่ง โดยความส่องสว่างของหลอดแสงจันทร์มีค่า 8,600 ลักซ์ ที่เวลา 1 นาที และเพิ่มขึ้นเป็น 19,200 ลักซ์ ที่เวลา 3 นาที จากนั้นก็ค่อยๆ เพิ่มขึ้นเรื่อยๆ จนไปคงที่ที่ 20,000 ลักซ์ ที่เวลา 11 นาที ส่วนความส่องสว่างของหลอดเมทัลไฮด์มีค่า 18,000 ลักซ์ ที่เวลา 1 นาที และเพิ่มขึ้นเป็น 24,000 ลักซ์ ที่เวลา 2.5 นาที จากนั้นก็ค่อยๆ เพิ่มขึ้นเรื่อยๆ จนไปคงที่ที่ 25,500 ลักซ์ ที่เวลา 15 นาที และความส่องสว่างของหลอดโซเดียมความเข้มสูงมีค่า 7,700 ลักซ์ ที่เวลา 1 นาที และเพิ่มขึ้นเป็น 33,000 ลักซ์ ที่เวลา 2 นาที จากนั้นก็ค่อยๆ ลดลงเรื่อยๆ จนไปคงที่ที่ 30,000 ลักซ์ ที่เวลา 11 นาที โดยที่ ความส่องสว่างของหลอดโซเดียมความดันสูงจะมากกว่าความส่องสว่างของหลอดเมทัลไฮด์ และมากกว่าความส่องสว่างของหลอดแสงจันทร์ ตามลำดับ

## บทที่ 5

### วิเคราะห์และสรุปผลของโครงการ

#### 5.1 วิเคราะห์แรงดันและกระแส

จากข้อมูลในบทที่ 4 พบว่า ขณะที่หลอดคลื่นอยู่ในอุณหภูมิสูงทั้ง 3 แบบทำงานนั้น จะมีกระแสที่ไหลเข้าสู่หลอดไฟสูง ประมาณ 4 แอมป์ ขณะเดียวกันแรงดันต่ำกว่า 3 บาร์ ของหลอดคลื่นอยู่ในอุณหภูมิสูง จะสอดคล้องกับกระแสของหลอดไฟ โดยเฉพาะอย่างยิ่งพบว่าหลอดไฟมีค่าไอล์ดิ้งกัน ซึ่งแตกต่างกับหลอดอีก 2 แบบ

#### 5.2 วิเคราะห์แรงดันและกระแสที่อุณหภูมิต่างๆ

พบว่า ที่ช่วงอุณหภูมิ 15°C ถึง 35°C นี้ ไม่มีผลกระทบต่อหน้าที่การทำงานของหลอดไฟ และอุปกรณ์ภายในวงจรเลย หลอดไฟและอุปกรณ์ภายในวงจรก็ยังคงทำงานเป็นปกติ

#### 5.3 วิเคราะห์ความส่องสว่าง

ค่าความส่องสว่างของหลอดคลื่นอยู่ในอุณหภูมิสูงนี้ค่าต่างกันตามชนิดของหลอดไฟ โดยที่หลอดไฟมีความสูง จะมีความส่องสว่างมากที่สุด ส่วนหลอดเคมีทัลยาไอล์ด์ความส่องสว่างเมื่อเริ่มนุ่งหลอดกับช่วงชุกหลอดสารีรแล้วไม่ต่างกันมากนัก และสูตรท้ายหลอดแสงจันทร์ มีความส่องสว่างน้อยที่สุด

#### 5.4 สรุปผลของโครงการ

ในการทำโครงการนี้ทำให้เข้าใจถึงการทำงานของหลอดไฟมากขึ้น โดยเฉพาะหลอดคลื่นอยู่ในอุณหภูมิสูงทั้ง 3 ประเภทนี้ พบว่ามีคุณลักษณะการทำงานของกระแสและแรงดัน ที่บัลลาสต์ และหลอดไฟคล้ายคลึงกัน แม้ว่าอุณหภูมิของสิ่งแวดล้อมจะเปลี่ยนแปลง แต่การทำงานก็ยังคงเป็นปกติ โดยที่หลอดไฟมีความสูงนี้ค่าต่างกันมากที่สุด รองลงมาคือหลอดเคมีทัลยาไอล์ด์ และสูตรท้ายหลอดแสงจันทร์มีความส่องสว่างน้อยที่สุด

#### 5.5 ข้อเสนอแนะ

- การเพิ่มน้ำด้วยหลอดไฟและชนิดของบัลลาสต์ที่ใช้ในการศึกษา ให้มีขนาดที่หลากหลาย และทันสมัยมากขึ้น
- อุปกรณ์ที่ใช้ควรมีความคลาดเคลื่อน เมื่อจากเครื่องวัดต่างชนิดกัน จึงควรใช้เครื่องวัดชนิดเดียวกันและมี ปุ่มถังค่า (HOLD) เพื่อที่จะได้ค่าที่แม่นยำตามช่วงเวลาที่ต้องการ
- เมื่อวัดกระแสพร้อมกันหลายค่า ควรไม่ทำงาน

## เอกสารอ้างอิง

- [1] [<http://astralighting.co.in/>], สืบค้นวันที่ 20 กันยายน 2552
- [2] [[http://www.geocities.com/light\\_ting/](http://www.geocities.com/light_ting/)], สืบค้นวันที่ 20 กันยายน 2552
- [3] ชนบูรณะ ศศิภานุเดช. การออกแบบระบบแสงสว่าง. กรุงเทพฯ : บริษัท ซีเอ็ดьюเคชั่น จำกัด, 2544
- [4] [<http://www.thaielectrics.com/>], สืบค้นวันที่ 20 กันยายน 2552
- [5] [<http://www.rollitup.org/>], สืบค้นวันที่ 20 กันยายน 2552
- [6] [<http://www.nationallampsandcomponents.co.uk/>], สืบค้นวันที่ 20 กันยายน 2552
- [7] [<http://www.bikudo.com/>], สืบค้นวันที่ 20 กันยายน 2552
- [8] [<http://www.northerntool.com/>], สืบค้นวันที่ 20 กันยายน 2552
- [9] [<http://en.chaina.cn/>], สืบค้นวันที่ 20 กันยายน 2552
- [10] [<http://www.ge-lightingsystems.com/>], สืบค้นวันที่ 20 กันยายน 2552
- [11] [<http://www.drillspot.com/>], สืบค้นวันที่ 20 กันยายน 2552
- [12] [[http://irrigation.rid.go.th/rid8/royal\\_coin/electrical/illumination/](http://irrigation.rid.go.th/rid8/royal_coin/electrical/illumination/)], สืบค้นวันที่ 20 กันยายน 2552
- [13] บทเรียนบนเครือข่ายอินเตอร์เน็ต. การออกแบบระบบแสงสว่าง. ภาควิชาครุศาสตร์ไฟฟ้า สาขา  
วิศวกรรมไฟฟ้ากำลัง มหาวิทยาลัยเทคโนโลยีพระจอมเกล้าธนบุรี, 2550
- [14] สมาคมไฟฟ้าแสงสว่างแห่งประเทศไทย. โคมไฟโรงงานปล่อยประดุจความดันไอสูง. สืบค้นจาก  
[[http://irrigation.rid.go.th/rid8/royal\\_coin/electrical/illumination/luminaire.html](http://irrigation.rid.go.th/rid8/royal_coin/electrical/illumination/luminaire.html)]
- [15] ชาญศักดิ์ อภัยนิพัฒน์. เทคนิคการออกแบบระบบแสงสว่าง. กรุงเทพฯ : สมาคมส่งเสริมเทคโนโลยี  
(ไทย-ญี่ปุ่น), 2542
- [16] ดร. ชำนาญ ห่อเกียรติ. เทคนิคการส่องสว่าง. กรุงเทพฯ : มหาวิทยาลัยเกษตรศาสตร์, 2540
- [17] ศุภี บรรจงจิตร. วิศวกรรมส่องสว่าง. กรุงเทพฯ : สถาบันเทคโนโลยีพระจอมเกล้าเจ้าคุณทหาร  
ลาดกระบัง ภาคพิเศษ, 2544
- [18] พิมูล ดิบัญชุตุณ. การออกแบบระบบแสงสว่าง. กรุงเทพฯ : บริษัท ซีเอ็ดьюเคชั่น จำกัด, 2535
- [19] ดร. ณรงค์ นั่งคลั่ง. วิศวกรรมส่องสว่าง. สืบค้นจาก [[http://www.geocities.com/light\\_ting/](http://www.geocities.com/light_ting/)]
- [20] บริษัท แสตนด์อฟลีกทริก จำกัด. วิศวกรรมระบบไฟฟ้าแสงสว่าง. บริษัท แสตนด์อฟลีกทริก จำกัด,  
2545
- [21] Harvey Hubbell. "Hubbell Lighting". Available [<http://www.hubbell-itg.com/products/browse/highbay.asp>]





รูปที่ ผ1 หลอดแสงจันทร์



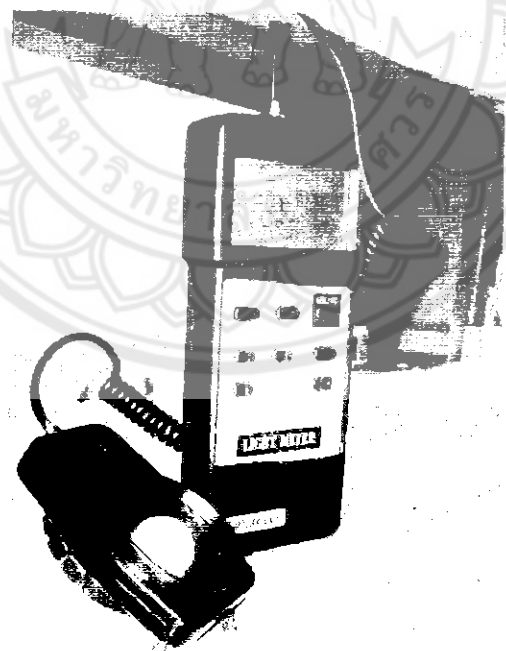
รูปที่ ผ3 หลอดโซเดียมความดันสูง

รูปที่ ผ4 บลลาสต์สำหรับหลอดโซเดียมความดันสูงหรือหลอดเคมทัลยาไอล์

## G-CAL

เครื่องวัดความเข้มแสง  
แบบดิจิตอล

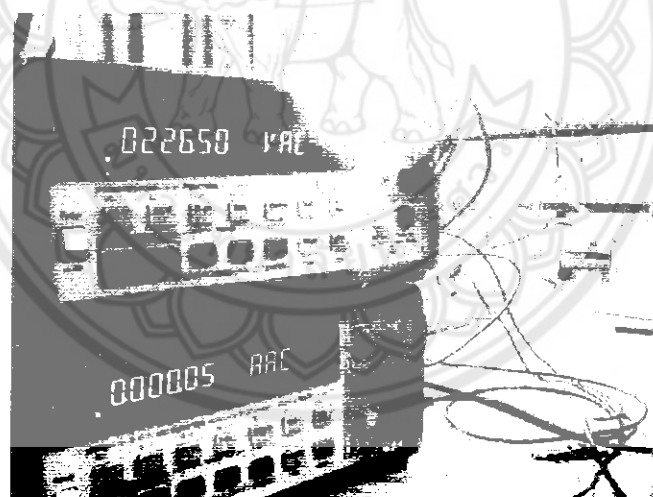
รูปที่ ๘๕ ตัวบุคคลอค



รูปที่ ๘๖ เครื่องวัดความเข้มแสง



รูปที่ ๘ เครื่องวัตถุทางภูมิแบบอินฟาร์ด



รูปที่ ๙ มัลติมิเตอร์

## ข้อมูลการบันทึกค่า

ตารางข้อมูลที่ 1 ผลการวัดแรงดันและกระแสของวงจรหลอดแสงจันทร์

เวลา (นาที)	แรงดัน (โวลต์)			กระแส (แอมป์ร์)	
	$V_{AC}$	$V_{AB}$	$V_{BC}$	$I_A$	$I_B$
1	234.2	212.9	73.4	3.88	3.98
2	234.2	173.2	131.1	2.40	2.43
3	234.2	172.4	132.4	2.38	2.42
4	234.3	172.0	132.5	2.35	2.39
5	234.2	172.0	132.6	2.36	2.40
6	234.2	171.9	132.7	2.37	2.41
7	234.2	172.0	132.5	2.37	2.41
8	234.1	172.0	133.1	2.36	2.40
9	234.2	172.4	133.2	2.36	2.39
10	234.2	172.6	132.6	2.36	2.41
11	234.1	172.9	132.7	2.37	2.40
12	234.1	172.8	132.6	2.38	2.39
13	234.0	172.7	132.8	2.38	2.38
14	234.0	172.8	132.6	2.37	2.38
15	234.0	172.7	132.6	2.37	2.40
16	234.3	172.0	132.4	2.37	2.39
17	234.2	172.4	132.5	2.37	2.40
18	234.2	172.6	132.6	2.36	2.41
19	234.2	172.9	132.7	2.36	2.41
20	234.1	172.8	132.5	2.36	2.40

ตารางข้อมูลที่ 2 ผลการวัดแรงดันและกระแสของวงจรหลอดแสงจันทร์ที่ 15°C

เวลา (นาที)	แรงดัน (โวลต์)			กระแส (แอมป์ร์)	
	V <sub>AC</sub>	V <sub>AB</sub>	V <sub>BC</sub>	I <sub>A</sub>	I <sub>B</sub>
1	299.24	215.3	55.1	3.82	3.78
2	299.15	174.0	126.6	2.31	2.32
3	299.07	173.8	128.1	2.28	2.30
4	299.30	172.9	128.5	2.28	2.29
5	299.36	171.8	128.7	2.28	2.3
6	299.32	178.0	128.5	2.28	2.29
7	299.14	172.9	128.3	2.28	2.28
8	299.26	172.3	128.7	2.28	2.29
9	299.25	172.5	128.2	2.28	2.28
10	299.65	172.3	128.6	2.28	2.30
11	299.61	172.5	128.4	2.28	2.30
12	299.84	172.4	128.5	2.29	2.30
13	299.95	172.6	128.4	2.29	2.30
14	299.85	172.6	128.5	2.29	2.29
15	299.94	172.9	128.5	2.29	2.29
16	299.95	172.5	128.7	2.29	2.30
17	230.11	172.4	128.8	2.30	2.32
18	299.97	172.7	128.7	2.29	2.31
19	299.94	172.0	129.4	2.29	2.29
20	230.12	172.0	128.7	2.30	2.29

ตารางข้อมูลที่ 3 ผลการวัดแรงดันและกระแสของวงจรหลอดแสงจันทร์ที่ 20°C

เวลา (นาที)	แรงดัน (โวลต์)			กระแส (แอมเปอร์)	
	V <sub>AC</sub>	V <sub>AB</sub>	V <sub>BC</sub>	I <sub>A</sub>	I <sub>B</sub>
1	223.1	209.68	54.83	4.21	3.77
2	223.0	168.28	122.23	3.1	2.84
3	222.9	161.92	130.84	2.28	2.17
4	223.0	160.33	131.14	2.28	2.19
5	223.0	160.47	131.84	2.28	2.16
6	222.9	159.83	131.91	2.28	2.16
7	223.0	159.14	131.96	2.26	2.15
8	223.0	159.74	130.98	2.27	2.14
9	223.0	161.62	131.16	2.28	2.15
10	222.8	161.70	131.19	2.28	2.17
11	222.6	161.43	131.20	2.29	2.17
12	222.7	161.12	131.11	2.28	2.16
13	222.6	161.18	131.02	2.28	2.15
14	222.5	161.39	130.88	2.27	2.14
15	222.5	160.97	130.96	2.28	2.15
16	222.5	160.85	130.77	2.28	2.11
17	222.5	160.64	131.24	2.28	2.12
18	222.5	160.62	130.90	2.28	2.17
19	222.5	160.90	130.97	2.28	2.16
20	222.5	160.42	131.03	2.28	2.15

ตารางข้อมูลที่ 4 ผลการวัดแรงดันและกระแสของวงจรหลอดแสงจันทร์ที่ 25°C

เวลา (นาที)	แรงดัน (โวลต์)			กระแส (แอมป์ร์)	
	V <sub>AC</sub>	V <sub>AB</sub>	V <sub>BC</sub>	I <sub>A</sub>	I <sub>B</sub>
1	237.14	217.0	52.7	3.80	3.83
2	237.44	176.5	127.4	2.26	2.13
3	237.37	174.4	129.0	2.30	2.18
4	237.32	173.5	129.8	2.30	2.19
5	237.29	173.6	130.4	2.34	2.22
6	237.24	173.5	130.9	2.31	2.17
7	237.32	173.0	131.0	2.29	2.19
8	237.63	173.1	130.8	2.26	2.14
9	237.69	173.2	130.8	2.25	2.13
10	237.57	172.5	131.6	2.27	2.16
11	237.40	172.9	131.2	2.29	2.17
12	237.30	172.9	131.4	2.31	2.19
13	237.28	172.3	131.6	2.33	2.21
14	237.19	173.5	131.1	2.33	2.20
15	237.21	173.3	131.0	2.35	2.23
16	237.21	171.2	131.5	2.39	2.29
17	237.23	172.6	131.7	2.35	2.24
18	237.22	173.0	131.1	2.34	2.23
19	237.19	172.6	131.2	2.35	2.23
20	237.20	173.6	131.3	2.36	2.23

ตารางข้อมูลที่ 5 ผลการวัดแรงดันและกระแสของวงจรหลอดแสงจันทร์ที่ 30°C

เวลา (นาที)	แรงดัน (โวลต์)			กระแส (แอมป์ร์)	
	V <sub>AC</sub>	V <sub>AB</sub>	V <sub>BC</sub>	I <sub>A</sub>	I <sub>B</sub>
1	227.84	213.1	61.2	3.75	3.50
2	227.92	177.2	129.4	2.30	2.44
3	227.88	174.2	130.5	2.26	2.38
4	227.91	173.8	131.7	2.25	2.38
5	228.00	173.9	131.6	2.25	2.40
6	228.02	173.7	132.6	2.25	2.37
7	227.66	174.0	132.0	2.25	2.38
8	226.56	173.8	132.0	2.25	2.38
9	226.54	173.4	132.7	2.25	2.37
10	226.60	171.9	133.7	2.25	2.37
11	226.51	171.3	134.2	2.24	2.36
12	226.45	171.8	133.6	2.24	2.35
13	226.44	170.4	135.2	2.25	2.34
14	226.41	172.9	132.9	2.24	2.34
15	226.38	172.8	133.6	2.23	2.36
16	226.37	172.3	133.5	2.24	2.34
17	226.32	172.6	132.7	2.23	2.35
18	226.30	171.6	134.6	2.22	2.35
19	226.34	171.9	133.5	2.23	2.35
20	226.38	173.2	133.2	2.23	2.35

ตารางข้อมูลที่ 6 ผลการวัดแรงดันและกระแสของวงจรหลอดแสงจันทร์ที่  $35^{\circ}\text{C}$

เวลา (นาที)	แรงดัน (โวลต์)			กระแส (แอมป์ร์)	
	$V_{AC}$	$V_{AB}$	$V_{BC}$	$I_A$	$I_B$
1	230.30	212.4	66.3	3.67	3.34
2	230.25	174.0	131.5	2.31	2.30
3	230.43	173.9	132.2	2.32	2.31
4	230.60	173.8	132.6	2.31	2.31
5	230.66	173.8	132.6	2.32	2.30
6	230.75	173.5	132.8	2.32	2.30
7	230.83	173.6	132.8	2.31	2.31
8	230.98	173.2	132.8	2.30	2.30
9	231.06	173.8	133.2	2.31	2.29
10	230.92	173.3	133.4	2.31	2.30
11	230.96	173.5	133.1	2.30	2.29
12	231.02	173.6	132.4	2.31	2.31
13	231.00	173.4	132.9	2.30	2.29
14	230.82	173.2	133.7	2.31	2.30
15	230.78	172.7	133.8	2.30	2.30
16	230.82	172.6	134.0	2.30	2.29
17	230.84	172.6	133.6	2.29	2.27
18	230.72	172.3	134.5	2.29	2.28
19	230.82	172.5	133.8	2.29	2.29
20	230.72	172.9	133.8	2.29	2.28

ตารางข้อมูลที่ 7 ผลการวัดแรงดันของวงจรหลอดคemeทั่วโลกขาไอล์ต

เวลา (นาที)	แรงดัน (โวลต์)					
	V <sub>AH</sub>	V <sub>BD</sub>	V <sub>CD</sub>	V <sub>DE</sub>	V <sub>DG</sub>	V <sub>EF</sub>
1	238.2	235.0	201.7	3.3	101.1	97.2
2	238.2	234.7	189.8	3.1	110.2	106.5
3	238.2	235.1	189.6	3.1	111.5	107.8
4	238.1	234.9	188.7	3.1	111.9	108.2
5	238.2	234.8	188.6	3.1	112.3	108.6
6	238.4	235.0	188.8	3.1	112.3	108.7
7	238.2	234.7	188.8	3.0	112.2	108.8
8	238.2	234.8	188.8	3.0	112.3	108.9
9	238.4	235.0	189.1	3.0	112.5	109.0
10	238.1	235.0	188.9	3.0	112.5	109.0
11	238.2	235.2	189.1	3.0	112.5	109.1
12	238.2	235.4	189.0	3.0	112.4	109.0
13	238.2	235.5	189.4	3.0	112.5	109.1
14	238.1	235.5	189.1	3.0	112.5	109.2
15	238.2	235.5	189.2	3.0	112.6	109.2
16	238.1	235.4	189.2	2.9	112.5	109.2
17	238.2	235.4	189.5	2.9	112.6	109.3
18	238.2	235.4	189.5	2.8	112.6	109.2
19	238.2	235.4	189.6	2.9	112.8	109.3
20	238.2	235.4	189.6	2.9	112.8	109.3

ตารางข้อมูลที่ 8 ผลการวัดกระแสของวงจรหลอดคณทัลชาไกค์

เวลา (นาที)	กระแส (แอมป์ร์)				
	I <sub>A</sub>	I <sub>B</sub>	I <sub>C</sub>	I <sub>D</sub>	I <sub>E</sub>
1	2.17	1.50	4.02	4.01	3.86
2	1.92	1.50	3.93	3.91	3.85
3	1.89	1.50	3.87	3.88	3.83
4	1.86	1.50	3.88	3.87	3.81
5	1.86	1.50	3.87	3.86	3.80
6	1.85	1.51	3.87	3.86	3.80
7	1.86	1.51	3.87	3.86	3.80
8	1.86	1.51	3.88	3.86	3.80
9	1.85	1.50	3.88	3.86	3.81
10	1.86	1.50	3.88	3.85	3.81
11	1.87	1.50	3.89	3.85	3.82
12	1.86	1.50	3.89	3.85	3.82
13	1.86	1.50	3.87	3.85	3.81
14	1.87	1.50	3.88	3.84	3.81
15	1.87	1.50	3.87	3.84	3.81
16	1.87	1.51	3.88	3.83	3.81
17	1.86	1.50	3.88	3.84	3.82
18	1.86	1.50	3.87	3.83	3.81
19	1.86	1.51	3.87	3.83	3.81
20	1.86	1.50	3.87	3.83	3.81

ตารางข้อมูลที่ 9 ผลการวัดแรงดันของวงจรหลอดคเมทัลไฮไดค์ที่อุณหภูมิ 15°C

เวลา (นาที)	แรงดัน (โวลต์)					
	V <sub>AH</sub>	V <sub>BD</sub>	V <sub>CD</sub>	V <sub>DE</sub>	V <sub>DG</sub>	V <sub>EF</sub>
1	236.3	234.42	204.42	1.95	82.86	86.96
2	236.3	234.51	195.76	1.85	101.25	99.83
3	236.4	234.58	192.86	1.81	104.08	102.55
4	236.4	234.62	192.51	1.79	106.07	103.92
5	236.3	234.65	192.82	1.79	106.58	104.56
6	236.3	234.84	192.20	1.78	106.72	104.71
7	236.2	235.05	191.87	1.77	106.72	104.87
8	236.3	234.22	192.07	1.76	106.65	104.97
9	236.4	234.46	192.24	1.76	106.65	105.00
10	236.4	234.54	191.94	1.76	106.68	105.03
11	236.4	234.69	191.95	1.75	106.77	105.08
12	236.4	234.85	191.70	1.75	106.75	105.10
13	236.4	235.21	191.57	1.74	106.81	105.15
14	236.4	235.33	191.41	1.74	106.88	105.16
15	236.4	235.56	191.17	1.73	106.90	105.18
16	236.6	235.71	190.71	1.73	106.95	105.20
17	236.7	235.85	190.30	1.72	106.96	105.17
18	236.7	235.73	190.17	1.72	106.93	105.08
19	236.7	235.65	189.55	1.72	107.16	105.07
20	236.6	235.54	189.45	1.71	107.18	105.13

ตารางข้อมูลที่ 10 ผลการวัดกระแสของวงจรหลอดเคมทัลชายน้ำที่อุณหภูมิ 15°C

เวลา (นาที)	กระแส (แอมป์ร์)				
	I <sub>A</sub>	I <sub>B</sub>	I <sub>C</sub>	I <sub>D</sub>	I <sub>E</sub>
1	2.21	1.48	3.43	3.4	3.53
2	2.02	1.48	3.23	3.24	3.22
3	1.99	1.49	3.19	3.22	3.17
4	1.98	1.47	3.17	3.18	3.14
5	1.96	1.48	3.16	3.17	3.13
6	1.97	1.48	3.16	3.18	3.12
7	1.97	1.47	3.17	3.16	3.12
8	1.98	1.48	3.17	3.15	3.12
9	1.98	1.48	3.17	3.14	3.12
10	1.98	1.48	3.18	3.15	3.12
11	1.99	1.47	3.18	3.16	3.12
12	1.98	1.47	3.18	3.16	3.12
13	1.98	1.48	3.18	3.16	3.12
14	1.97	1.46	3.18	3.15	3.12
15	1.97	1.48	3.19	3.16	3.13
16	1.97	1.48	3.19	3.16	3.13
17	1.96	1.48	3.18	3.16	3.12
18	1.97	1.48	3.18	3.16	3.12
19	1.96	1.48	3.18	3.16	3.12
20	1.96	1.48	3.18	3.16	3.13

ตารางข้อมูลที่ 11 ผลการวัดแรงดันของวงจรหลอดคเมทัลชาลกไดค์ที่อุณหภูมิ 20°C

เวลา (นาที)	แรงดัน (โวลต์)					
	V <sub>AH</sub>	V <sub>BD</sub>	V <sub>CD</sub>	V <sub>DE</sub>	V <sub>DG</sub>	V <sub>EF</sub>
1	224.7	223.3	204.65	1.80	85.47	82.23
2	225.1	223.3	190.86	1.72	102.37	98.50
3	225.2	223.3	187.21	1.69	105.46	102.93
4	225.1	223.5	186.52	1.67	106.41	103.83
5	225.1	223.3	186.20	1.66	106.71	104.09
6	225.2	223.3	185.83	1.64	106.84	104.72
7	225.1	223.4	185.93	1.61	106.87	104.47
8	225.0	223.3	185.61	1.61	106.91	104.93
9	225.1	223.2	186.33	1.60	106.91	104.98
10	225.1	223.2	186.24	1.59	106.98	105.17
11	225.0	223.8	186.22	1.58	107.08	105.16
12	225.0	223.7	186.46	1.57	107.04	104.86
13	224.9	223.7	186.40	1.57	107.34	104.88
14	225.0	223.7	186.41	1.57	107.10	105.10
15	225.0	223.6	186.34	1.57	107.15	105.16
16	225.0	223.5	186.33	1.57	107.18	105.12
17	225.0	223.5	186.25	1.57	107.13	105.13
18	225.1	223.5	186.55	1.56	107.14	105.07
19	225.0	223.5	186.40	1.56	107.16	105.07
20	225.0	223.5	186.24	1.56	107.20	105.10

ตารางข้อมูลที่ 12 ผลการวัดกระแสของวงจรหลอดเคมีตั้งห้ามที่อุณหภูมิ 20°C

เวลา (นาที)	กระแส (แอมป์ร์)				
	I <sub>A</sub>	I <sub>B</sub>	I <sub>C</sub>	I <sub>D</sub>	I <sub>E</sub>
1	2.04	1.49	3.42	3.54	3.52
2	1.89	1.48	3.02	3.22	3.18
3	1.86	1.48	2.95	3.20	3.16
4	1.84	1.49	2.93	3.18	3.15
5	1.84	1.48	2.92	3.19	3.15
6	1.83	1.48	2.92	3.18	3.15
7	1.84	1.50	2.92	3.19	3.16
8	1.83	1.48	2.91	3.18	3.16
9	1.84	1.49	2.92	3.18	3.15
10	1.84	1.48	2.92	3.19	3.16
11	1.83	1.48	2.92	3.20	3.17
12	1.82	1.49	2.92	3.19	3.16
13	1.84	1.48	2.92	3.18	3.16
14	1.82	1.48	2.92	3.18	3.16
15	1.82	1.48	2.93	3.19	3.16
16	1.83	1.48	2.93	3.19	3.16
17	1.82	1.49	2.94	3.18	3.16
18	1.81	1.48	2.94	3.18	3.16
19	1.82	1.48	2.94	3.19	3.16
20	1.81	1.48	2.93	3.19	3.16

ตารางข้อมูลที่ 13 ผลการวัดแรงดันของวงจรหลอดเคม์ทัลชาไอล์ดที่อุณหภูมิ 25°C

เวลา (นาที)	แรงดัน (โวลต์)					
	V <sub>AH</sub>	V <sub>BD</sub>	V <sub>CD</sub>	V <sub>DE</sub>	V <sub>DG</sub>	V <sub>EF</sub>
1	227.11	226.1	204.69	1.82	88.54	85.67
2	227.91	226.2	193.95	1.61	100.15	101.33
3	227.88	226.2	191.96	1.58	103.24	102.36
4	227.35	226.3	191.64	1.57	104.77	103.43
5	227.32	226.4	191.40	1.56	105.08	103.77
6	227.24	226.4	191.30	1.55	105.22	103.86
7	228.30	226.5	190.87	1.55	105.37	104.02
8	228.34	226.4	189.95	1.56	105.47	104.09
9	228.22	226.2	189.19	1.58	105.43	104.13
10	228.05	226.5	190.22	1.57	105.44	104.11
11	228.07	226.7	189.64	1.57	105.49	104.01
12	228.05	226.4	189.86	1.56	105.63	104.02
13	228.04	226.2	190.23	1.57	105.68	103.93
14	228.06	226.3	189.95	1.56	105.70	103.77
15	228.04	226.3	190.57	1.57	105.80	103.74
16	227.95	226.3	190.18	1.57	105.8	103.74
17	227.89	226.4	190.42	1.58	105.79	103.76
18	227.93	226.6	190.52	1.58	105.90	103.75
19	227.90	226.3	190.28	1.58	105.91	103.76
20	227.87	226.1	190.26	1.57	105.92	103.76

ตารางข้อมูลที่ 14 ผลการวัดกระแสของวงจรหลอดคเมทัลฮาลิด์ที่อุณหภูมิ  $25^{\circ}\text{C}$

เวลา (นาที)	กระแส (แอมป์ร์)				
	$I_A$	$I_B$	$I_C$	$I_D$	$I_E$
1	2.23	1.48	3.57	3.42	3.41
2	1.90	1.48	3.24	3.17	3.16
3	1.88	1.50	3.18	3.12	3.11
4	1.87	1.48	3.18	3.11	3.10
5	1.86	1.49	3.18	3.11	3.09
6	1.86	1.48	3.14	3.10	3.08
7	1.88	1.49	3.16	3.11	3.08
8	1.87	1.48	3.15	3.08	3.10
9	1.86	1.49	3.16	3.06	3.10
10	1.86	1.49	3.14	3.08	3.09
11	1.88	1.49	3.14	3.07	3.10
12	1.87	1.49	3.15	3.07	3.10
13	1.87	1.49	3.16	3.08	3.11
14	1.87	1.50	3.14	3.07	3.11
15	1.86	1.48	3.16	3.08	3.12
16	1.86	1.49	3.14	3.08	3.11
17	1.86	1.50	3.16	3.08	3.12
18	1.86	1.49	3.15	3.09	3.13
19	1.86	1.50	3.17	3.08	3.14
20	1.86	1.50	3.17	3.08	3.14

ตารางข้อมูลที่ 15 ผลการวัดแรงดันของชาร์จหลอดเมทัลไฮดีซีฟที่อุณหภูมิ 30°C

เวลา (นาที)	แรงดัน (โวลต์)					
	V <sub>AH</sub>	V <sub>BD</sub>	V <sub>CD</sub>	V <sub>DE</sub>	V <sub>DG</sub>	V <sub>EF</sub>
1	234.2	232.8	204.37	1.68	84.48	78.40
2	234.2	232.8	193.20	1.58	101.85	96.24
3	234.2	232.7	190.79	1.55	105.30	101.08
4	234.3	232.6	190.50	1.54	106.64	102.11
5	234.2	232.7	190.28	1.52	106.91	103.14
6	234.2	232.8	190.36	1.51	107.18	103.62
7	234.2	232.7	190.11	1.51	107.20	103.77
8	234.1	232.8	190.24	1.50	107.27	103.95
9	234.2	232.6	190.31	1.50	107.35	103.98
10	234.2	232.5	190.47	1.49	107.42	104.10
11	234.1	232.6	190.92	1.48	107.51	104.07
12	234.1	232.7	190.54	1.47	107.65	104.12
13	234.0	232.7	190.85	1.47	107.63	104.07
14	234.0	232.7	190.82	1.46	107.62	104.01
15	234.0	232.6	191.21	1.46	107.74	104.02
16	234.1	232.6	190.77	1.45	107.76	104.00
17	234.2	232.5	190.55	1.44	107.77	104.33
18	234.2	232.6	190.30	1.44	107.93	104.34
19	234.1	232.6	191.24	1.44	107.96	104.31
20	234.0	232.7	191.41	1.43	108.03	104.28

ตารางข้อมูลที่ 16 ผลการวัดกระแสของช่องระหว่างหลอดเคม์ทั้งหมดที่อุณหภูมิ 30°C

เวลา (นาที)	กระแส (แอมป์ร์)				
	I <sub>A</sub>	I <sub>B</sub>	I <sub>C</sub>	I <sub>D</sub>	I <sub>E</sub>
1	2.15	1.50	3.38	3.47	3.45
2	1.93	1.48	3.07	3.23	3.21
3	1.90	1.48	3.01	3.18	3.15
4	1.88	1.49	3.00	3.17	3.14
5	1.86	1.48	2.99	3.18	3.14
6	1.88	1.48	2.98	3.18	3.14
7	1.87	1.48	2.98	3.18	3.13
8	1.88	1.49	2.98	3.18	3.14
9	1.87	1.48	2.98	3.18	3.14
10	1.88	1.48	2.98	3.18	3.14
11	1.86	1.49	2.98	3.20	3.14
12	1.87	1.49	2.99	3.18	3.14
13	1.87	1.48	2.98	3.18	3.14
14	1.88	1.49	2.98	3.19	3.14
15	1.87	1.48	2.98	3.19	3.14
16	1.87	1.48	2.98	3.18	3.14
17	1.87	1.48	2.98	3.18	3.14
18	1.87	1.48	2.99	3.18	3.14
19	1.88	1.48	2.99	3.18	3.15
20	1.87	1.48	2.99	3.19	3.15

ตารางข้อมูลที่ 17 ผลการวัดแรงดันของวงจรหลอดคเมทลิกา ไอล์ท อุณหภูมิ 35°C

เวลา (นาที)	แรงดัน (โวลต์)					
	V <sub>AH</sub>	V <sub>BD</sub>	V <sub>CD</sub>	V <sub>DE</sub>	V <sub>DG</sub>	V <sub>EF</sub>
1	236.6	235.83	202.81	1.63	91.2	82.63
2	236.7	235.69	194.13	1.54	103.72	101.36
3	236.7	235.61	191.56	1.50	106.32	104.27
4	236.7	235.58	190.85	1.49	107.14	104.61
5	236.7	235.69	190.80	1.48	107.52	104.44
6	236.7	235.77	190.50	1.46	107.68	104.83
7	236.7	235.72	190.24	1.45	107.79	104.74
8	236.7	235.65	190.48	1.45	107.89	104.47
9	236.7	235.73	190.53	1.44	107.86	104.33
10	236.7	235.85	190.30	1.43	107.91	104.26
11	236.9	235.61	190.49	1.42	107.76	104.14
12	236.9	235.36	190.40	1.41	107.78	104.22
13	236.8	235.12	190.62	1.41	107.83	104.25
14	236.7	235.34	189.90	1.39	107.93	104.32
15	236.7	235.56	189.92	1.38	107.90	104.44
16	236.7	235.77	190.10	1.37	107.94	104.43
17	235.3	234.93	189.95	1.37	107.86	104.45
18	234.1	234.74	190.14	1.36	107.51	104.46
19	233.9	234.72	189.90	1.36	107.45	104.45
20	233.7	234.78	190.00	1.35	107.38	104.45

ตารางข้อมูลที่ 18 ผลการวัดกระแสของวงจรหลอดเคมีต์ที่อุณหภูมิ 35°C

เวลา (นาที)	กระแส (แอมป์ร์)				
	I <sub>A</sub>	I <sub>B</sub>	I <sub>C</sub>	I <sub>D</sub>	I <sub>E</sub>
1	2.21	1.48	3.47	3.49	3.48
2	1.92	1.49	3.14	3.29	3.25
3	1.90	1.48	3.04	3.25	3.21
4	1.92	1.50	3.04	3.23	3.20
5	1.88	1.48	3.04	3.23	3.19
6	1.89	1.48	3.04	3.24	3.19
7	1.91	1.48	3.03	3.24	3.20
8	1.89	1.50	3.04	3.23	3.20
9	1.89	1.49	3.05	3.23	3.19
10	1.88	1.48	2.99	3.23	3.19
11	1.87	1.48	2.98	3.21	3.18
12	1.87	1.49	2.98	3.21	3.18
13	1.86	1.48	2.99	3.21	3.18
14	1.86	1.48	2.99	3.20	3.17
15	1.85	1.49	2.99	3.20	3.17
16	1.86	1.48	2.99	3.20	3.17
17	1.85	1.48	2.99	3.16	3.14
18	1.84	1.50	2.98	3.15	3.11
19	1.84	1.48	3.00	3.13	3.10
20	1.86	1.49	3.00	3.14	3.10

**ตารางข้อมูลที่ 19 ผลการวัดแรงดันของหัวหลอดเชือกเดิมความดันสูง**

เวลา (นาที)	แรงดัน (โวตต์)					
	V <sub>AH</sub>	V <sub>BD</sub>	V <sub>CD</sub>	V <sub>DE</sub>	V <sub>DG</sub>	V <sub>EF</sub>
1	237.20	235.3	221.2	1.72	53.22	50.36
2	237.24	235.2	183.5	1.31	133.57	128.29
3	237.33	235.8	170.2	1.22	150.74	148.67
4	237.26	235.6	166.8	1.20	153.25	150.72
5	237.37	235.8	165.1	1.20	155.61	153.71
6	237.33	236.1	164.2	1.21	158.46	155.08
7	237.24	235.8	162.9	1.20	159.15	155.9
8	237.32	235.8	162.5	1.20	159.19	156.62
9	237.27	236	162.6	1.20	159.26	156.92
10	237.29	235.9	162.0	1.20	159.32	157.25
11	237.32	236.1	162.0	1.20	159.57	157.44
12	237.24	236	161.8	1.20	159.84	158.61
13	237.35	235.8	161.5	1.20	159.91	157.71
14	237.33	236.1	161.7	1.20	159.94	158.02
15	237.33	236.3	161.7	1.20	160.03	158.09
16	237.24	236.30	161.50	1.19	159.96	158.11
17	237.35	236.20	161.30	1.19	159.83	158.15
18	237.56	236.40	161.30	1.18	160.01	158.23
19	237.14	236.40	161.20	1.19	159.74	158.31
20	237.63	236.30	161.10	1.19	159.43	159.35

ตารางข้อมูลที่ 20 ผลการวัดกระแสของวงจรหลอดไฟเดี่ยมความคันสูง

เวลา (นาที)	กระแส (แอมป์ร์)				
	I <sub>A</sub>	I <sub>B</sub>	I <sub>C</sub>	I <sub>D</sub>	I <sub>E</sub>
1	2.87	1.47	4.26	4.21	4.25
2	1.78	1.47	2.85	2.78	2.74
3	1.51	1.47	2.47	2.49	2.46
4	1.45	1.47	2.39	2.42	2.38
5	1.43	1.47	2.35	2.37	2.35
6	1.41	1.47	2.31	2.34	2.31
7	1.39	1.47	2.29	2.31	2.29
8	1.38	1.46	2.28	2.29	2.28
9	1.38	1.46	2.27	2.28	2.27
10	1.37	1.46	2.26	2.27	2.26
11	1.38	1.46	2.25	2.26	2.26
12	1.36	1.46	2.25	2.25	2.26
13	1.37	1.46	2.25	2.25	2.25
14	1.36	1.46	2.24	2.24	2.25
15	1.36	1.47	2.24	2.24	2.25
16	1.36	1.46	2.24	2.24	2.24
17	1.36	1.45	2.24	2.24	2.24
18	1.36	1.46	2.23	2.23	2.24
19	1.35	1.46	2.23	2.23	2.23
20	1.35	1.47	2.23	2.23	2.23

ตารางข้อมูลที่ 21 ผลการวัดแรงดันของวงจรหลอดโซเดียมความคันสูงที่อุณหภูมิ 15°C

เวลา (นาที)	แรงดัน (โวลต์)					
	V <sub>AH</sub>	V <sub>BD</sub>	V <sub>CD</sub>	V <sub>DE</sub>	V <sub>DG</sub>	V <sub>EF</sub>
1	236.3	235.42	204.42	1.95	82.86	86.96
2	236.3	235.51	195.76	1.85	101.25	99.83
3	236.4	235.58	192.86	1.81	104.08	102.55
4	236.4	235.62	192.51	1.79	106.07	103.92
5	236.3	235.65	192.82	1.79	106.58	104.56
6	236.3	235.84	192.20	1.78	106.72	104.71
7	236.2	235.05	191.87	1.77	106.72	104.87
8	236.3	235.22	192.07	1.76	106.65	104.97
9	236.4	235.46	192.24	1.76	106.65	105.00
10	236.4	235.54	191.94	1.76	106.68	105.03
11	236.4	235.69	191.95	1.75	106.77	105.08
12	236.4	235.85	191.70	1.75	106.75	105.10
13	236.4	236.21	191.57	1.74	106.81	105.15
14	236.4	235.33	191.41	1.74	106.88	105.16
15	236.4	235.56	191.17	1.73	106.90	105.18
16	236.6	235.71	190.71	1.73	106.95	105.20
17	236.7	235.85	190.30	1.72	106.96	105.17
18	236.7	235.73	190.17	1.72	106.93	105.08
19	236.7	235.65	189.55	1.72	107.16	105.07
20	236.6	235.54	189.45	1.71	107.18	105.13

ตารางข้อมูลที่ 22 ผลการวัดกระแสของวงจรหลอด โถเดี่ยวนความคันสูงที่อุณหภูมิ 15°C

เวลา (นาที)	กระแส (แอมป์ร์)				
	I <sub>A</sub>	I <sub>B</sub>	I <sub>C</sub>	I <sub>D</sub>	I <sub>E</sub>
1	2.21	1.48	3.43	3.4	3.53
2	2.02	1.48	3.23	3.24	3.22
3	1.99	1.49	3.19	3.22	3.17
4	1.98	1.47	3.17	3.18	3.14
5	1.96	1.48	3.16	3.17	3.13
6	1.97	1.48	3.16	3.18	3.12
7	1.97	1.47	3.17	3.16	3.12
8	1.98	1.48	3.17	3.15	3.12
9	1.98	1.48	3.17	3.14	3.12
10	1.98	1.48	3.18	3.15	3.12
11	1.99	1.47	3.18	3.16	3.12
12	1.98	1.47	3.18	3.16	3.12
13	1.98	1.48	3.18	3.16	3.12
14	1.97	1.46	3.18	3.15	3.12
15	1.97	1.48	3.19	3.16	3.13
16	1.97	1.48	3.19	3.16	3.13
17	1.96	1.48	3.18	3.16	3.12
18	1.97	1.48	3.18	3.16	3.12
19	1.96	1.48	3.18	3.16	3.12
20	1.96	1.48	3.18	3.16	3.13

ตารางข้อมูลที่ 23 ผลการวัดแรงดันของจรวจหลอดไฟเดิมความดันสูงที่อุณหภูมิ 20°C

เวลา (นาที)	แรงดัน (โวลต์)					
	V <sub>AH</sub>	V <sub>BD</sub>	V <sub>CD</sub>	V <sub>DE</sub>	V <sub>DG</sub>	V <sub>EF</sub>
1	237.03	236.7	221.42	2.23	46.87	44.42
2	237.10	236.5	181.27	1.45	122.90	107.69
3	237.15	236.5	169.39	1.36	146.36	135.08
4	237.16	236.6	168.57	1.35	150.25	140.48
5	237.11	236.6	166.75	1.34	152.10	142.36
6	237.06	236.6	165.94	1.33	152.80	143.76
7	237.13	236.6	165.36	1.33	154.42	144.83
8	237.20	236.5	165.00	1.33	154.10	145.00
9	237.15	236.5	164.50	1.33	155.32	145.44
10	237.04	236.5	164.45	1.32	155.45	145.28
11	237.07	236.6	164.56	1.32	156.18	145.36
12	237.15	236.8	164.80	1.32	156.16	146.77
13	237.13	236.8	164.34	1.32	156.64	146.81
14	237.09	236.7	164.36	1.32	156.48	146.69
15	237.10	236.6	164.53	1.32	156.13	146.74
16	237.16	236.8	164.46	1.32	156.25	146.64
17	237.13	236.6	164.66	1.32	156.60	146.30
18	237.07	236.7	164.44	1.32	155.98	146.38
19	237.22	236.7	164.57	1.32	155.95	146.46
20	237.02	236.7	164.25	1.32	155.67	146.61

ตารางข้อมูลที่ 24 พลการวัดกระแสของชาร์หลอดไฟเดิมความดันสูงที่อุณหภูมิ 20°C

เวลา (นาที)	กระแส (แอมป์ร์)				
	I <sub>A</sub>	I <sub>B</sub>	I <sub>C</sub>	I <sub>D</sub>	I <sub>E</sub>
1	2.56	1.48	3.92	4.13	4.11
2	1.77	1.48	2.94	2.79	2.81
3	1.52	1.48	2.47	2.45	2.43
4	1.50	1.49	2.43	2.37	2.35
5	1.48	1.48	2.41	2.36	2.34
6	1.46	1.48	2.38	2.36	2.35
7	1.45	1.48	2.36	2.31	2.30
8	1.44	1.50	2.36	2.29	2.28
9	1.46	1.48	2.35	2.30	2.29
10	1.47	1.48	2.35	2.33	2.32
11	1.48	1.48	2.35	2.29	2.28
12	1.45	1.49	2.33	2.30	2.29
13	1.44	1.48	2.33	2.29	2.29
14	1.45	1.49	2.33	2.30	2.29
15	1.45	1.48	2.33	2.31	2.29
16	1.44	1.48	2.33	2.30	2.30
17	1.44	1.48	2.34	2.30	2.29
18	1.45	1.49	2.34	2.31	2.30
19	1.46	1.48	2.34	2.30	2.30
20	1.46	1.49	2.34	2.30	2.30

ตารางข้อมูลที่ 25 ผลการวัดแรงดันของช่วงระหวอด โดยเดิมความดันสูงที่อุณหภูมิ 25°C

เวลา (นาที)	แรงดัน ( Psi )					
	V <sub>AH</sub>	V <sub>BD</sub>	V <sub>CD</sub>	V <sub>DE</sub>	V <sub>DG</sub>	V <sub>EF</sub>
1	237.10	236.8	222.54	2.2	48.67	39.71
2	237.16	236.7	181.46	1.44	122.38	100.70
3	237.04	236.8	170.82	1.35	146.85	132.96
4	237.16	237.0	169.44	1.33	150.41	139.08
5	237.12	236.8	167.35	1.31	152.03	141.21
6	237.07	236.6	166.41	1.30	153.55	142.78
7	237.13	236.7	165.23	1.28	154.36	143.15
8	237.16	237.0	164.21	1.28	155.26	143.80
9	237.22	236.9	164.00	1.27	155.34	143.42
10	237.04	236.7	163.82	1.26	155.78	143.39
11	237.06	236.8	163.32	1.25	155.98	144.03
12	237.15	236.6	163.12	1.25	156.00	144.47
13	237.09	237.0	162.88	1.24	156.36	144.68
14	237.11	236.7	163.92	1.24	155.91	144.64
15	237.10	236.8	163.89	1.23	156.22	144.07
16	237.08	236.6	163.71	1.23	156.35	144.23
17	237.03	236.8	163.82	1.22	156.30	143.94
18	237.10	237.0	163.81	1.22	156.42	144.02
19	237.08	236.8	163.68	1.21	156.76	143.42
20	237.07	236.7	163.86	1.21	156.53	143.30

ตารางข้อมูลที่ 26 ผลการวัดกระแสของวงจรหลอด ใช้เคิมนความคันสูงที่อุณหภูมิ  $25^{\circ}\text{C}$

เวลา (นาที)	กระแส (แอมป์ร์)				
	I <sub>A</sub>	I <sub>B</sub>	I <sub>C</sub>	I <sub>D</sub>	I <sub>E</sub>
1	2.65	1.46	4.22	4.25	4.25
2	1.85	1.48	2.98	2.91	2.95
3	1.60	1.48	2.55	2.52	2.54
4	1.56	1.49	2.48	2.46	2.48
5	1.54	1.48	2.44	2.42	2.47
6	1.53	1.46	2.41	2.39	2.40
7	1.50	1.48	2.41	2.38	2.40
8	1.50	1.49	2.38	2.38	2.38
9	1.50	1.48	2.39	2.36	2.38
10	1.50	1.48	2.39	2.37	2.38
11	1.49	1.49	2.37	2.36	2.36
12	1.48	1.48	2.36	2.35	2.35
13	1.48	1.49	2.37	2.35	2.35
14	1.47	1.50	2.36	2.34	2.37
15	1.48	1.47	2.37	2.33	2.36
16	1.47	1.49	2.36	2.35	2.36
17	1.46	1.50	2.37	2.34	2.37
18	1.47	1.48	2.37	2.34	2.34
19	1.46	1.48	2.36	2.34	2.35
20	1.47	1.48	2.36	2.34	2.36

**ตารางข้อมูลที่ 27 ผลการวัดแรงดันของชาร์หลอดโซเดียมความดันสูงที่อุณหภูมิ 30°C**

เวลา (นาที)	แรงดัน (โวลต์)					
	V <sub>AH</sub>	V <sub>BD</sub>	V <sub>CD</sub>	V <sub>DE</sub>	V <sub>DG</sub>	V <sub>EF</sub>
1	237.15	236.83	222.61	1.92	56.64	47.57
2	237.07	236.69	183.43	1.32	125.07	130.68
3	237.16	236.61	171.80	1.24	148.52	142.46
4	237.03	236.58	169.09	1.23	153.04	146.96
5	237.10	236.69	167.36	1.22	155.08	149.92
6	237.13	236.77	166.38	1.21	156.96	151.83
7	237.16	236.72	165.91	1.20	157.54	152.69
8	237.04	236.65	165.25	1.20	158.25	152.79
9	237.11	236.73	164.80	1.19	158.94	153.29
10	237.13	236.85	164.42	1.19	159.72	154.00
11	237.08	236.61	164.84	1.18	160.30	154.41
12	237.03	236.36	164.55	1.18	160.72	154.70
13	237.11	236.12	164.25	1.18	161.14	154.72
14	237.12	236.34	164.32	1.18	160.42	154.90
15	237.02	236.56	164.20	1.17	160.30	154.97
16	237.15	236.77	164.26	1.17	160.21	154.95
17	237.08	236.93	164.60	1.17	159.97	155.00
18	237.11	236.74	164.43	1.16	159.92	155.05
19	237.03	236.72	164.30	1.16	159.88	154.98
20	237.07	236.78	164.42	1.16	159.62	154.93

ตารางข้อมูลที่ 28 ผลการวัดกระแสของจรวจหลอด ใช้เดิมความคันสูงที่อุณหภูมิ 30°C

เวลา (นาที)	กระแส (แอมเปอร์)				
	I <sub>A</sub>	I <sub>B</sub>	I <sub>C</sub>	I <sub>D</sub>	I <sub>E</sub>
1	2.84	1.48	3.98	4.12	4.07
2	1.71	1.49	2.75	2.91	2.80
3	1.60	1.48	2.56	2.50	2.47
4	1.57	1.48	2.48	2.43	2.41
5	1.50	1.49	2.43	2.39	2.37
6	1.48	1.48	2.38	2.34	2.32
7	1.46	1.48	2.36	2.32	2.31
8	1.45	1.48	2.35	2.32	2.30
9	1.45	1.49	2.33	2.30	2.29
10	1.42	1.48	2.31	2.30	2.28
11	1.42	1.48	2.31	2.30	2.28
12	1.42	1.48	2.30	2.29	2.27
13	1.43	1.49	2.30	2.28	2.26
14	1.42	1.48	2.30	2.28	2.26
15	1.41	1.49	2.30	2.28	2.26
16	1.40	1.50	2.30	2.28	2.26
17	1.41	1.48	2.30	2.27	2.25
18	1.43	1.48	2.99	2.28	2.26
19	1.42	1.49	2.98	2.28	2.25
20	1.42	1.48	2.99	2.27	2.25

ตารางข้อมูลที่ 29 ผลการวัดแรงดันของชาร์หลอดโดยเดินความดันสูงที่อุณหภูมิ 35°C

เวลา (นาที)	แรงดัน (โวลต์)					
	V <sub>AH</sub>	V <sub>BD</sub>	V <sub>CD</sub>	V <sub>DE</sub>	V <sub>DG</sub>	V <sub>EF</sub>
1	237.03	235.8	221.42	1.53	49.79	45.75
2	237.09	235.8	183.81	1.29	122.58	110.90
3	237.11	235.7	171.96	1.22	147.52	139.84
4	237.08	235.6	169.70	1.21	151.38	142.36
5	237.03	235.8	167.08	1.19	153.30	146.91
6	237.06	235.6	165.96	1.19	154.58	147.85
7	237.17	235.7	165.40	1.18	155.86	148.72
8	237.03	235.5	164.36	1.17	156.5	149.94
9	237.11	235.5	164.15	1.17	157.25	150.27
10	237.10	235.6	163.48	1.16	157.70	150.86
11	237.13	235.6	163.28	1.16	158.26	151.21
12	237.06	235.7	163.31	1.16	158.52	150.96
13	237.07	235.7	163.19	1.15	158.51	151.32
14	237.04	235.7	162.72	1.15	158.70	152.20
15	237.15	235.6	162.78	1.15	158.82	152.43
16	237.11	235.6	162.93	1.14	158.84	152.23
17	237.15	235.5	162.90	1.14	158.92	152.33
18	237.15	235.5	162.69	1.14	159.00	152.40
19	237.10	235.5	162.83	1.14	159.06	152.36
20	237.11	235.6	163.12	1.13	159.24	152.27

ตารางข้อมูลที่ 30 ผลการวัดกระแสของชาร์หลอด โถเดี่ยมความคันสูงที่อุณหภูมิ 35°C

เวลา (นาที)	กระแส (แอมเปอร์)				
	I <sub>A</sub>	I <sub>B</sub>	I <sub>C</sub>	I <sub>D</sub>	I <sub>E</sub>
1	2.58	1.51	3.94	4.21	4.24
2	1.80	1.49	2.88	2.87	2.87
3	1.58	1.48	2.45	2.53	2.49
4	1.50	1.48	2.37	2.47	2.43
5	1.47	1.48	2.34	2.40	2.39
6	1.44	1.48	2.30	2.37	2.36
7	1.43	1.49	2.29	2.35	2.33
8	1.42	1.48	2.27	2.35	2.33
9	1.42	1.48	2.26	2.32	2.31
10	1.40	1.49	2.23	2.33	2.30
11	1.38	1.48	2.23	2.31	2.29
12	1.40	1.48	2.25	2.31	2.29
13	1.40	1.49	2.24	2.30	2.29
14	1.39	1.5	2.23	2.30	2.29
15	1.39	1.48	2.22	2.29	2.29
16	1.40	1.49	2.23	2.30	2.29
17	1.39	1.48	2.23	2.30	2.29
18	1.40	1.48	2.23	2.31	2.29
19	1.40	1.49	2.24	2.30	2.29
20	1.40	1.48	2.25	2.31	2.29

ตารางข้อมูลที่ 31 ผลการวัดความส่องสว่างของหลอดปล่อยประจุความเข้มสูง

เวลา (นาที)	ความส่องสว่าง (lux)		
	หลอดแสงจันทร์	หลอดเมทัลฮาโลเจน	หลอดโซเดียมความดันสูง
1	8,590	17,940	7,730
2	14,610	23,900	33,000
3	19,200	24,800	31,000
4	19,700	25,100	31,400
5	19,900	25,000	30,100
6	18,700	25,800	29,900
7	19,300	25,400	30,000
8	18,600	25,700	29,300
9	18,700	26,100	29,200
10	18,600	26,200	29,200
11	20,000	25,700	30,200
12	20,000	25,400	29,800
13	20,200	24,900	29,300
14	19,500	25,000	28,900
15	19,800	25,500	30,000
16	19,400	25,300	29,200
17	19,700	25,000	30,000
18	19,800	25,200	28,900
19	19,900	25,200	29,700
20	19,400	25,500	29,000